



สหภาพเพื่อการพัฒนาและสืบทอดมรดกโลก

นาย สาระ อนุรักษ์พันธุ์

นาง อรุณรัตน์ ก้อนแข็งค์

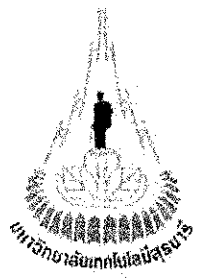
รายงานนี้เป็นตัวบ่งชี้ที่ทางศึกษาดูงานด้านภาษาไทยและภาษาอังกฤษของมหาวิทยาลัยฯ ที่ได้รับการสนับสนุนจากสำนักวิชาการและวิชาชีพ

รายงานนี้เป็นตัวบ่งชี้ที่ทางศึกษาดูงานด้านภาษาไทยและภาษาอังกฤษของมหาวิทยาลัยฯ ที่ได้รับการสนับสนุนจากสำนักวิชาการและวิชาชีพ

มหาวิทยาลัยฯ ในประเทศไทย

ปีการศึกษา ๒๕๔๗

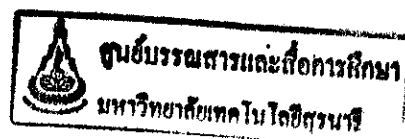
CONTRIBUTION



ชุดแสดงผลคำแนะนำไฟในการเข้าออกสถานี

นาย สาร อมรศุภรัตน์
นาย ธรรมรัตน์ กลั่นเบตกิจ

รายงานนี้เป็นส่วนหนึ่งของการศึกษาตามหลักสูตรปริญญาวิศวกรรมศาสตร์บัณฑิต
สาขาวิชาช่างสำรวจ สาขาวิชาช่างสำรวจ สำนักวิชาช่างสำรวจ
มหาวิทยาลัยเทคโนโลยีสุรนารี
ปีการศึกษา 2547



โครงงาน	ชุดแสดงผลตัวแหน่งรถไฟในการเข้าออกสถานี
ผู้ดำเนินงาน	1. สาร อมรศุภรัตน์ 2. ธรรมรัตน์ กลั่นเขตกิจ
อาจารย์ที่ปรึกษา	ผศ.ดร.วังสรรค์ วงศ์สรรค์
สาขาวิชา	วิศวกรรมโทรคมนาคม
ภาคการศึกษา	2/2547

บทคัดย่อ

ชุดแสดงผลตำแหน่งรถไฟในการเข้าออกสถานี ประกอบไปด้วยส่วนที่สำคัญ 2 ส่วนคือ ชุดตรวจวัดตำแหน่ง และบอร์ดแสดงผล ในการใช้งานชุดแสดงผลที่มีเครื่องรับสัญญาณ GPS เป็นตัวตรวจวัดตำแหน่ง โดยมีในโทรศัพท์เคลื่อนที่ซึ่งข้อมูลพิกัดภูมิศาสตร์ จากเครื่องรับสัญญาณ GPS มาแสดงผลที่จอ LCD และคงค่าของตำแหน่งเป็นลักษณะติดและถอดหัวใจซึ่งเราสามารถนำชุดตรวจวัดตำแหน่งนี้ไปติดตั้งไว้บนรถไฟได้ทันที แต่บอร์ดแสดงผลนั้นเราจะต้องนำชุดตรวจวัดตำแหน่งมาตรวจสอบตำแหน่งของสถานีก่อน แล้วจึงทำการโปรแกรมตำแหน่งของสถานีลงไปในในโทรศัพท์เคลื่อนที่ก่อนจึงจะสามารถนำไปใช้งานได้ หลักการทำงานของมันก็คือชุดตรวจวัดตำแหน่งจะทำการตรวจวัดตำแหน่งของรถไฟแล้วทำการมองคูเลตสัญญาณข้อมูลตำแหน่ง และหมายเลขอุบวนรถไฟผ่านคลื่นวิทยุ ไปให้กับสถานีซึ่งมีตัวในโทรศัพท์เคลื่อนที่ประมวลผลข้อมูล พิกัดภูมิศาสตร์ที่ได้รับมาว่าจุดที่รถไฟส่งสัญญาณกับสถานีนั้นอยู่ห่างกันเป็นระยะเท่าไหร่ แล้วทำการแสดงตำแหน่งที่อยู่ห่างกันบนบอร์ดแสดงผลต่อไป

กิตติกรรมประกาศ

โครงการนี้จะไม่สามารถสำเร็จลุล่วงไปได้ด้วยศักดิ์ภาพกว่าของบุคคลหลายท่านที่ได้ให้ความช่วยเหลืออย่างดีเสมอมาทั้งในด้านวิชาการ และด้านการดำเนินงาน

บุคคลเหล่านี้ประกอบไปด้วย

- พศ.ดร.รังสรรค์ วงศ์สรรค์ อารย์ที่ปรึกษาโครงการผู้เปิดโอกาสให้ผู้จัดทำได้เรียนรู้การทำโครงการนี้ และยังคงอยู่และยังไกส์ชิค ให้ความช่วยเหลือ ให้คำปรึกษา รวมทั้งข้อเสนอแนะที่เป็นประโยชน์
- อ.ดร.ชาญชัย ทองไสภา ซึ่งเป็นผู้ที่เคยสนับสนุน และให้คำปรึกษาในการทำโครงการ
- พศ.ดร. ฐานะ เถ็กอุทัย เป็นผู้ที่ให้คำปรึกษาทางด้านภูมิศาสตร์
- อ.วิชัย ศรีสุรักษ์, อ.สมิง เติมพรหมราช, อ.อำนวย ทีจันทิก ซึ่งเป็นผู้ที่ให้ความช่วยเหลือ และให้คำปรึกษาในการทำโครงการ
- บุคลากรสาขาวิชาศึกกรรมโภคภานุค สนับสนุนการดำเนินงาน
- พ.ๆ ศูนย์เครื่องมือวิทยาศาสตร์ ให้ความช่วยเหลืออุปกรณ์และเครื่องมือต่างๆ
- พนักงานชาววิชากรรมโภคภานุค ซึ่งให้กำลังใจเสมอมา

สุดท้ายนี้ผู้จัดทำขอกราบขอบพระคุณบิชา และมารดาของผู้จัดทำ ที่อบรมเลี้ยงดู ให้โอกาสทางการศึกษา และเคยสนับสนุนด้วยศักดิ์ศรัทธาออย่างหาที่เบรียบมิได้

ศาสตราจารย์ อมรศุภรัตน์
ธรรมรัตน์ กลั่นเขตกิจ

สารบัญ

เรื่อง หน้า

บทที่ 1 บทนำ

1. 1 กล่าวนำ	1
1.2 วัตถุประสงค์ของโครงการ	1
1.3 ขอบเขตของโครงการ	2
1.4 ขั้นตอนการดำเนินงาน	2
1.5. ผลที่คาดว่าจะได้รับ	3

บทที่ 2 ภูมิศาสตร์เบื้องต้น

2.1 รูปทรงสัณฐานของโลก	4
2.2 ความรู้พื้นฐานเกี่ยวกับภูมิศาสตร์โลก	5
2.3 การแบ่งเดือนละติจูด (Latitude) และเดือนลองติจูด (Longitude)	7
2.4 การคำนวณพิกัดขีออดีติระหว่างจุดสองจุด	8

บทที่ 3 ระบบหาพิกัดบนพื้นโลก GPS (Global Positioning System)

3.1 GPS คืออะไร	10
3.2 ส่วนประกอบของเครื่องรับสัญญาณดาวเทียม GPS	10
3.3 การทำงานของ GPS	12
3.4 คลื่นสัญญาณจากดาวเทียม GPS	13
3.5 การอ่านค่าข้อมูลจาก GPS โดยอัตโนมัติ	14
3.6 การใช้ GPS ในระบบนำทางสำหรับยานพาหนะต่างๆ	18

บทที่ 4 ไมโครคอนโทรลเลอร์ (microcontroller)

4.1 อะไรมีโครคอนโทรลเลอร์	20
4.2 โครงสร้างและสถาปัตยกรรมของไมโครคอนโทรลเลอร์ MCS-51 แบบแฟลช	21
4.3 คุณสมบัติของไมโครคอนโทรลเลอร์ระดับ MCS-51 อนุกรม AT89xx	21
4.4 การจัดขาดของไมโครคอนโทรลเลอร์ระดับ MCS-51	22
4.5 การใช้งานเป็นพ่อร์ตอินพุต	24

4.6 การใช้งานเป็นพ่อร์ตเอาท์พุต	25
4.7 การอ่านค่าล็อกจากพอร์ต	25

บทที่ 5 การออกแบบโครงงาน

5.1 การออกแบบทาง Hardware	26
5.2 การออกแบบทาง Software	28

บทที่ 6 การทดสอบความแม่นยำของชุดแสดงผลตำแหน่งรถใน การเข้าออกสถานี

6.1 การทดสอบการรับสัญญาณของ GPS	35
6.2 การจำลองการทำงาน (Simulation)	36
6.3 การเก็บข้อมูลหาค่าความแม่นยำ	36
6.4 วิธีการหาค่าความผิดพลาด	37
6.5 การประมาณผลหาค่าความแม่นยำ	38
6.6 วิเคราะห์ผลการทดสอบ	43

บทที่ 7 บทสรุป

7.1 ข้อสรุปงานที่สามารถพัฒนาขึ้นจากโครงงาน	45
7.2 ปัญหา วิธีแก้ไข และข้อเสนอแนะ	45

สารบัญภาพ

เรื่อง	หน้า
รูปที่ 2.1 ภาพตัดขวางแสดงพื้นผิวภูมิประเทศ เอลลิปโซイด์ และ ขีออยด์ ของรูปโลก	5
รูปที่ 2.2 แสดงลักษณะการเอียงของแกนโลก	6
รูปที่ 2.3 แสดงเส้นศูนย์สูตร เส้นบนาน เส้นเมริเดียน และเส้นเมริเดียนเริ่มแรก	6
รูปที่ 2.4 แสดงระบบพิกัดภูมิศาสตร์	7
รูปที่ 2.5.1 การแบ่งเส้นลองกิจูด	8
รูปที่ 2.5.2 การแบ่งเส้นละติจูด	8
รูปที่ 2.6 ค่ากึ่งแกนโลกและระยะห่างระหว่างชุดสองชุด	8
รูปที่ 3.1 แสดงส่วนประกอบของระบบดาวเทียม GPS	10
รูปที่ 3.2 ตัวเครื่องแบบสำเร็จรูป	11
รูปที่ 3.3 ลักษณะ GPS ในคุณ	11
รูปที่ 3.4 สายอากาศของเครื่อง GPS	11
รูปที่ 3.5 GPS Satellite Signals	14
รูปที่ 3.6 ระบบ GPS NAVIGATION	18
รูปที่ 3.7 รถไฟ	19
รูปที่ 4.1 โครงสร้างพื้นฐานของในโครงการนิทรรศการ	20
รูปที่ 4.2 การจัดข้อมาตรฐานของในโครงการนิทรรศการ MCS-51	24
รูปที่ 5.1 Block Diagram ของชุดตรวจวัดตำแหน่ง	26
รูปที่ 5.2 Block Diagram ของบอร์ดแสดงผล	27
รูปที่ 5.3 Flow Chart การทำงานของชุดตรวจวัดตำแหน่ง	28
รูปที่ 5.4 Flow Chart ของ Subroutine ส่งข้อมูล	29
รูปที่ 5.5 Flow Chart ของ subroutine แสดงผลที่ LCD	30
รูปที่ 5.6 Flow Chart ของการทำงานของบอร์ดแสดงผลส่วนรับข้อมูล	31
รูปที่ 5.7 Flow Chart ของการทำงานของบอร์ดแสดงผลส่วนประมวลผล	32
รูปที่ 5.8 Flow Chart ของการทำงานของบอร์ดแสดงผลส่วนรับข้อมูล	33
รูปที่ 5.9 Flow Chart ของ subroutine InitialMax7219	34
รูปที่ 6.1 ลักษณะข้อมูลเมื่อเครื่องรับสัญญาณ GPS รับสัญญาณได้	35
รูปที่ 6.2 ลักษณะข้อมูลเมื่อเครื่องรับสัญญาณ GPS รับสัญญาณไม่ได้	36

รูปที่ 6.3 วิธีการหาค่าความผิดพลาด	37
รูปที่ 6.4 กราฟเปรียบเทียบค่าจริงกับค่าที่วัดได้	39
รูปที่ 6.4 กราฟเปรียบเทียบค่าจริงกับค่าที่วัดได้ ณ. ตำแหน่งหลอดไฟสถานี	40
รูปที่ 6.5 กราฟเปรียบเทียบค่าจริงกับค่าที่วัดได้ ณ. ตำแหน่งหลอดไฟดวงที่ 1	40
รูปที่ 6.6 กราฟเปรียบเทียบค่าจริงกับค่าที่วัดได้ ณ. ตำแหน่งหลอดไฟดวงที่ 2	41
รูปที่ 6.7 กราฟเปรียบเทียบค่าจริงกับค่าที่วัดได้ ณ. ตำแหน่งหลอดไฟดวงที่ 3	41
รูปที่ 6.8 กราฟเปรียบเทียบค่าจริงกับค่าที่วัดได้ ณ. ตำแหน่งหลอดไฟดวงที่ 4	42
รูปที่ 6.9 กราฟเปรียบเทียบค่าจริงกับค่าที่วัดได้ ณ. ตำแหน่งหลอดไฟดวงที่ 5	42
รูปที่ 6.10 กราฟแสดงความสัมพันธ์ระหว่างค่าความผิดพลาดกับระบบทาง	43

สารบัญตาราง

เรื่อง	หน้า
ตารางที่ 2.1 ค่าคงที่ทรงกลมโลกล (Spheroid distance)	9
ตารางที่ 6.1 ตารางผลการทดลองการทดสอบความแม่นยำของชุดแสดงผลตำแหน่ง รถไฟในการเข้าออกสถานี	38

บทที่ 1

บทนำ

1.1 กล่าวนำ

ปัจจุบันนี้การเดินทางโดยสารด้วยรถไฟเป็นทางเลือกหนึ่งของประชาชน ในประเทศไทยมีประชาชนโดยสารรถไฟเป็นจำนวนมาก ประชาชนที่ต้องโดยสารรถไฟเหล่านี้มีความต้องการที่จะทราบว่ารถไฟขบวนที่ตัวเองต้องการที่จะโดยสารไปนั้นไปถัดจากสถานที่เดิมหรือซึ้ง เพราะว่าประชาชนเหล่านี้จะได้จัดการวางแผนกับตัวเอง ได้อย่างดีขึ้น เช่น รับประทานอาหาร, เข้าสุขา หรือทำการกิจส่วนตัวต่างๆ

ดังนั้น โครงการนี้จึงได้ทำการศึกษาเกี่ยวกับการประมาณผลข้อมูล การออกแบบชุดแสดงผล ซึ่งประกอบด้วย GPS (Global Positioning system), เครื่องรับส่งสัญญาณ, ไมโครคอนโทรลเลอร์ (Microcontroller) การติดตั้งอุปกรณ์ต่างๆบนรถไฟเพื่อหาตำแหน่งของมันคือ GPS module ซึ่งในปัจจุบันนี้มีการใช้ประโยชน์จาก GPS มาตรฐานเรื่อยๆเราจึงควรศึกษาเพื่อที่จะได้นำมาประยุกต์ใช้งานให้เกิดประโยชน์ได้แบบสูงสุด เพื่อเป็นต้นแบบการพัฒนาไปสู่ระบบอัตโนมัติที่จะสนับรับข้อมูลไฟในการเข้าออกภายในสถานี การพัฒนาระบบอัตโนมัติควบคุมไม้กั้นถนนกับรถไฟโดยไม่ต้องพึ่งพาบุญย์ซึ่งบางครั้งอาจมีความแพ้อเลอได้

1.2 วัตถุประสงค์ของโครงการ

1.2.1 ศึกษาหลักการทำงานของ GPS

1.2.2 ศึกษาการโปรแกรมควบคุมและการประยุกต์ใช้งานในไมโครคอนโทรลเลอร์ (Microcontroller)

1.2.3 ศึกษาถึงการทำงานของจริงอิเล็กทรอนิกส์ในการรับและภาคส่งสัญญาณ

1.2.4 ศึกษาถึงการสื่อสารข้อมูล และการประมาณผลข้อมูล

1.2.5 ศึกษาหาความรู้เพิ่มเติม ได้ด้วยตัวเองอย่างมีประสิทธิภาพ

1.2.6 สามารถนำความรู้ที่ได้จากการศึกษาจากภาคทฤษฎีของวิชาต่างๆ ที่ได้ศึกษามาปฏิบัติและประยุกต์ใช้เพื่อสร้างชิ้นงานขึ้นมาและสามารถนำไปใช้กับงานจริงได้

1.3 ขอบเขตของโครงการ

โครงการนี้สามารถแสดงผลได้ในระดับที่ความสามารถของเครื่องรับ-ส่งสัญญาณเพียงพอ และชุดแสดงผลนี้จะสามารถแสดงผลได้เป็นช่วงที่กำหนดไว้ในบอร์ดแสดงผลเท่านั้น

1.3.1 ลักษณะงานตามขอบเขตของโครงงาน

- ติดตั้งอุปกรณ์ GPS (Global Position System)
 - ติดตั้งจอแสดงผล LCD เชื่อมต่อกับ GPS module
 - ควบคุมการแสดงผลด้วยไมโครคอนโทรลเลอร์ (Microcontroller)
 - ติดตั้งบอร์ดแสดงผลซึ่งส่วนหนึ่งแสดงผลจะนำมาจากหลอดไฟไดโอดเปล่งแสง (LED) ที่สถานีรถไฟ
 - ติดตั้งเครื่องรับส่งสัญญาณที่รถไฟและสถานี

1.3.2 การเลือกใช้ซอฟต์แวร์

การเลือกใช้ซอฟท์แวร์ก็เป็นข้อจำกัดอย่างหนึ่งของ โครงการ ซึ่งถ้าหากเราสามารถใช้ซอฟท์แวร์ที่มีประสิทธิภาพสูงก็จะทำให้เราสามารถพัฒนางานดี แต่ซอฟท์แวร์ที่มีคุณภาพสูงนั้นก็มีจำนวนราคาก็สูงตามไปด้วย ภาษาแอสเซมบลี เหมาะสมที่จะนำไปใช้กับชุดตรวจวัดตำแหน่ง เนื่องจากภาษาแอสเซมบลี เป็นภาษาระดับต่ำที่มีความใกล้เคียงกับภาษาเครื่องซึ่งมีความไวในการทำงานมากและมี ความแน่นอนทางด้านเวลา คอมไฟเลอร์ที่ใช้ใน โครงการคือ SXA51 เป็นฟรีแวร์ ภาษาซี เหมาะสมนำไปใช้กับบอร์ด แสดงผลเนื่องจากภาษา C มีฟังก์ชันคอมพิวเตอร์ที่หลากหลายทำให้มีความสะดวกในการเขียนโปรแกรม ที่เป็นสูตรคำนวณทางคณิตศาสตร์ เช่นสูตรของการแปลงพิกัดภูมิศาสตร์ของ GPS ไปเป็นพิกัดพิกัดภูมิศาสตร์ทั่วไป คอมไฟเลอร์ที่ใช้ใน โครงการคือ RC-51 เป็นฟรีแวร์

1.4 ขั้นตอนการดำเนินงาน

- 1.4.1 ศึกษาตัวร้าและคืนหน้าข้อมูล
 - 1.4.2 ปรึกษายาจารย์ที่ปรึกษาโครงการเพื่อวางแผนและจัดทำโครงการ
 - 1.4.3 นำเสนอโครงการเพื่อพิจารณาอนุมัติ
 - 1.4.4 ทำชุดแสดงผล LCD
 - 1.4.5 ศึกษาการใช้งานGPS
 - 1.4.6 จัดเตรียมวัสดุและอุปกรณ์ต่างๆ

- 1.4.7 ทดสอบกับเครื่องรับส่งสัญญาณ
- 1.4.8 ทำ Hardware ของเครื่องควบคุมการแสดงผล
- 1.4.9 โปรแกรมควบคุม Hardware โดยไมโครคอนโทรลเลอร์ (Microcontroller)
- 1.4.10 ทดสอบและแก้ไขการทำงาน
- 1.4.11 ขั้นตอนการทํางานของโครงการ
- 1.4.12 วิเคราะห์ผลการทดลอง
- 1.4.13 สรุปและประเมินผล

1.5 ผลที่คาดว่าจะได้รับ

- 1.5.1 ได้เรียนรู้หลักการทำงานของอุปกรณ์ตรวจจับตำแหน่ง (GPS module) และจอ LCD
- 1.5.2 ได้เรียนรู้การโปรแกรมควบคุมและการประยุกต์ใช้งานในไมโครคอนโทรลเลอร์ (Microcontroller)
- 1.5.3 ได้เรียนรู้การทำงานของวงจรอิเล็กทรอนิกส์ในการรับและส่งสัญญาณ
- 1.5.4 ได้เรียนรู้การสื่อสารข้อมูล และการประมวลผลข้อมูล
- 1.5.5 ได้เรียนรู้การทำงานเป็นทีม

บทที่ 2

ภูมิศาสตร์เบื้องต้น

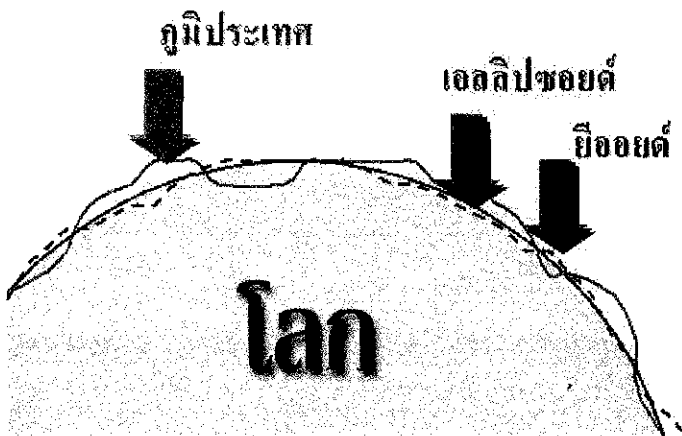
2.1 รูปทรงสัณฐานของโลก[14]

โลก (Earth) โลกของเรานี้รูปร่างลักษณะเป็นรูปทรงรี (Oblate Ellipsoid) คือมีลักษณะป่องตรงกลาง ขึ้นเหนือ-ใต้ แบบเล็กน้อย แต่พื้นผิวโลกที่แท้จริงมีลักษณะชุขระ สูง ต่ำ ไม่ราบเรียบ สมม่าเสมอ พื้นผิวโลกจะมีพื้นที่ประมาณ 509,450,00 ตารางกิโลเมตร มีเส้นผ่าศูนย์กลางที่ศูนย์สูตรยาว 12,757 กิโลเมตร มีเส้นผ่าศูนย์กลางจากข้อโลกเหนือถึงข้อโลกใต้ 12,714 กิโลเมตร จะเห็นว่าระยะทางระหว่างแนวอน (เส้นศูนย์สูตร) ยาวกว่าแนวดัง (ข้อโลกเหนือ - ใต้) จากลักษณะดังกล่าวนี้ ทำให้ไม่สามารถใช้รูปทรงเรขาคณิตอย่างง่ายแสดงขนาด และรูปร่างของโลกได้อย่างถูกต้อง ดังนั้นเพื่อความสะดวกของการพิจารณา_rูปทรงสัณฐานของโลก และในกิจการของแผนที่ จึงมีการใช้รูปทรงสัณฐานของโลกอยู่ 3 แบบ คือทรงกลม(Spheroid), ทรงรี(Ellipsoid) และขีดถูก(Geoid)

ทรงกลม หรือ ลิเพียรอนด์ เป็นรูปทรงที่ง่ายที่สุดซึ่งหมายเป็นสัณฐานของโลกโดยประมาณ ใช้กับแผนที่มาตรฐานส่วนเล็กที่มีขอบเขตกว้างขวาง เช่น แผนที่โลก แผนที่ทวีป หรือ แผนที่อินๆที่ไม่ต้องการความละเอียดถูกต้องสูง

ทรงรี หรือ อิลลิปโซイด์ โดยทั่วไป คือ รูปที่แตกต่างกับรูปทรงกลมเพียงเล็กน้อย ซึ่งจะมีลักษณะใกล้เคียงกับสัณฐานจริง โลกมากจึงเหมาะสมสำหรับใช้เป็นพื้นผิวการรังวัดและการแผนที่ที่ต้องการความละเอียดถูกต้องสูง เช่น แผนที่ระดับชุมชนเมือง แผนที่ภูมิประเทศมาตรฐานส่วนใหญ่ทั่วไป แผนที่นำร่องเป็นต้น

ขีดถูก เป็นรูปทรงที่เหมือนกับสัณฐานจริงของโลกมากที่สุดเกิดจากการสมมุติระดับน้ำในมหาสมุทรและทรงตัวอยู่นิ่ง เครื่องไข่ไก่ให้หล่อไปถึงกันทั่วโลก จะเกิดเป็นพื้นผิวซึ่งไม่ราบเรียบตลอด มีบางส่วนที่ยุบต่ำลง บางส่วนสูงขึ้นซึ่งอยู่กับความหนาแน่นและแรงโน้มถ่วงของโลก ทุก ๆ แนวตั้ง (Plumb Line) จะตั้งฉากกับขีดถูก ขีดถูกมีบทบาทสำคัญในงานรังวัดชั้นสูง (Geodesy) แต่กลับไม่มีบทบาทโดยตรงกับวิชาการแผนที่นักภารกิจใช้ในการคำนวณแผนที่ประกอบกับรูปทรงรี



รูปที่ 2.1 ภาพตัดขวางแสดงพื้นผิวภูมิป่าเทศา เอลลิปโซイด์ และ ยีออยด์ ของรูปโลก

2.2 ความรู้พื้นฐานเกี่ยวกับภูมิศาสตร์โลก[14]

ลักษณะรูปทรงสัณฐานของโลกมีลักษณะกลมแบบ Spheroid แต่ในทางปฏิบัติเราถือว่าโลกมีลักษณะทรงกลมทางเรขาคณิต ดังนั้นระบบพิกัดภูมิศาสตร์ของโลกจึงมีล่วงประกอบต่อไปนี้

2.2.1 เส้นวงกลมใหญ่ (Great Circle) คือ เส้นรอบวงที่เราลากผ่านไปรอบผิวโลกโดยผ่านที่ศูนย์กลางวงกลม และวบรรจบมาเป็นวงกลม เรียกว่า "วงกลมใหญ่" ตัวอย่าง เช่น เส้นศูนย์สูตร เส้นเมริเดียน ที่อยู่ตรงข้ามกัน เส้นแบ่งเขตเม็ด-สว่าง

2.2.2 เส้นวงกลมเล็ก (Small Circle) คือ เส้นรอบวงที่เราลากผ่านไปรอบผิวโลกโดยไม่ผ่านที่ศูนย์กลางวงกลม และวบรรจบมาเป็นวงกลม ตัวอย่าง เช่น เส้นขนาน

2.2.3 เส้นศูนย์สูตร (Equator) คือ เส้นที่ลากผ่านศูนย์กลางวงกลมในแนวตะวันออกและตะวันตก โดยจุดเริ่มต้นของเส้นที่ 0 องศาทางตะวันออก ซึ่งเป็นวงกลมใหญ่ทั้งหนึ่งเช่นกัน

2.2.4 เส้นเมริเดียน (Meridians) คือ เส้นที่ลากผ่านศูนย์กลางวงกลมในแนวเหนือและใต้ โดยลากเชื่อมระหว่างจุดข้ามโลกเหนือ และข้ามโลกใต้

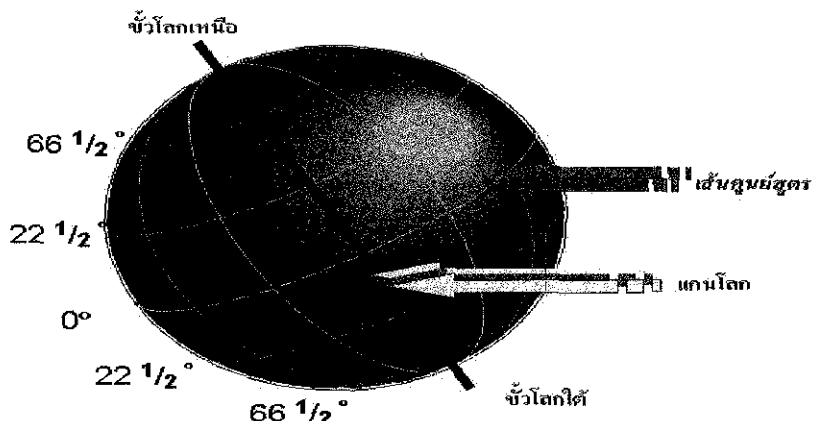
2.2.5 เส้นเมริเดียน ปฐม (Prime Meridian) คือ เส้นเมริเดียนที่ลากผ่านหอดูดาวที่ตำบลกรีนิช (Greenwich) ประเทศอังกฤษ ใช้เป็นเส้นหลักในการกำหนดค่าลองติจูด ซึ่งถูกกำหนดให้มีล่องกิจุดเป็นศูนย์ สำหรับตามข้อตกลงนานาชาติ ค.ศ. 1884 จะเรียกว่า เส้นเมริเดียนกรีนิช(Greenwich meridian) ก็ได้

2.2.6 เส้นขนาน (Parallels) คือ เส้นที่ลากขนานกับเส้นศูนย์สูตร หรือ วงกลมเล็ก

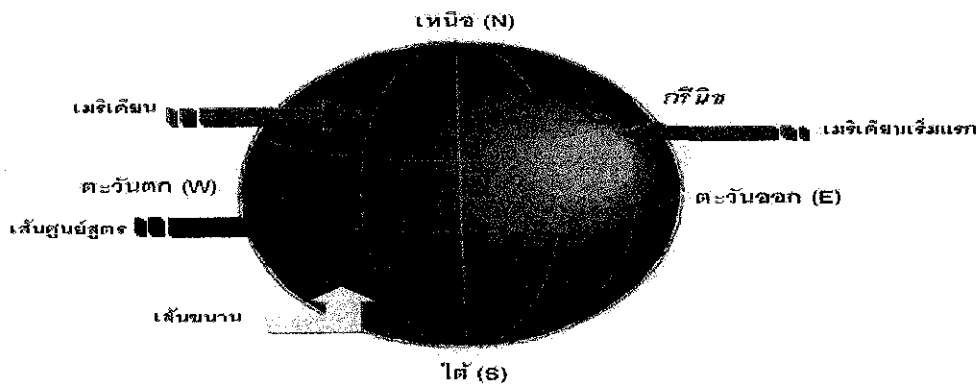
2.2.7 ละติจูด (Latitude) หรือ เส้นรุ้ง คือ ระยะทางเชิงมุมที่วัดไปทางเหนือและใต้ของเส้นศูนย์สูตร นับจาก 0 องศาไปทางเหนือและทางใต้ 90 องศา

2.2.8 ลองกิจูด (Longitude) หรือ เส้นแบ่ง คือ ระยะทางเชิงมุมที่วัดจากเมริเดียนป้อมซึ่งถือที่ 0 องศา ตามลักษณะเป็นหลัก วัดไปทางตะวันออก 180 องศาตะวันออก และทางตะวันตก 180 องศาตะวันตก

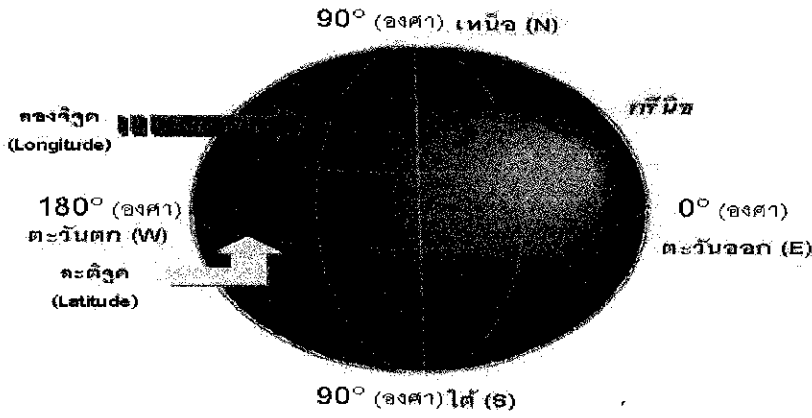
2.2.9 อะซิมุท (Azimuth) เป็นวิธีการที่คิดขึ้นมาเพื่อใช้ในการบอกทิศทาง คือวัดขนาดของมุมทางราบที่วัดจากแนวทิศเหนือหลักเวียนตามเข็มนาฬิกาวนบรรจบกับแนวเส้นทางที่ต้องการ มุมทิศอะซิมุทนี้จะมีค่าตั้งแต่ 0 - 360 องศา และเมื่อวัดมุมจากเส้นฐานทิศเหนือหลักชนิดใด ก็จะเรียกตามทิศเหนือหลักนั้น เช่น อะซิมุทธิง, อะซิมุทธริด, อะซิมุทธแม่เหล็ก



รูปที่ 2.2 แสดงลักษณะการเอียงของแกนโลก



รูปที่ 2.3 แสดงเส้นศูนย์สูตร เส้นข้านาน เส้นเมริเดียน และเส้นเมริเดียนเริ่มแรก



รูปที่ 2.4 แสดงระบบพิกัดภูมิศาสตร์

2.3 การแบ่งเส้นละติจูด (Latitude) และเส้นลองกิจูด (Longitude) [3]

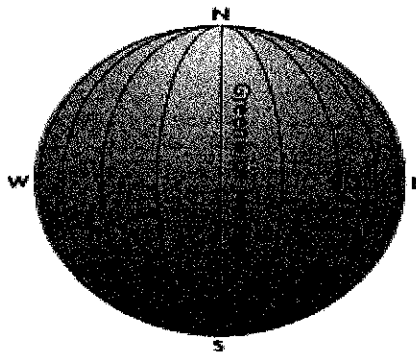
การแบ่งเส้นละติจูดกับเส้นลองกิจูดนี้แบ่งได้ดังนี้

2.3.1 เส้นลองกิจูดที่ลากจากขั้วโลกเหนือผ่านเมืองกรีนิช(Greenwich) ประเทศอังกฤษ มาตามพื้นผิวพิภพไปยังขั้วโลกใต้ ทางสถาลอดถือว่าเป็นเส้นสมมติศูนย์กำเนิด (เส้น 0)

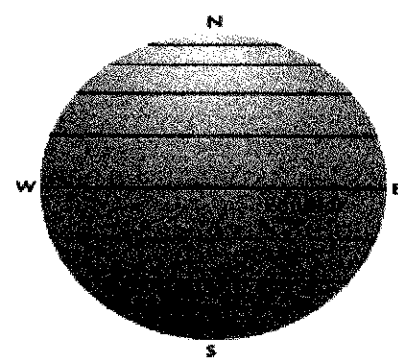
2.3.2 เส้นลองกิจูดจะถูกแบ่งไปทางทิศตะวันออก 180 เส้นและแบ่งไปทางทิศตะวันตก 180 เส้น เส้น 0 จะเริ่มจากเมืองกรีนิช(Greenwich) ประเทศอังกฤษ ห่างกันเส้นละ 1° เส้น 180° ตะวันออก กับเส้น 180° ตะวันตก คือเส้นเดียวกัน ดังรูปที่ 2.5.1

2.3.3 แบ่งเส้นละติจูดโดยการนับออกจากเส้นศูนย์สูตร (Equator) ซึ่งเป็นเส้นสมมติแบ่งกึ่งกลางโลกตามขวางไปทางเหนือ 90° เส้น และทางใต้ 90° เส้น ห่างกันเส้นละ 1° เรียกว่า เส้นละติจูดเหนือและเส้นละติจูดใต้ ดังรูปที่ 2.5.2

จุดพิกัดภูมิศาสตร์ยังบอกระยะเวลาที่แตกต่างกันของตำบลต่างๆ โดยอาศัยการคำนวณจากเส้นลองกิจูดที่ต่างกันตามพิกัดภูมิศาสตร์ดังนี้



รูปที่ 2.5.1 การแบ่งเส้นลองกิจ

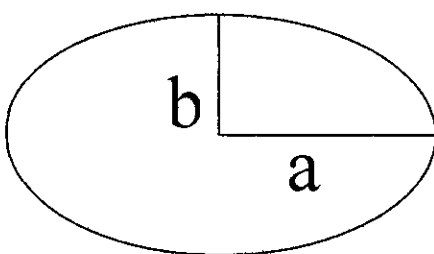


รูปที่ 2.5.2 การแบ่งเส้นละติจุด

2.4 การคำนวณพิกัดยื่ออเดติคระหว่างจุดสองจุด [9]

การคำนวณค่าพิกัดของผลต่าง ของการสามเหลี่ยมหรือวงรอบ ในที่นี้จะเป็นการคำนวณพิกัดยื่ออเดติค (Geodetic Coordinate) หรือพิกัดภูมิศาสตร์ (Geodetic Coordinate) บางทีเรียกว่า Spheroid Coordinate การคำนวณพิกัดนี้ ถ้าเป็นการสามเหลี่ยม นูนของสามเหลี่ยมจะต้องเป็น Spherical angle และระยะจะเป็นระยะยื่ออเดติคหรือระยะผิวนทรรจี (Spheroidal Distance) ซึ่งยังคงโดยใช้ระดับน้ำทะเล ปานกลางแทน แต่ในทางปฏิบัติ การคำนวณระยะจะเป็น Plane Distance ซึ่งจะต้องคำนวณตามวิธีการซึ่งจะได้ค่าถูกต้อง

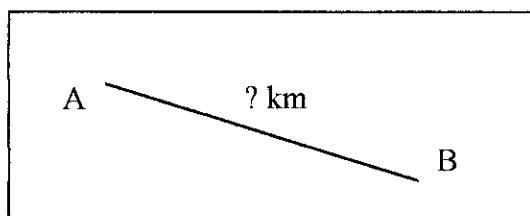
เมื่อเราทราบค่าพิกัดภูมิศาสตร์ของจุดสองจุด แล้วเมื่อเราต้องการจะทราบว่าจุดสองจุดนี้มีระยะทางห่างกันเท่าไหร่ โดยที่ระยะทางที่ห่างกันนั้นมีค่าไม่เกิน 12 กิโลเมตร เราสามารถใช้สูตรของ Gauss Mid Latitude Formula for short line ได้ดัง



a = กึ่งแกนสั้นของโลก

b = กึ่งแกนยาวของโลก

e = First eccentricity



รูปที่ 2.6 ค่ากึ่งแกนโลกและระยะห่างระหว่างจุดสองจุด

$$\begin{aligned}
 \phi_1 &= \text{ละติจูดของจุด A} \\
 \phi_2 &= \text{ละติจูดของจุด B} \\
 \lambda_1 &= \text{ลองกิจูดของจุด A} \\
 \lambda_2 &= \text{ลองกิจูดของจุด B} \\
 \\
 \Delta\phi &= |\phi_2 - \phi_1| \\
 \Delta\lambda &= |\lambda_2 - \lambda_1| \\
 \phi_m &= (\phi_1 + \phi_2) / 2 \\
 M_m &= \frac{a(1-e^2)}{(1-e^2 \sin^2 \phi_m)^{3/2}} \\
 N_m &= \frac{a}{(1-e^2 \sin^2 \phi_m)^{1/2}} \\
 \tan(z) &= \frac{N_m * \Delta\lambda * \cos \phi_m}{M_m * \Delta\phi} \\
 S_1 &= \frac{M_m * \Delta\phi^\circ}{\cos(z)} \\
 S_2 &= \frac{N_m * \Delta\lambda^\circ}{\sec(\phi_m) * \sin(z)} \\
 S &= (S_1+S_2)/2
 \end{aligned}$$

ค่าคงที่ทรงกลมโลก(Spheroid distance)

ค่าคงที่	Everest Spheroid (ใช้ในประเทศไทย)	WGS84 (GRS1980) Spheroid (international)
$a = \text{กึ่งแกนยาวของโลก}$	6377276.345 เมตร	6378137 เมตร
$b = \text{กึ่งแกนสั้นของโลก}$	6356075.413 เมตร	6356752.3 เมตร
$e^2 = (a^2 - b^2) / a^2$	0.006637846630	0.006694384442

ตารางที่ 2.1 ค่าคงที่ทรงกลมโลก(Spheroid distance)

บทที่ 3

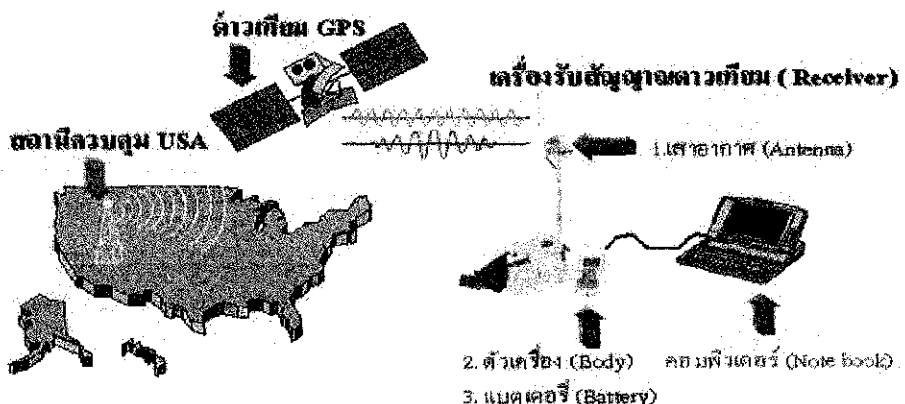
ระบบหาพิกัดบนพื้นโลก GPS (Global Positioning System)

3.1 GPS คืออะไร [20]

GPS ย่อมาจาก "Global Positioning System" คือระบบที่ระบุตำแหน่งทุกแห่งบนโลก จากกลุ่มดาวเทียม 24 ดวงที่โคจรอยู่รอบโลก ซึ่งถ้าเรามีอุปกรณ์รับข้อมูลติดตั้งอยู่ จะทำให้สามารถแสดงตำแหน่งนั้นอย่างแม่นยำ

3.2 ส่วนประกอบของเครื่องรับสัญญาณดาวเทียม GPS [21]

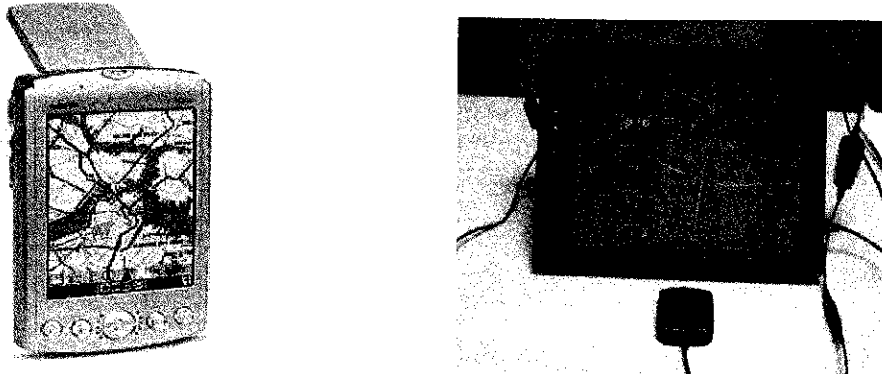
โดยทั่วไปเครื่องรับสัญญาณดาวเทียม (Receiver) ประกอบด้วย 3 ส่วนคือ



รูปที่ 3.1 แสดงส่วนประกอบของระบบดาวเทียม GPS

3.2.1 ตัวเครื่อง (Body) ลักษณะตัวเครื่องที่เราใช้งานมีอยู่ 2 ลักษณะ คือ

1) ตัวเครื่องแบบสำเร็จรูป เป็นลักษณะของเครื่องที่พร้อมใช้งานแล้ว คือจะมีขอแสดงผลในตัวเองเลย ค่าละเอียด ลดลงกิจุดที่ได้จะแสดงไว้บนภาพของมันเองเลย ซึ่งมีขายในห้องตลาดมาก น้ำหนักเบา ราคาถูก แต่ไม่มีโปรแกรมแสดงแผนที่ในตัวเองเลย ซึ่งยังทำให้การใช้งานมีความสะดวกมากยิ่งขึ้น



รูปที่ 3.2 ตัวเครื่องแบบสำเร็จรูป

2) GPS โมดูล เป็นลักษณะของ GPS ที่มีเฉพาะตัวโนมูลเท่านั้น ซึ่งมันเป็นส่วนที่ประมวลผลค่าตำแหน่งที่รับมาจากดาวเทียม GPS ซึ่งในการนำข้อมูลที่ได้รับการประมวลผลมาใช้นั้นจำเป็นที่จะต้องต่อส่วนประมวลผลให้มันด้วย ซึ่งอาจจะเป็นคอมพิวเตอร์ PC หรือ Notebook ซึ่งมีโปรแกรมแผนที่อยู่ค่าที่ได้จากโมดูลก็จะสามารถนำมาแสดงบนแผนที่ได้ เป็นGPSที่ใช้ในโครงการนี้



รูปที่ 3.3 ลักษณะ GPS โมดูล

3.2.2 ส่วนให้พลังงาน (Power Supply)

เป็นแบตเตอรี่แบบกระแสตรง

3.2.3 ส่วนสายอากาศ (Antenna)



รูปที่ 3.4 สายอากาศของเครื่อง GPS

3.3 การทำงานของ GPS [16], [21]

หลักการพื้นฐานของ GPS เป็นเรื่องง่าย ๆ แต่奥ุปกรณ์ของเครื่องมือถูกสร้างขึ้นด้วยวิทยาการขั้นสูง การทำงาน GPS คือ

3.3.1 การอ้างอิงหลักพื้นฐานของ GPS : Satellites Triangulation

หลักการ : ดาวเทียม GPS ทุกดวงมีรหัสประจำตัว ทำให้เครื่องรับสัญญาณ GPS รู้ว่ากำลังรับสัญญาณจากดวงไฟน เลขที่เห็นบน Satellite View คือเลขประจำตัวของดาวเทียมนั้นเอง ดาวเทียม Navstar GPS ที่ DoD (Department of Defense – กระทรวงกลาโหม米メリกัน) ปล่อยขึ้นไปนั้นมีทั้งหมดมีอย่างน้อย 24 ดวงที่กำลังใช้การอยู่ ในจำนวนนี้เป็นดาวเทียมสำรองสามดวง อย่าแปลกดใจที่เห็นเลขประจำดาวเทียมเกิน 24 หันนี้ เพราะดวงแรกนั้นถูกยิงขึ้นไปตั้งแต่ปี '78 และแต่ละดวงมีอายุการใช้งาน 10 ปี ดวงหลังที่มีเลขมากๆ เป็นดวงที่ปล่อยขึ้นไปชุดเดียวที่หมดอายุไปดาวเทียม GPS ไม่อยู่กันที่แต่ละดวงโดยรอบโลกวนนั่งรอบทุก 12 ชั่วโมง มีการกำหนดดวงโคงไว้ดาวเทียมทั้งสิบสี่ปีก คุณจะสามารถรู้ได้ว่าจะเป็นเวลาใด ณ ตำแหน่งใดตำแหน่งหนึ่งบนผืนโลก จะมีดาวเทียมอยู่หนึ่งอ ตัวของที่อยู่ห่างน้อยสี่ดวงอย่างสัญญาณนำทางแก่เครื่องรับ GPS โดยเราอาศัยตำแหน่งของดาวเทียมในอวกาศเป็นจุดอ้างอิง แล้ววัดระยะจากดาวเทียม 4 ดวง และใช้หลักการทำงานทางราชบัณฑิตในการคำนวณหาตำแหน่งบนพื้นโลก

เครื่องรับ GPS จะสามารถอกร่องรอยได้นั่นจึงเป็นต้องเห็นดาวเทียมอย่างน้อยสามดวง และจะสามารถอกร่องรอยสูงได้ที่ต่อเมื่อเห็นดวงที่สี่ โดยถ้ามีดาวเทียม 4 ดวงจะได้ข้อมูลใน 4 มิติคือ X,Y,Z,T ซึ่งจะทำให้แม่นยำมาก และถ้ายังเห็นดาวเทียมยะห์นีก็ยังทำให้สามารถอกร่องรอยได้แม่นยำขึ้น นอกจากนี้แล้วตำแหน่งของดาวเทียมที่รับได้ในขณะนั้นก็มีความสำคัญโดย ความแม่นยำจะมากขึ้นเมื่อเราได้รับสัญญาณจากดาวเทียมที่อยู่ในตำแหน่งกระจายไว้กันมากๆ – ไม่กระจายตัว ถ้าเครื่องรับ GPS มี Satellite View ดาวเทียมวงในที่เห็นจะเป็นดาวเทียมที่อยู่เหนือหัวเรานั่นบุนเดส 45 องศา วงนอกจะเป็นระดับหนึ่งของการมองฟ้าเล็กน้อย ดาวเทียมที่อยู่บริเวณวงในจะให้ความเข้มของสัญญาณมากที่สุด เพราะอยู่หนึ่งหัวเราะซึ่งมีระยะทางที่ใกล้กว่าและโอกาสที่จะโดนบังมีน้อย ด้านดาวเทียมที่เห็นอยู่บริเวณนอกจะอยู่ห่างไกลกว่า สัญญาณที่ได้รับจะมีความเข้มน้อยกว่า แต่ดาวเทียมบริเวณนอกนี้เหละที่ให้ความแม่นยำมากกว่าด้วยเหตุผลที่กล่าวมาแล้ว

3.3.2 การวัดระยะทางระหว่างเครื่องรับ GPS กับดาวเทียม GPS

โดยการวัดระยะเวลาที่คลื่นวิทยุใช้ในการเดินทางจาก ดาวเทียมสู่เครื่องรับใช้เวลาเดินทางของคลื่นวิทยุ

สูตร : ระยะทาง = ความเร็ว × เวลาที่ใช้เดินทาง

ค่าคงที่ : ความเร็ว = 186,000 ไมล์ต่อนาที

3.3.3 การวัดระยะเวลาที่คลื่นวิทยุใช้ในการเดินทางของ GPS

จะต้องใช้นาฬิกาที่แม่นยำมาก ถ้า PRN CODE จากดาวเทียมมีข้อมูลเวลาที่คลื่นเริ่มออกเดินทางจากดาวเทียมเมื่อคลื่นสัญญาณจากดาวเทียมและคลื่นสัญญาณจากเครื่องรับ GPS มี Synchronize และจะต้องใช้ Atomic Clock ใน การวัดเวลา ส่วนเวลาที่ใช้ในการเดินทางจะสั้นมากประมาณ 0.06 วินาที คือ เวลาของเครื่องรับ GPS × เวลาของดาวเทียม ส่วนการบอกตำแหน่ง GPS ยังเป็นเวลาที่มีความแน่นอนถึง 10 นาโนวินาทีหรือดีกว่า

3.4 คลื่นสัญญาณจากดาวเทียม GPS

3.4.1. คลื่นพาหะ (Carrier Code) มีอยู่ 2 ความถี่ คือ

- L1 Code ซึ่งมีความถี่ 1575.42 MHz
- L2 Code ซึ่งมีความถี่ 1227.6 MHz

3.4.2 Pseudo Random Noise Code ประกอบด้วย

- C/A Code (Coarse / Acquisition Code) ซึ่งมีความถี่ 1.023 MHz

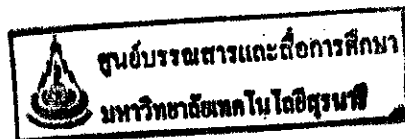
modulate กับคลื่นพาหะ L1 รูปแบบของคลื่น (Pattern ของ 0,1) มีการซ้ำๆ กัน 1023 bits รูปแบบของคลื่นจากดาวเทียมแต่ละดวงมีลักษณะเฉพาะตัว ไม่ซ้ำกัน ใช้ในกิจการของพลเรือน (Standard Positioning Service)

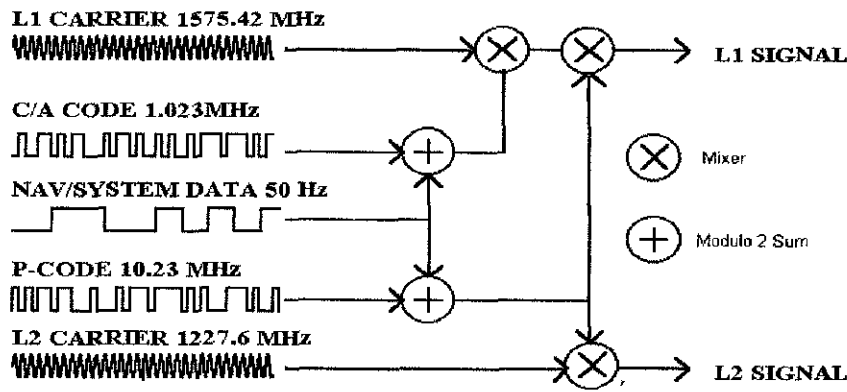
- P-Code (Precision Code) ซึ่งมีความถี่ 10.23 MHz

modulate กับคลื่นพาหะ L1 และ L2 มีการเข้ารหัส เป็น Y- code ใน Anti - Spoofing mode เครื่องรับจะต้องมีอุปกรณ์ในการถอดรหัส Y- code ซึ่งจะสามารถเข้ารหัสได้จะใช้ในกิจการทางทหาร (Precision Positioning Service : PPS) ผู้ที่จะใช้จะต้องได้รับการอนุญาตจากรัฐบาลสหรัฐฯ ก่อน

- Navigation Code ซึ่งมีความถี่ 50 Hz

modulate กับคลื่นพาหะ P-Code และ C/A Code มีข้อมูลวงโคจรของดาวเทียม (Ephemeris) การปรับแก่วремя (Clock Correction) และข้อมูลอื่นๆ ของระบบ





รูปที่ 3.5 GPS Satellite Signals

3.5 การอ่านค่าข้อมูลจาก GPS โนดูล [18], [19]

การอ่านค่าข้อมูลจากเครื่องรับสัญญาณจีพีเอส (GPS Module Receiver) ผ่านพอร์ตอนุกรม (Serial Port) เราจะใช้มาตรฐานของ NMEA (The National Marine Electronics Association) เป็นมาตรฐานในการอ่านข้อมูล ซึ่ง NMEA เป็นมาตรฐานที่ยอมรับในการส่งข้อมูล Marine electronic ไปยังเครื่องคอมพิวเตอร์หรืออุปกรณ์อื่นๆ ข้อมูลที่เครื่องรับสัญญาณจีพีเอสส่งมาจะประกอบด้วย PVT (position, velocity, time) ซึ่งข้อมูลที่ส่งมาจะมีลักษณะเป็นไลน์เรียกว่า Sentence มาตรฐานของแต่ละ Sentence จะขึ้นอยู่กับอุปกรณ์แต่ละรุ่นหรือบริษัทแต่จะมีลักษณะที่เป็นมาตรฐานของ NMEA และทุกๆ ประโยชน์ NMEA จะมีต้องมีอักษรขั้นต้น (Prefix) เป็นการกำหนดชนิดของประโยชน์ NMEA สำหรับเครื่องรับจีพีเอส จะมีอักษรขั้นต้นด้วย GP อื่นๆ คือ LC=Loran-C receiver, OM=Omega Navigation receiver, II=Integrated Instrumentation (eg. AutoHelm Seatalk system)

ข้อกำหนดของประโยชน์ NMEA โดยทั่วไปมีดังนี้

- ในแต่ละประโยชน์ NMEA จะต้องขึ้นต้นด้วยเครื่องหมาย \$ ก่อน prefix
- แต่ละประโยชน์ NMEA จะต้องมีความยาวไม่เกิน 80 อักขระ
- รายการของข้อมูลจะถูกแยกด้วยเครื่องหมายคอมมา(,)
- ข้อมูลจะมีลักษณะเป็นรหัส ascii
- ข้อมูลจะเปลี่ยนแปลงตามความเที่ยงตรงที่บรรจุอยู่ในข้อมูล
- มีการ checksum ที่ท้าย Sentence ซึ่งอาจจะเช็คหรือไม่เช็ค โดยหน่วยการอ่านข้อมูล
- การ checksum ประกอบด้วยเครื่องหมาย * และ อิก 2 ตัวเลขฐาน 16 (HEX) และการ exclusive OR ของ อักขระทั้งหมด

การเชื่อมต่อ hardware ของ GPS module จะเป็นแบบ serial communication โดยใช้ RS-232 เชื่อมต่อกับคอมพิวเตอร์ทั่วไป เราต้องการส่ายนำสัญญาณเพียง 2 เส้นคือ ส่งเส้นที่ส่งข้อมูลออกจาก GPS และ Ground มีเพียงบางกรณีเท่านั้นที่จะใช้สายเส้นที่ 3 ในการรับข้อมูลจากอุปกรณ์อื่นๆ เช่น GPS module ความเร็วในการส่งข้อมูลจะมีการปรับได้ตามมาตรฐาน โดยส่วนใหญ่ที่พบเห็นกันทั่วไปคือแบบ 0183 [4800 baud rate, 8 bits of data, no parity, และ 1 stop bit] ซึ่งจะทราบสัญญาณทุกๆ 1 วินาที เราสามารถใช้มาตรฐานอื่นๆ ก็ได้ หากเราต้องการอัตราการส่งข้อมูลที่สูงหรือต่ำกว่านี้ เช่น แบบ 0180 และ 0182 [1200 baud rate, 8 bits of data, no parity, และ 1 stop bit]

3.5.1 NMEA Sentence [18], [19]

คำชี้แจงของ ประ โยค NMEA คือชนิดของข้อมูลเพื่อกำหนดส่วนอื่นของประ โยค NMEA โดยแต่ละชนิดของข้อมูลจะถูกกำหนดโดย มาตรฐานของ NMEA เช่น ประ โยค GGA จะใช้ในการเจาะจงข้อมูลที่สำคัญ เช่น พิกัดของ GPS Module ในประ โยค อื่นๆ จะจะมีการระบุข้อมูลในลักษณะคล้ายๆ กัน ชนิดข้อมูลของ ประ โยค NMEA ใน GPS-module ที่สำคัญ มีดังนี้

\$GPGGA

\$GPGGA,123519,4807.038,N,01131.000,E,1,08,0.9,545.4,M,46.9,M,,*47

GGA	Global Positioning System Fix Data(เจาะจงข้อมูลที่สำคัญ)
123519	Fix taken at 12:35:19 UTC
4807.038,N	ละติจูด(Latitude) 48 องศาเหนือ 07.038 ลิปดา
01131.000,E	ลองติจูด(Longitude) 11 องศาตะวันออก 31.000' ลิปดา
1 = กำกับคุณภาพ	: 0 = ผิดพลาด 1 = GPS fix (SPS) 2 = DGPS fix 3 = PPS fix 4 = เวลาจริงของ Kinematics 5 = ทศนิยม RTK 6 = ประมาณการ (คำนวณการสืบสาน) 7 = ควบคุม input 8 = Simulation

08	จำนวนของดาวเทียมที่มีการติดตาม
0.9	ความเที่ยงตรงของตำแหน่งในแนวตั้ง
545.4,M	ความสูงเหนือระดับน้ำทะเล(เมตร)
46.9,M	ความสูงเหนือระดับน้ำทะเล ทรงกลมของโลกแบบ WGS84(เมตร)
*47	ตรวจสอบรวมของข้อมูล(checksum data), ขึ้นต้นด้วย*เสมอ

\$GPGSA

\$GPGSA,A,3,04,05,,09,12,,24,,,2.5,1.3,2.1*39

GSA	ข้อมูลดาวเทียมทั้งหมด
A	เลือกโดยอัตโนมัติ 2D หรือ 3D fix (M = ควบคุมเอง)
3	3D fix – ค่าประกอบด้วย: 1 = no fix 2 = 2 มิติ(2D fix) 3 = 3 มิติ(3D fix)
04,05...	รหัส PRNs ของดาวเทียมถูกใช้เพื่อการกำหนด(fix) (ในโอกาสใช้ 12)
2.5	PDOP (ความเที่ยงตรง)
1.3	ความเที่ยงตรงในแนวราบ (HDOP)
2.1	ความเที่ยงตรงในแนวตั้ง (VDOP)
*39	ตรวจสอบรวมของข้อมูล(checksum data), ขึ้นต้นด้วย*เสมอ

\$GPRMC

\$GPRMC,123519,A,4807.038,N,01131.000,E,022.4,084.4,230394,003.1,W*6A

RMC	บอกข้อมูลที่เล็กที่สุดของGPS
123519	กำหนดการกระทำที่เวลา 12:35:19 UTC
A	สถานะ A=ทำงาน หรือ V=เสีย
4807.038,N	ละติจูด 48 องศาเหนือ 07.038 ลิปดา
01131.000,E	ลองติจูด 11 องศาตะวันออก 011.300 ลิปดา
22.4	ความเร็วบนพื้นโลก(knots)
84.4	หมุนของ ติดตามดาวเทียม ในหน่วยองศา
230394	วันที่ 23 เดือน 3 (มีนาคม) ปี ก.ศ.1990

003.1,W การเปลี่ยนแปลงของนามแเม่เหล็ก
*6A ตรวจสอบของข้อมูล(checksum data), ขึ้นต้นด้วย*เสนอ

\$GPGSV

\$GPGSV,2,1,08,01,40,083,46,02,17,308,41,12,07,344,39,14,22,228,45*75

GSV	ข้อมูลดาวเทียมซึ่งมีรายละเอียดมาก
2	จำนวนของประ โยกสำหรับข้อมูลทั้งหมด ,
1	ประ โยกที่ 1 ของ 2
08	จำนวนของดาวเทียมที่รับได้
01	จำนวนดาวเทียมPRN
40	นุ่มเงย (evaluation), องศา
083	มุ่งการต (azimuth), องศา
46	ค่า SNR - อิ่งสูงอิ่งดี
	สำหรับ 4 ดาวเทียมขึ้นไปต่อ 1 ประ โยก
*75	ตรวจสอบความของข้อมูล(checksum data), ขึ้นต้นด้วย*เสมอ

\$GPGLL

\$GPGLL,4916.45,N,12311.12,W,225444,A,*31

GLL	ตำแหน่งทางภูมิศาสตร์, ละติจูดและลองติจูด
4916.46,N	ละติจูด 49 องศาเหนือ, 16.45 ลิปดา
12311.12,W	ลองติจูด 123 องศาตะวันตก. 11.12 ลิปดา
225444	กำหนดค่าที่เวลา UTC 22:54:44
A	ข้อมูลทำงาน หรือ V (เฉยไม่ทำงาน)
*31	ตรวจสอบรวมของข้อมูล(checksum data), ขึ้นต้นด้วย*เสมอ

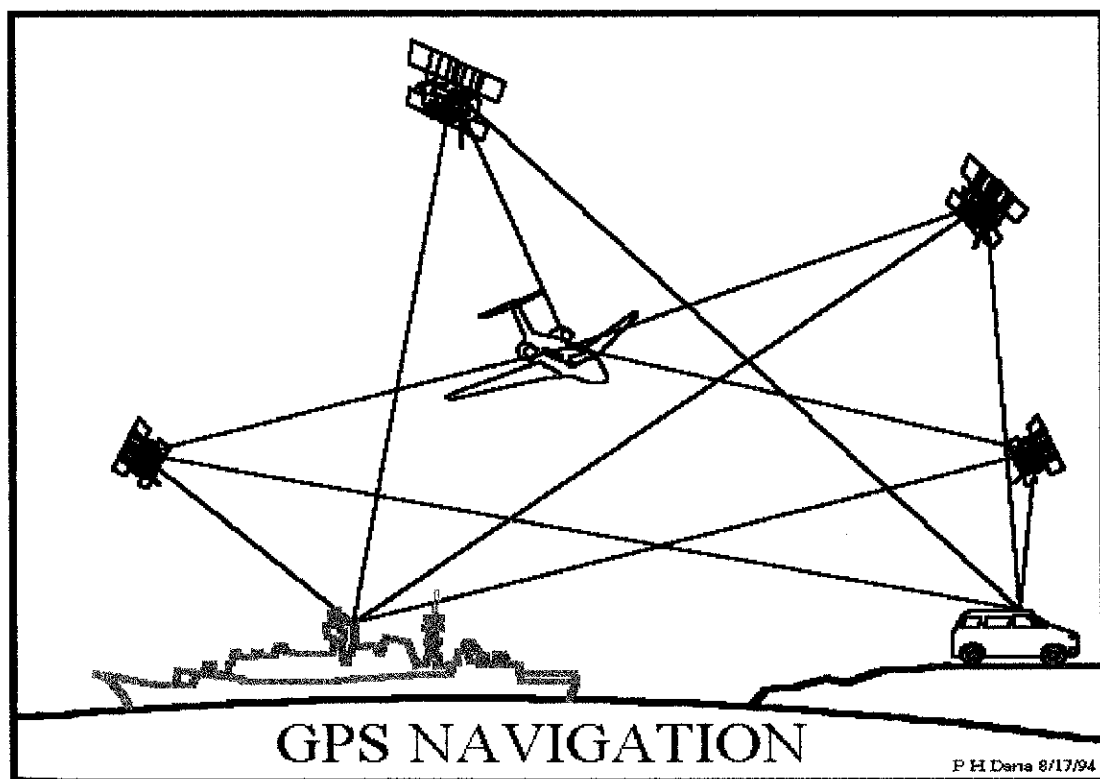
\$GPVTG

\$GPVTG,054.7,T,034.4,M,005.5,N,010.2,K

VTG	การติดตามวงโคจรดาวเทียม และ ความเร็วบนพื้นโลก
054.7,T	ผลการติดตามวงโคจรดาวเทียม
034.4,M	ผลการติดตามวงโคจรดาวเทียมแบบแม่เหล็ก
005.5,N	ความเร็วบนพื้นโลก, หน่วยนีอต (knots)
010.2,K	ความเร็วบนพื้นโลก, กิโลเมตรต่อชั่วโมง

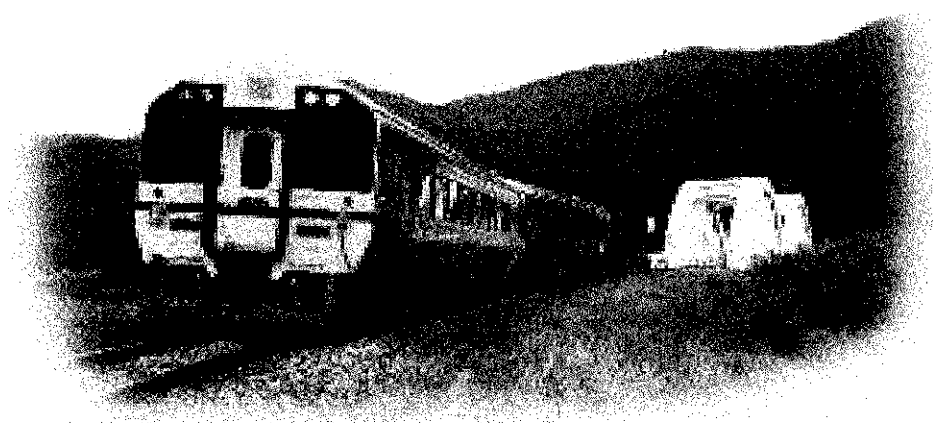
3.6 การใช้ GPS ในระบบนำทางสำหรับยานพาหนะต่างๆ

พื้นฐานของระบบนำร่อง (navigation system) ก็คือระบบที่ใช้สำหรับคาดการณ์การเคลื่อนที่ ถ่วงหน้า ตำแหน่งที่ได้จากการคาดการณ์จะต้องสามารถบอกทิศทางและความเร็วของการเดินทางได้ และยังต้องบอกเวลาที่จะไปถึงจุดหมายได้ด้วย ปริมาณต่างๆ จะถูกวัดโดยใช้เซ็นเซอร์เพื่อนำค่าที่ได้มาคำนวณหาตำแหน่งร่วมกับเครื่องรับ GPS และแผนที่บน CD-ROM ดังนั้นคอมพิวเตอร์จะต้องสรุปข้อมูลที่ได้จากส่วนต่างๆ ให้มีความถูกต้องแม่นยำมากที่สุด



รูปที่ 3.6 ระบบ GPS NAVIGATION

รถไฟเป็นยานพาหนะที่สำคัญมากชนิดหนึ่งในระบบโดยสารและขนส่งในโครงงานนี้เป็นโครงการต้นแบบการนำเอา GPS มาจัดการระบบขนส่งทางรถไฟโดยเฉพาะในประเทศไทย การแสดงผลตำแหน่งรถไฟในการเข้าออกสถานีจะทำให้เรารู้ว่ารถไฟกำลังวิ่งอยู่ที่ตำแหน่งใดแล้ว ถ้าหากเราต้องการที่แน่นอนของมันเราก็สามารถนำไปประยุกต์ใช้กับอุปกรณ์อื่นในระบบรถไฟได้



รูปที่ 3.7 รถไฟ

บทที่ 4

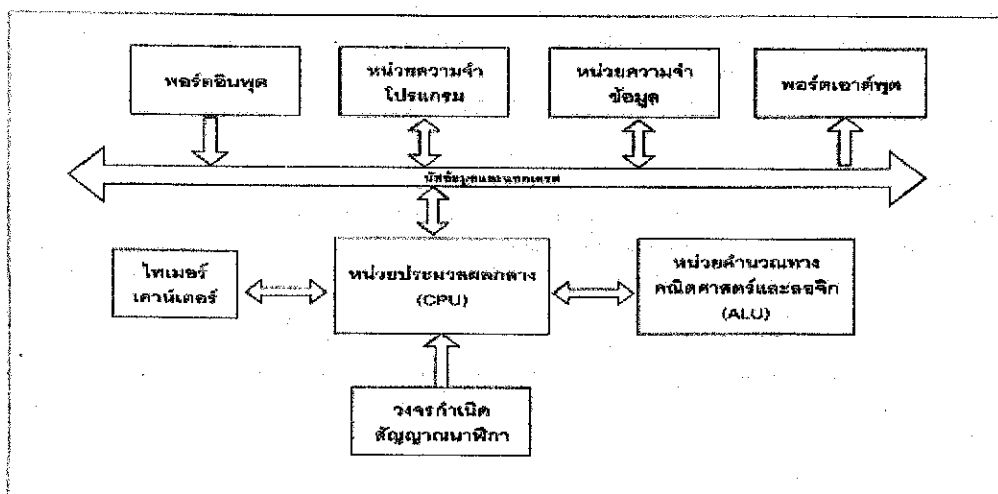
ไมโครคอนโทรลเลอร์ (microcontroller)

4.1 อะไรคือไมโครคอนโทรลเลอร์[10]

4.1.1 ความหมายของไมโครคอนโทรลเลอร์

ไมโครคอนโทรลเลอร์ (microcontroller) เป็นชื่อของอุปกรณ์อิเล็กทรอนิกส์แบบหนึ่งที่รวมเอา หน่วยประมวลผล หน่วยคำนวณทางคณิตศาสตร์ และล็อกิค วงจรรับสัญญาณอินพุต วงจรขับสัญญาณ เอาต์พุต หน่วยความจำ วงจรกำเนิดสัญญาณนาฬิกา ไว้ด้วยกัน ทำให้สามารถนำไปใช้งานแทนวงจร อิเล็กทรอนิกส์ที่ซับซ้อนได้เป็นอย่างดี ช่วยลดจำนวนอุปกรณ์และขนาดของระบบ ในขณะที่มีขีดความสามารถ สามารถสูง ภายใต้เงื่อนไขที่เหมาะสม

ไมโครคอนโทรลเลอร์มาจากการคำ 2 คำรวมกันคือ “ไมโคร” (micro) ซึ่งหมายถึงไมโครโปรเซสเซอร์ (microprocessor) ซึ่งเป็นอุปกรณ์ประมวลผลข้อมูลขนาดเล็ก ภายในประกอบด้วย หน่วยประมวลผลกลางหรือซีพียู (CPU : Central Processing Unit) หน่วยคำนวณทางคณิตศาสตร์ และล็อกิค (ALU : Arithmatic Logic Unit) วงจรเชื่อมต่อหน่วยความจำ และวงจรสัญญาณนาฬิกา อีกหนึ่งคือคำว่า “คอนโทรลเลอร์” (controller) หมายถึงอุปกรณ์ควบคุม ดังนั้นไมโครคอนโทรลเลอร์จึงเป็นอุปกรณ์ที่ใช้ในการควบคุม โดยที่สามารถเขียนโปรแกรมเพื่อกำหนดรูปแบบการควบคุมได้อย่างอิสระ



รูปที่ 4.1 โครงสร้างพื้นฐานของไมโครคอนโทรลเลอร์

4.2 โครงสร้างและสถาปัตยกรรมของไมโครคอนโทรลเลอร์ MCS-51 แบบแฟลช[10]

ไมโครคอนโทรลเลอร์ตระกูล MCS-51 ซึ่งมีหน่วยความจำภายในเป็นแบบแฟลช (flash memory) ของ Atmel Corporation มีเบอร์ชิปต้นด้วย AT89 เหตุผลที่ใช้ในไมโครคอนโทรลเลอร์แบบนี้ในการเรียบเรียงเพื่อใช้งานในไมโครคอนโทรลเลอร์ตระกูล MCS-51 มีด้วยกันหลายประการดังนี้

4.2.1 หน่วยความจำโปรแกรมภายในตัวไมโครคอนโทรลเลอร์เป็นแบบแฟลช ทำให้สามารถ และเขียนใหม่ได้บันทึกครั้ง จึงสามารถใช้งานในรูปแบบของไมโครคอนโทรลเลอร์ชิปเดียวไม่ต้องใช้หน่วยความจำภายนอก ส่งผลให้สามารถใช้งานพอร์ตอินพุตเอาต์พุตของไมโครคอนโทรลเลอร์ได้อย่างเต็มประสิทธิภาพ

4.2.2 ต้นทุนและเวลาในการพัฒนาระบบไมโครคอนโทรลเลอร์ลดลงอย่างมาก เนื่องจากไม่ต้องใช้เครื่องมือพัฒนาจำพวกอิมเมจเดอร์และเครื่องโปรแกรมอีพรอม

4.2.3 บรรบทุ่มพลิตได้ทำการผลิตไมโครคอนโทรลเลอร์ตระกูลนี้ออกมากหลายชิ้น และมีความสามารถแตกต่างกันไป ทำให้มีทางเลือกในการใช้งานสูง

4.2.4 ด้วยการใช้หน่วยความจำภายในไมโครคอนโทรลเลอร์ ทำให้สามารถป้องกันการคัดลอกข้อมูลของหน่วยความจำโปรแกรมได้เป็นอย่างดี

4.2.5 ในบางเบอร์ของไมโครคอนโทรลเลอร์ที่ผลิตโดย Atmel สามารถทำการโปรแกรมข้อมูลในหน่วยความจำได้โดยที่ไม่ต้องถอดตัวไมโครคอนโทรลเลอร์ออกน้ำทำการโปรแกรมใหม่ หรือเรียกว่า การโปรแกรมในวงจร หรือ ในระบบ (In-system programming) ทำให้การพัฒนาหรือการซ่อมบำรุง ตลอดจนการปรับปรุงหรืออัปเกรดข้อมูลในหน่วยความจำโปรแกรมทำได้อย่างสะดวก ภายใต้เงื่อนไขที่ไม่สูงนัก

4.2.6 ชุดคำสั่งและสถาปัตยกรรมพื้นฐานเหมือนกับไมโครคอนโทรลเลอร์ตระกูล MCS-51 ของผู้ผลิตอื่น ไม่ว่าจะเป็นอินเทล, ซีเมนส์ หรือ ดัลลัส

4.3 คุณสมบัติของไมโครคอนโทรลเลอร์ตระกูล MCS-51 อนุกรม AT89xx

- เป็นไมโครคอนโทรลเลอร์ที่ใช้ชิปขนาด 8 บิต
- ภายในมีหน่วยความจำโปรแกรมเป็นแบบแฟลชสามารถและเขียนใหม่ได้พันครั้ง
- หน่วยความจำข้อมูลพื้นฐานเป็นหน่วยความจำแบบแรม ในบางเบอร์จะมีหน่วยความจำแบบอีพรอมเพิ่มเติม
 - ชาพอร์ตเป็นแบบสองทิศทาง สามารถใช้งานเป็นไดท์อินพุตและเอาต์พุต
 - มีวงจรสื่อสารอนุกรมแบบฟูลดูเพล็กซ์
 - ไทรเมอร์/เคาน์เตอร์ขนาด 16 บิตอย่างน้อย 2 ตัว

- สามารถรองรับแหล่งกำเนิดอินเตอร์รัปต์ได้ 6 ประเภท
- สามารถขยายหน่วยความจำภายในอิกเพิมเติมได้สูงสุด 64 กิโลไบต์
- มีวงจรกำเนิดสัญญาณไฟกาวยู่ภายในชิป
- มีวงจรสื่อสารอนุกรมแบบ SPI สำหรับในอนุกรม AT89Sxx
- มีพอตเซ็นเซอร์ในตัว สำหรับในอนุกรม AT89Sxx

4.4 การจัดขาของไมโครคอนโทรลเลอร์ระดับ MCS-51

ไมโครคอนโทรลเลอร์ระดับ MCS-51 ทุกเมอร์จะมีสถาปัตยกรรมและขาใช้งานพื้นฐานเหมือนกัน ดังแสดงในรูปที่ 4.2 โดยมีรายละเอียดข้างต้นดังนี้

ขา Vcc ใช้สำหรับต่อไฟเลี้ยง +5V

ขา GND เป็นขากราว์ด สำหรับต่อกับกราว์ดของระบบ

ขาพอร์ต 0 (P0.0-P0.7) มี 8 ขา แต่ละขาสามารถกำหนดให้เป็นได้ทั้งอินพุตและเอาต์พุตสำหรับใช้งานทั่วไป ถ้าหากต้องการกำหนดให้ขาพอร์ต 0 ขาใดขาหนึ่งเป็นอินพุตสามารถทำได้โดยการเปลี่ยนข้อมูล “1” ไปยังแต่ละบิตของพอร์ตที่ต้องการติดต่อด้วย ส่งผลให้ขาพอร์ตนั้นมีสถานะปล็อยล็อบ (float) ซึ่งมีอินพุตอินพีเดนซ์สูงสามารถใช้งานเป็นขาพอร์ตอินพุตได้ นอกจากนั้นขาพอร์ตนี้ยังถูกใช้งานในการติดต่อกับขาแอดเดรสไปต่อขาของหน่วยความจำภายนอก (A0-A7) และขาข้อมูล (D0-D7) โดยใช้กระบวนการมัตติเพล็กซ์เข้าช่วย เพื่อสลับการทำงานเป็นได้ทั้งขาติดต่อแอดเดรสและขาข้อมูล

ขาพอร์ต 1 (P1.0-P1.7) มี 8 ขา แต่ละขาสามารถกำหนดให้เป็นได้ทั้งอินพุตและเอาต์พุตสำหรับใช้งานทั่วไป ถ้าหากต้องการกำหนดให้ขาพอร์ต 1 ให้เป็นอินพุต สามารถทำได้โดยการเปลี่ยนข้อมูล “1” ไปยังแต่ละบิตของพอร์ตที่ต้องการติดต่อด้วย นอกจากนั้นในอนุกรม AT89Sxx จะใช้ขา P1.4-P1.7 เป็นขาสำหรับเชื่อมต่อแบบ SPI เพื่อทำการโปรแกรมข้อมูลในระบบ

ขาพอร์ต 2 (P2.0-P2.7) มี 8 ขา แต่ละขาสามารถกำหนดให้เป็นได้ทั้งอินพุตและเอาต์พุตสำหรับใช้งานทั่วไป ถ้าหากต้องการกำหนดให้ขาพอร์ต 2 ให้เป็นอินพุต สามารถทำได้โดยการเปลี่ยนข้อมูล “1” ไปยังแต่ละบิตของพอร์ตที่ต้องการติดต่อด้วย ส่งผลให้ขาพอร์ตนั้นมีสถานะปล็อยล็อบ (float) ซึ่งอินพุตอินพีเดนซ์สูงสามารถใช้งานเป็นขาพอร์ตอินพุตได้ นอกจากนั้นขาพอร์ตนี้ยังถูกใช้งานในการติดต่อกับขาแอดเดรสไปต่อสูงของหน่วยความจำภายนอก (A8-A15)

ขาพอร์ต 3 (P3.0-P3.7) มี 8 ขา แต่ละขาสามารถกำหนดให้เป็นได้ทั้งอินพุตและเอาต์พุตสำหรับใช้งานทั่วไป ถ้าหากต้องการกำหนดให้ขาพอร์ต 3 ให้เป็นอินพุต สามารถทำได้โดยการเปลี่ยนข้อมูล “1” ไปยังแต่ละบิตของพอร์ตที่ต้องการติดต่อด้วย ส่งผลให้ขาพอร์ตนั้นมีสถานะปล็อยล็อบ (float) ซึ่งอินพุตอิน

พิเคนซ์สูงสามารถใช้งานเป็นขาพอร์ตอินพุตได้ นอกจากนี้ขาพอร์ต 3 ยังเป็นขาที่มีหน้าที่การใช้งานพิเศษ ดังนี้รายละเอียดข้างต้นต่อไปนี้

P3.0 ใช้เป็นขาอินพุตสำหรับรับข้อมูลจากการสื่อสารแบบอนุกรม หรือขา RXD

P3.1 ใช้เป็นขาอินพุตสำหรับส่งข้อมูลจากการสื่อสารแบบอนุกรม หรือขา TXD

P3.2 ใช้เป็นขาอินพุตสำหรับสัญญาณอินเตอร์รัปต์จากภายนอกช่อง 0 หรือขา INT0

P3.3 ใช้เป็นขาอินพุตสำหรับสัญญาณอินเตอร์รัปต์จากภายนอกช่อง 1 หรือขา INT1

P3.4 ใช้เป็นขาอินพุตสำหรับรับสัญญาณไทด์เมอร์จากภายนอกช่อง 0 หรือขา T0

P3.5 ใช้เป็นขาอินพุตสำหรับรับสัญญาณไทด์เมอร์จากภายนอกช่อง 1 หรือขา T1

P3.6 ใช้เป็นขาสัญญาณ WR ในกรณีที่ใช้เข็มต่อ กับหน่วยความจำภายนอก

P3.7 ใช้เป็นขาสัญญาณ RD ในกรณีที่ใช้เข็มต่อ กับหน่วยความจำภายนอก

บารีเซต(Reset) ใช้ในการรีเซ็ตการทำงานของไมโครคอนโทรลเลอร์ โดยในการป้อนสัญญาณเพื่อรีเซ็ตสถานะที่ต้องอยู่ในกรัฟต์บารีเซตต่อเนื่อง 2 เมลชีนไซเกลต์ โดยที่วงจรกำเนิดสัญญาณนาฬิกาซึ่งคงทำงานต่อเนื่องไปอย่างเป็นปกติ

ขา ALE/PROG (Address Latch Enable/Program pulse input) เป็นขาที่ใช้ในการควบคุมการແลดต์ช์ของขาพอร์ต 0 เมื่อมีการใช้งานหน่วยความจำภายนอก นอกจากนี้ยังใช้เป็นขาสำหรับพัลส์ของการโปรแกรมสำหรับโปรแกรมข้อมูลลงในไมโครคอนโทรลเลอร์ MCS-51 ในรุ่นที่มีหน่วยความจำโปรแกรมเป็นแบบอิฐรวม (EPROM)

ขา PSEN (Program Store Enable) ใช้ในการส่งสัญญาณเพื่อรับสัญญาณติดต่อ กับหน่วยความจำโปรแกรมภายนอก และเมื่อไม่ใช้ไมโครคอนโทรลเลอร์ต้องการอ่านข้อมูลจากหน่วยความจำโปรแกรมภายนอก ตัวไมโครคอนโทรลเลอร์จะส่งสัญญาโนอ กมาที่ขาที่ 2 ครั้งในแต่ละเมลชีนไซเกล แต่ถ้าหากติดต่อ กับหน่วยความจำข้อมูลภายนอก ขาที่จะไม่มีการส่งสัญญาโนอ กโดยอัตโนมัติ

ขา EA/Vpp (External Access enable/Programming voltage input) ใช้สำหรับเลือกการติดต่อ หน่วยความจำโปรแกรมจากภายนอกหรือภายในตัวไมโครคอนโทรลเลอร์ ถ้าหากขาที่เป็น “0” เป็นการเลือกให้ไม่ใช้ไมโครคอนโทรลเลอร์ติดต่อ กับหน่วยความจำโปรแกรมภายนอก แต่ถ้าหากขาที่เป็น “1” ซึ่งเป็นการเลือกให้ไม่ใช้ไมโครคอนโทรลเลอร์ติดต่อ กับหน่วยความจำโปรแกรมภายนอกในตัวไมโครคอนโทรลเลอร์ นอกจากนี้ ที่ขาที่ 5 ใช้เป็นขาอินพุตสำหรับรับแรงดันไฟสูงสำหรับการโปรแกรมหน่วยความจำ โปรแกรมภายในตัวไมโครคอนโทรลเลอร์ สำหรับไมโครคอนโทรลเลอร์ MCS-51 แบบแฟลชต้องการแรงดันสำหรับการโปรแกรม+12V

ขา XTAL1 และ XTAL2 เป็นขาสำหรับต่อคริสตอลเพื่อสร้างสัญญาณนาฬิกาในการกำหนด จังหวะการทำงานของไมโครคอนโทรลเลอร์

(T2) P1.0	1	40	<input type="checkbox"/> VCC
(T2 EX) P1.1	2	39	<input type="checkbox"/> P0.0 (AD0)
P1.2	3	38	<input type="checkbox"/> P0.1 (AD1)
P1.3	4	37	<input type="checkbox"/> P0.2 (AD2)
(SS) P1.4	5	36	<input type="checkbox"/> P0.3 (AD3)
(MOSI) P1.5	6	35	<input type="checkbox"/> P0.4 (AD4)
(MISO) P1.6	7	34	<input type="checkbox"/> P0.5 (AD5)
(SCK) P1.7	8	33	<input type="checkbox"/> P0.6 (AD6)
RST	9	32	<input type="checkbox"/> P0.7 (AD7)
(RXD) P3.0	10	31	<input type="checkbox"/> EA/VPP
(TXD) P3.1	11	30	<input type="checkbox"/> ALE/PROG
(INT0) P3.2	12	29	<input type="checkbox"/> PSEN
(INT1) P3.3	13	28	<input type="checkbox"/> P2.7 (A15)
(T0) P3.4	14	27	<input type="checkbox"/> P2.6 (A14)
(T1) P3.5	15	26	<input type="checkbox"/> P2.5 (A13)
(WR) P3.6	16	25	<input type="checkbox"/> P2.4 (A12)
(RD) P3.7	17	24	<input type="checkbox"/> P2.3 (A11)
XTAL2	18	23	<input type="checkbox"/> P2.2 (A10)
XTAL1	19	22	<input type="checkbox"/> P2.1 (A9)
GND	20	21	<input type="checkbox"/> P2.0 (A8)

รูปที่ 4.2 การจัดขนาดตรรูปของไมโครคอนโทรลเลอร์ MCS-51

4.5 การใช้งานเป็นพอร์ตอินพุต

เนื่องจากพอร์ตทั้งหมดของไมโครคอนโทรลเลอร์ MCS-51 แบบแพลตฟลัมสามารถเป็นได้ทั้งอินพุต และเอาท์พุตดังนั้นจึงมีความจำเป็นอย่างยิ่งต้องทำความเข้าใจถึงการกำหนดลักษณะการทำงานให้แก่พอร์ตของไมโครคอนโทรลเลอร์ MCS-51 แบบแพลตช

ในการกำหนดเป็นพอร์ตอินพุตต้องเริ่มต้นด้วยการเขียนข้อมูล “1” มาที่แต่ละบิตของพอร์ตที่ต้องการใช้งานเป็นอินพุต เพื่อหยุดการทำงานของเฟลที่ใช้ในการขับสัญญาณเอาท์พุตของบิตนั้นๆ ทำให้สัญญาณของพอร์ตเรื่องต่อเข้ากับวงจรปั๊กภายในโดยตรง ส่งผลให้ขาพอร์ตนั้นมีล็อกอิจิกเป็น “1” สามารถรับสัญญาณล็อกอิจิก “0” จากอุปกรณ์ภายนอกได้ง่าย สัญญาณข้อมูลจากอุปกรณ์ภายนอกจะถูกส่งเข้ามาแล้วเก็บไว้ในวงจรบันไฟฟอร์ตแต่ละพอร์ตแล้วรอให้ CPU มาอ่านค่าเข้าไปเมื่อเป็นเช่นนี้อุปกรณ์ภายนอกที่เชื่อมต่อกับพอร์ตอินพุตของไมโครคอนโทรลเลอร์ MCS-51 แบบแพลตชาร์กการกำหนดให้ทำงานในสภาวะล็อกอิจิก “0” จะดีและสะดวกที่สุด(ซึ่งในปัจจุบันอุปกรณ์อินพุตที่เชื่อมต่อในไมโครคอนโทรลเลอร์แบบทั้งหมดทำงานที่ล็อกอิจิก “0” แล้ว

4.6 การใช้งานเป็นพอร์ตเอาท์พุต

โดยปกติแล้ว ขาพอร์ตจะกำหนดให้มีลักษณะเป็นเอาท์พุตอยู่แล้ว ดังนั้นจึงสามารถส่งข้อมูล ออกไปได้ถ่ายความและตรงไปตรงมา ก่อว่าคือ เมื่อต้องการส่งข้อมูล “0” ออกไปทางเอาท์พุตก็ให้เปลี่ยนชื่อ ชุด “0” ไปยังวงจรแผลต์ ซึ่งก็จะส่งต่อไปบันเฟต ทำให้เฟตทำงานที่ขาพอร์ตที่กำหนดให้ทำงานก็จะเกิด ผลลัพธ์ “0” ขึ้นในทางตรงกันข้ามหากต้องการส่งข้อมูล “1” ออกไป ก็ให้เปลี่ยนชื่อ ชุด “1” ไปยังวงจร แผลต์ วงจรขับกีดขวางทำทำงานทำให้ที่ขาพอร์ตเชื่อมต่อกับวงจรปุ่ลอปปายในเกิดเป็นลอกิจ”1” ที่ขา พอร์ตนี้นั้นซึ่งจะคล้ายกับการกำหนดเป็นขาอินพุตมาก เพียงแต่แตกต่างกันที่กระบวนการในการเคลื่อน ข่ายข้อมูล โดยถ้าเป็นอินพุตจะมีสัญญาณมาอ่านข้อมูลที่บันฟเฟอร์ แต่ถ้าเป็นเอาท์พุตจะไม่มีการอ่านข้อมูลที่บันฟเฟอร์แต่ย่างใด เว้นแต่ในการผู้ที่ต้องการตรวจสอบข้อมูลที่ส่งออกมายังเอาท์พุต

4.7 การอ่านค่าลอกิจจากพอร์ต

ในไมโครคอนโทรลเลอร์ MCS-51 แบบแพลตฟาร์มารออ่านค่าลอกิจจากพอร์ตได้ 2 ลักษณะคือ อ่านจากขาพอร์ต โดยตรงและอ่านจากวงจรแผลต์ของแต่ละพอร์ต

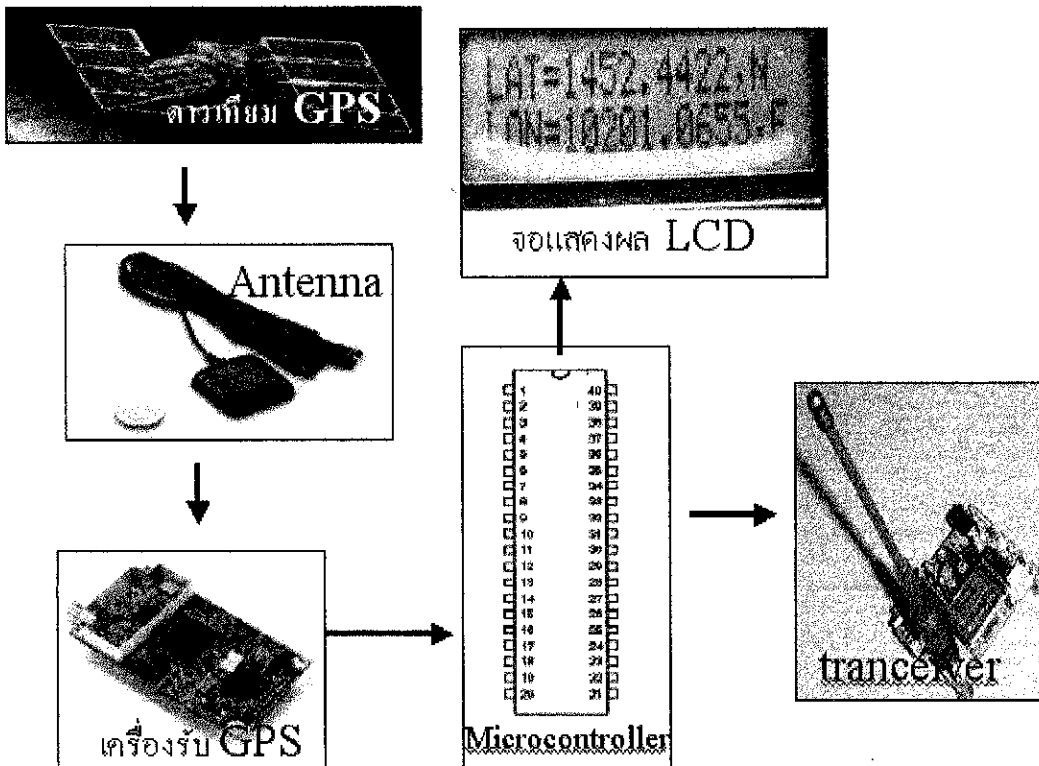
ในการผู้ที่พอร์ตต่อ กับขาเบสทรานซิสเตอร์ชนิดNPN และขาอิมิตเตอร์ของทรานซิสเตอร์ทัวนั้นต่อ ลงกราวด์ หากมีการส่งข้อมูล”1”ไปยังทรานซิสเตอร์ จะทำให้ทรานซิสเตอร์ทำงานสถานะลอกิจที่ขา พอร์ตจะเป็น“0” เมื่อจากเมื่อทรานซิสเตอร์ทำงาน จะเห็นว่าขาพอร์ตนั้นถูกต่อลงกราวด์ ทำให้หาก อ่านค่าลอกิจที่ขาพอร์ตจะได้ผลตรงข้ามกับที่ส่งออกมานั้น แต่ถ้าหากทำงานอ่านค่าลอกิจที่วงจรแผลต์ จะได้ ค่าที่ตรงกับค่าที่ต้องการส่งจริงดังนั้นในการอ่านค่าลอกิจจากพอร์ตซึ่งต้องเลือกวิธีการให้เหมาะสมกับ คุณผู้ที่นำมาต่อด้วย

บทที่ 5

การออกแบบโครงงาน

5.1 การออกแบบ Hardware

5.1.1 ชุดตรวจวัดตำแหน่ง

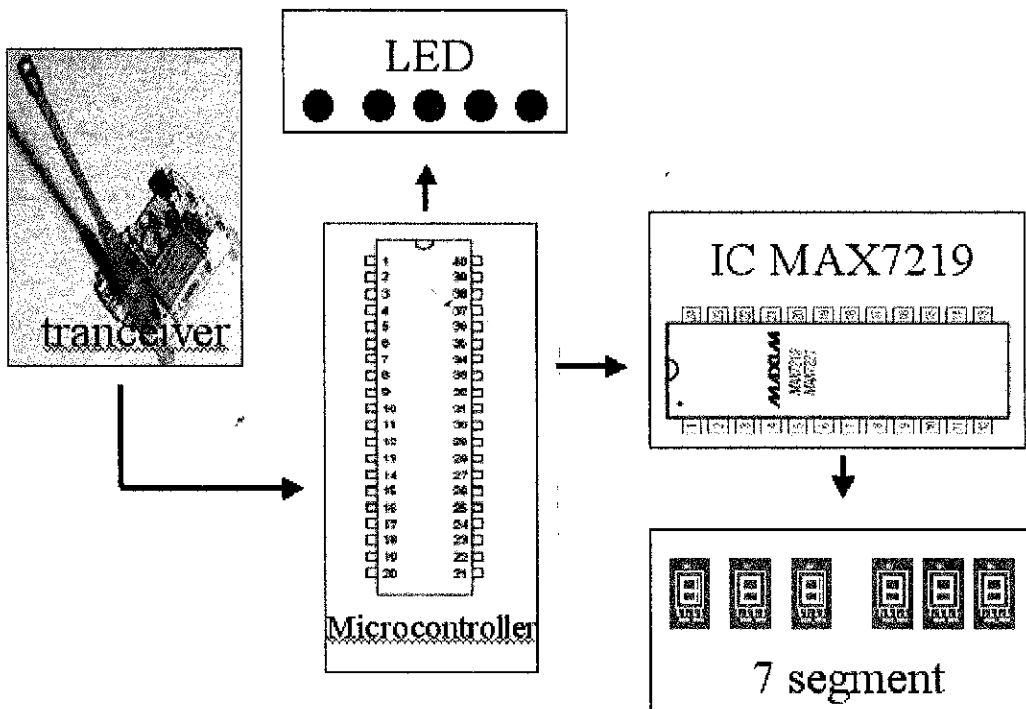


รูปที่ 5.1 Block Diagram ของชุดตรวจวัดตำแหน่ง

ชุดตรวจวัดตำแหน่งนี้จะถูกนำไปติดตั้งที่ตัวขับวนรถไฟ ซึ่งอุปกรณ์ที่สำคัญภายในชุดนี้เครื่องรับ GPS และ Antenna อุปกรณ์ชุดนี้สามารถหาข้อมูลและนำมาใช้งานได้ทันที เนื่องจากทางบริษัทที่จำหน่ายนั้นจะขอสิทธิ์แล้ว เราสามารถทดสอบอุปกรณ์นี้ได้โดยนำไฟต่อเข้ากับ MAX 232 แล้วต่อเข้ากับคอมพิวเตอร์ และสามารถเปิดคู่ค่าที่เรา_rับได้จากโปรแกรม Hyper Terminal แต่ในการทดลองนี้จะทำการเชื่อมต่อเข้ากับ Microcontroller เพื่อทำการประมวลผล โดยสามารถเชื่อมต่อจากขา Rx ของ GPS เข้ากับขา Rx ของ Microcontroller ใช้สำหรับการดึงค่าที่รับได้จาก GPS และทำการใส่ Code ของตัวรถไฟเข้าไป แล้วทำการแสดงผลที่ได้ออกทางจอแสดงผล LCD เป็นอุปกรณ์ที่ใช้สำหรับแสดงผลที่ได้

จากการดึงข้อมูลจากเครื่องรับ GPS เป็นส่วนที่ใช้สำหรับคิดต่อผู้ใช้โดยตรงจากนั้นจะทำการส่งข้อมูลทั้งหมดออกไปที่ตัว Tranceiver ซึ่ง Microcontroller นี้เราใช้ภาษาและซีบล็อกในการควบคุม

5.1.2 บอร์ดแสดงผล

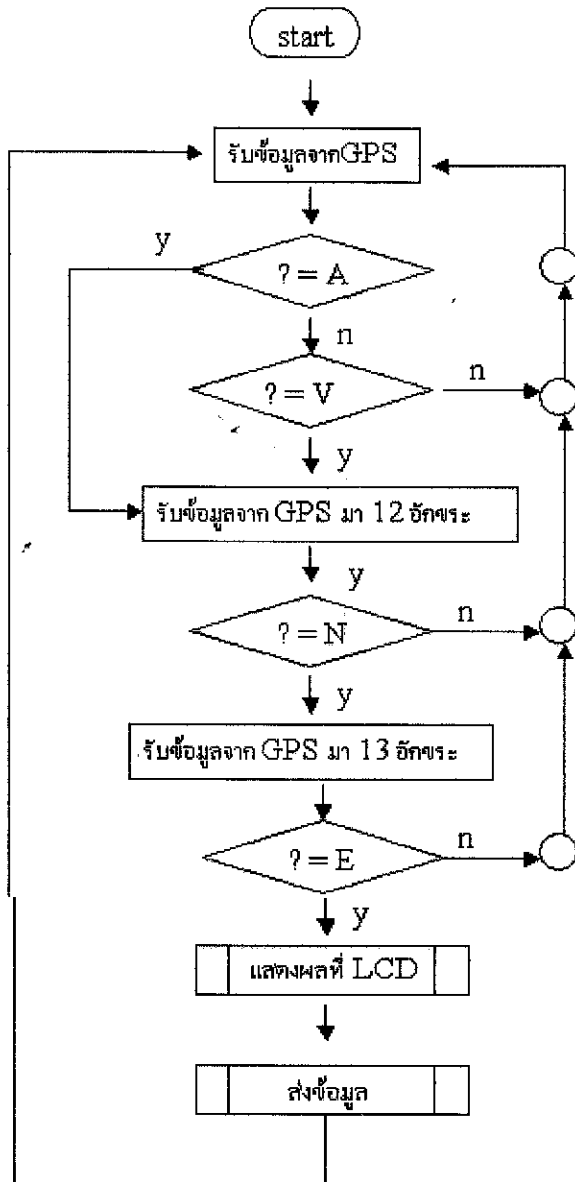


รูปที่ 5.2 Block Diagram ของบอร์ดแสดงผล

การทำงานของบอร์ดแสดงผลเริ่มจากการรับข้อมูลตำแหน่งจากชุดตรวจวัดแสดงผลผ่านเครื่องรับแล้วนำข้อมูลที่ได้ส่งต่อไปปั๊งไมโครคอนโทรลเลอร์ซึ่งไมโครคอนโทรลเลอร์ก็จะมีหน้าที่ประมวลผลว่าตำแหน่งของรถไปในอุปกรณ์ห่างจากสถานีเป็นระยะทางเท่าไหร่ เมื่อประมวลผลเสร็จเรียบร้อยแล้วก็จะเข้าสู่ส่วนแสดงผลโดยแสดงผลหมายเลขบนรถไฟที่ได้รับเข้ามาด้วย 7segment แต่เนื่องจากไมโครคอนโทรลเลอร์นั้นมีพอร์ตที่ใช้งานดังนั้นจึงได้นำ IC เบอร์ MAX7219 เข้ามาใช้เพื่อใช้บับ 7segment ทั้ง 6 ตัวด้วยการใช้ขาไมโครคอนโทรลเลอร์เพียง 3 ขาเท่านั้น ซึ่ง IC เบอร์นี้สามารถบับ 7segment ได้สูงสุด 8 ตัว การแสดงข้อมูลของตำแหน่งนี้ก็จะแสดงผลด้วยหลอดไฟ LED ดังนั้นจึงนำหลอดไฟ LED มาต่อ กับไมโครคอนโทรลเลอร์เพื่อให้ไมโครคอนโทรลเลอร์นำข้อมูลที่ประมวลผลเสร็จเรียบร้อยแล้วนั้นมาแสดงผลต่อไป

5.2 การออกแบบทาง Software

5.2.1 การทำงานของชุดตรวจวัดตำแหน่ง

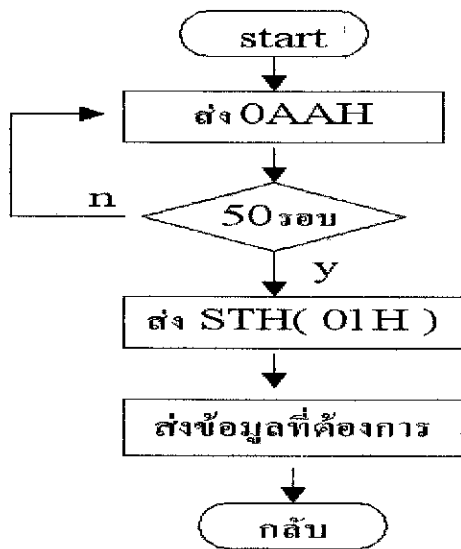


รูปที่ 5.3 Flow Chartการทำงานของชุดตรวจวัดตำแหน่ง

การทำงานของชุดตรวจวัดตำแหน่งเริ่มต้นจากการรับข้อมูลรหัสแมสเตอร์จาก GPS ผ่านทางพอร์ตシリ얼ของไมโครคอนโทรลเลอร์ทำการดีซิลักเตชันและถอดกิจุติกาล \$GPRMC ตรวจสอบข้อมูลที่รับเข้ามาไปเรื่อยๆจนกระทั่งเจออักขระ A ซึ่งนี้ค่าแมสเตอร์เป็น 65 หมายความว่าเครื่องรับ GPS ทำงาน หรือ

เชื่อมต่ออัตราเร็วซึ่งมีค่าແອສกีเป็น 8 เซ็งทุกความว่า GPS ไม่ทำงาน ถ้าไม่เจอ 2 อัตราเร็วนี้ให้กลับไปรับข้อมูลรหัสແອສกีเข้ามาใหม่ เมื่อเจอ A หรือ V แล้วก็ให้รับข้อมูลเข้ามาต่อเนื่องกันเป็นจำนวน 12 อัตรา (ข้อมูลจะติดต่อ) ก็เป็นไว้ในหน่วยความจำข้อมูลแล้วตรวจสอบอัตราเร็วตัวที่รับเข้ามาตัวที่ 12 ว่าเป็นอัตราเร็วซึ่งมีค่าແອສกีเท่ากับ 78 หรือไม่ถ้าข้อมูลถูกส่งมาอย่างครบถ้วน ไม่มีข้อผิดพลาดจากกระบวนการได้ๆ ก็เกิดขึ้นข้อมูลตัวนี้จะต้องเป็นตัวอัตราเร็วถ้าไม่ใช้อัตราเร็วให้กลับไปเริ่มต้นทำใหม่ทั้งหมด เมื่อเจอ N แล้วก็ให้รับข้อมูลเข้ามาต่อเนื่องกันเป็นจำนวน 13 อัตรา (ข้อมูลลองกิจูด) ก็เป็นไว้ในหน่วยความจำข้อมูลแล้วตรวจสอบอัตราเร็วตัวที่รับเข้ามาตัวที่ 13 ว่าเป็นอัตราเร็ว E ซึ่งมีค่าແອສกีเท่ากับ 89 หรือไม่ถ้าข้อมูลถูกส่งมาอย่างครบถ้วน ไม่มีข้อผิดพลาดจากกระบวนการได้ๆ ก็เกิดขึ้นข้อมูลตัวนี้จะต้องเป็นตัวอัตราเร็ว E ถ้าไม่ใช้อัตราเร็ว E ให้กลับไปเริ่มต้นทำใหม่ทั้งหมด เมื่อพบอัตราเร็วที่นำข้อมูลที่ได้ไปแสดงผลที่จอแสดงผล LCD ด้วยการเรียกใช้ subroutine แสดงผลที่ LCD เมื่อแสดงผลที่ LCD เรียบร้อยแล้วก็ทำการส่งข้อมูลผ่านเครื่องรับส่งโดยการเรียกใช้ subroutine ส่งข้อมูลต่อไป หลังจากนั้นก็วนกลับไปรับค่าข้อมูลจาก GPS ใหม่ทั้งหมด

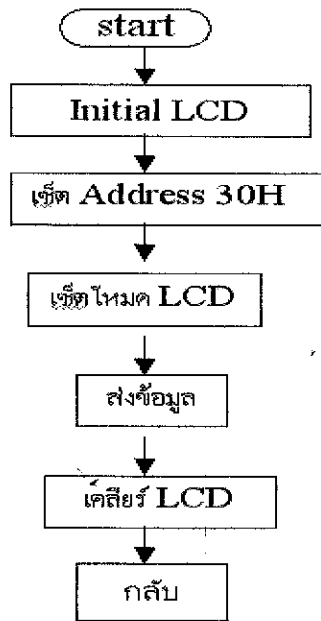
1) Subroutine ส่งข้อมูล



รูปที่ 5.4 Flow Chart ของ Subroutine ส่งข้อมูล

หลักการส่งข้อมูลด้วย RF-433MHz คือการส่งข้อมูลที่เป็น Sync byte (0AAH=170) ซึ่งเป็นข้อมูลบิต “1” สลับกับบิต “0” ออกไปก่อนจำนวนหนึ่งในที่นี้ให้จำนวน 50 จำนวน เมื่อเราต้องการที่จะส่งข้อมูลที่ต้องการก็จะต้องส่ง STH (start of header) มีค่าเท่ากับ 01H=1 หลังจากนั้นตามด้วยข้อมูลที่เราต้องการที่จะส่งออกไปแล้วกลับไปทำในฟังก์ชันการทำงานหลักตามปกติ

2) subroutine แสดงผลที่LCD

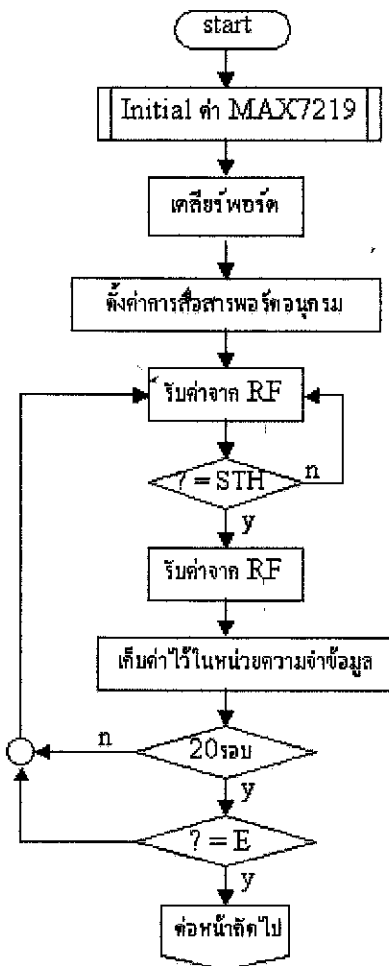


รูปที่ 5.5 Flow Chart ของ subroutine แสดงผลที่LCD

ทำการเซ็ตค่าเริ่มต้นของจอแสดงผล LCD ตามด้วยการเซ็ตแอดเดรส 30H หมายความว่าใช้ LCD บรรทัดแรก แต่ถ้าหากว่าเซ็ตเป็น 40H จะหมายความว่าเป็นการแสดงผลที่จอแสดงผล LCD บรรทัดที่ 2 ส่งข้อมูลไปแสดงผลที่จอแสดงผล LCD ข้อมูลที่ใช้จะต้องเป็นรหัสแอสกีเท่านั้น ก่อนจะส่งข้อมูลได้จะต้องเซ็ต ไหมค LCD ก่อนเพื่อให้ทราบว่าข้อมูลที่ส่งไปให้นั้นเป็นข้อมูลที่จะให้ปรากฏบนจอแสดงผล LCD หรือเป็นคำสั่งการทำงานของจอแสดงผล LCD และจะต้องมีการเคลียร์ค่า LCD ด้วยเสมอ

5.2.2 การทำงานของบอร์ดแสดงผล

1) ส่วนรับข้อมูล

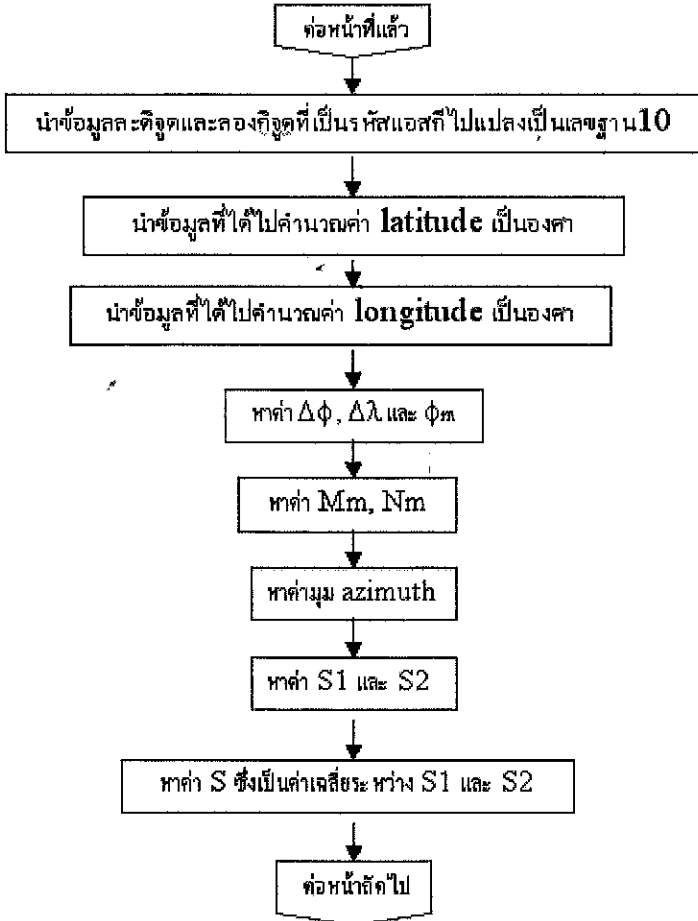


รูปที่ 5.6 Flow Chart ของการทำงานของบอร์ดแสดงผลส่วนรับข้อมูล

บอร์ดแสดงผลจะเริ่มทำงานที่ส่วนรับข้อมูลในลักษณะที่ยังไม่มีสัญญาณใดๆ เข้ามาดังนั้นจึงต้องทำการเคลียร์พอร์ตทุกๆ พอร์ต และทำการ **Initial ค่า MAX7219** ด้วยการเรียก subroutine **Initial ค่า MAX7219** หลังจากนั้นก็ทำการตั้งค่าการตั้งค่าการเรื่องสารพอตอ่อนุกรุมให้มีอัตราบดเท่ากับผังที่ส่งมาและทางด้านผังส่งนั้นจะใช้อัตราบดที่ส่งมากือ 4800 ดังนั้นทางด้านผังที่รับข้อมูลจะต้องเซ็ตค่าให้เป็น 4800 ด้วย บอร์ดแสดงผลนี้จะรอรับค่าผ่านเครื่องรับเข้ามาแล้วตรวจหาค่า **STH** ถ้าหากว่าเจอกับค่า **STH** เล็กๆ ให้รับข้อมูลรหัสເສດຖະກິບເຂົ້າມາອີກหนึ่งตัวซึ่งเป็นข้อมูลที่ผู้ส่งต้องการส่งได้ส่งเข้ามาจะต้องได้ข้อมูลครบ 20 ตัว

ซึ่งประกอบไปด้วยข้อมูลของละติจูด 9 ตัว ข้อมูลของลองติจูด 10 ตัว ข้อมูลของหมายเลขอวนรถ ไฟ 1 ตัว แล้วก็ทำการเก็บค่าข้อมูลทั้ง 20 ตัวนั้นลงในหน่วยความจำข้อมูล นำข้อมูลตัวที่ 20 นั้นไปตรวจสอบค่าว่า เป็นอักขระ E หรือไม่ถ้าใช้อักขระ E แสดงว่าสามารถรับข้อมูลได้ถูกต้องสมบูรณ์และจะนำข้อมูลที่ได้ไปประมวลผลต่อไป แต่ถ้าหากไม่ได้ตัวอักขระ E ก็ให้กลับไปเริ่มต้นใหม่

2) ส่วนประมวลผล

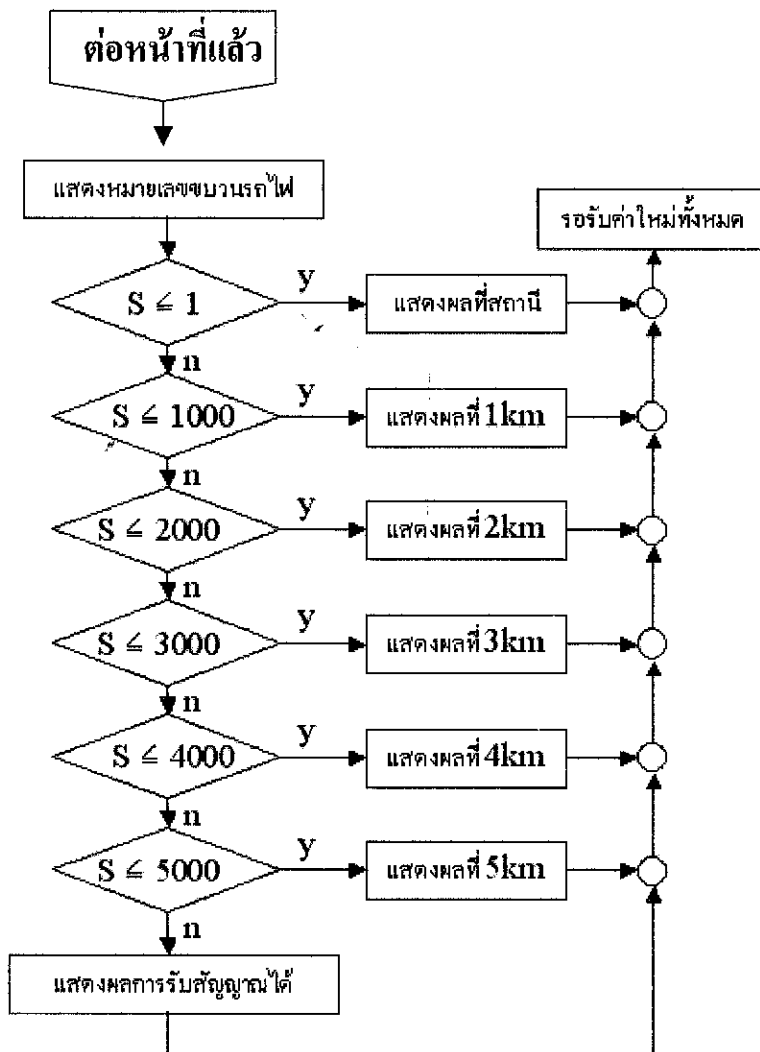


รูปที่ 5.7 Flow Chart ของการทำงานของบอร์ดแลดองผลส่วนประมวลผล

เมื่อเราได้ข้อมูลที่ครบถ้วนสมบูรณ์แล้วก็นำข้อมูลที่ได้นั้นไปแปลงเป็นเลขฐานสิบเพื่อใช้ในการคำนวณค่าละติจูดและลองติจูดเป็นองศาโดยใช้มาตราส่วนของภูมิศาสตร์โลก หลังจากนั้นก็ทำการหาค่าพารามิเตอร์ต่างๆ คือ $\Delta\phi$, $\Delta\lambda$ และ ϕ_m โดยการนำค่าสถานีที่เราทราบค่าเด็กมาคำนวณ เมื่อเราได้ค่า ϕ_m แล้วเราจะนำไปหาค่า M_m และ N_m ต่อ หาค่า azimuth นำไปหาค่า S_1 และ S_2 สุดท้ายก็หาค่าเฉลี่ยระหว่าง

S1 และ S2 จะได้ค่าของระยะทางที่ห่างกันระหว่างรถไฟและสถานีอุบമาส่งข้อมูลที่ได้นี้ไปยังส่วนแสดงผลต่อไป

3) ส่วนแสดงผล

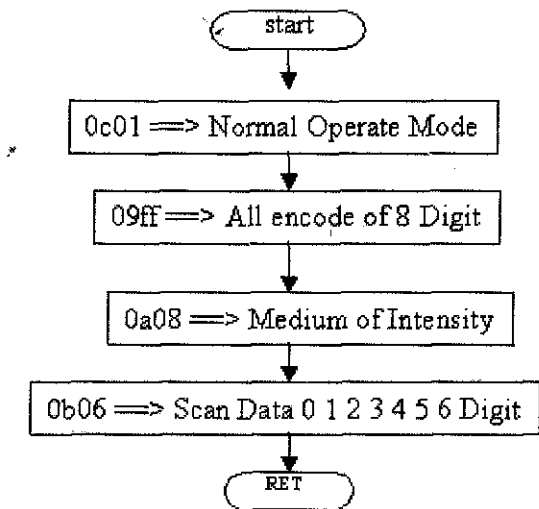


รูปที่ 5.8 Flow Chart ของการทำงานของบอร์ดแสดงผลส่วนรับข้อมูล

ส่วนแสดงผลจะมีหลักการทำงานดังรูปที่ 5.8 คือการเลือกช่วงของการแสดงผลถ้าค่าระยะทางที่ได้มามากกว่า 1 เมตรเราจะถือว่าเป็นสถานีหลอดไฟแทนสถานีก็จะติดสว่างขึ้น เมื่อระยะทางที่ได้มามากกว่า 1 กิโลเมตรเราจะถือว่าเป็นช่วง 1 กิโลเมตรและหลอดไฟแทน 1 กิโลเมตรก็จะติดสว่างขึ้น เมื่อระยะทาง

ที่ได้มีค่าต่ำกว่า2กิโลเมตรเราจะถือว่าเป็นช่วง2กิโลเมตรและหลอดไฟแทน2กิโลเมตรก็จะติดสว่างขึ้น เมื่อระยะเวลาที่ได้มีค่าต่ำกว่า3กิโลเมตรเราจะถือว่าเป็นช่วง1กิโลเมตรและหลอดไฟแทน3กิโลเมตรก็จะติดสว่างขึ้น เมื่อระยะเวลาที่ได้มีค่าต่ำกว่า4กิโลเมตรเราจะถือว่าเป็นช่วง1กิโลเมตรและหลอดไฟแทน4 กิโลเมตรก็จะติดสว่างขึ้น เมื่อระยะเวลาที่ได้มีค่าต่ำกว่ารักษาความสะอาดถือว่าเป็นช่วง1กิโลเมตรและ หลอดไฟแทนรักษาความสะอาดก็จะติดสว่างขึ้น เมื่อระยะเวลาที่ได้มีค่านากกว่ารักษาความสะอาดถือว่ามัน สามารถรับสัญญาณได้ เพราะมีข้อมูลเข้ามากรอบด้านบนแต่มีค่าเกินระยะที่กำหนดดังนั้นเราจึงให้หลอดไฟ ที่แสดงผลการรับสัญญาณได้ติดสว่างขึ้น

subroutine InitialMax7219



รูปที่ 5.9 Flow Chart ของ subroutine InitialMax7219

การกำหนดค่าให้กับ MAX7219 เป็นการกำหนดการทำงานให้กับ 7segment แบบเป็นชุด โดยกำหนดค่าแอดเดรสเป็นเลขฐาน 16 การกำหนดแอดเดรส 0c01 จะเป็น Normal Operate Mode เป็นการกำหนดให้ 7segment ทำงาน ถ้าหากว่ากำหนดให้เป็น 0c00 คือ shut down mode เป็นการกำหนดให้ 7segment ไม่ทำงาน การกำหนดแอดเดรส 09ff เป็นการเลือกการใช้รหัสของหลอดไฟใน 7segment ในที่นี้ใช้การเข้ารหัสคือ 09ff เมื่อเราต้องการให้แสดงหมายเลข 2 เรายังใส่ข้อมูลลงไปเป็นเลข 2 การกำหนดแอดเดรส 0a08 เป็นการเลือกความสว่างของ 7segment ความสว่างขึ้นอยู่กับแอดเดรสตัวสุดท้ายในที่นี้ใช้เลข 8 แสดงว่าให้สว่างครึ่งหนึ่งของค่าสูงสุดเนื่องจากค่าสูงสุดคือ การกำหนดแอดเดรส 0b06 คือการกำหนดจำนวนของ 7segment ในที่นี้ใช้ทั้งหมด 7 ตัว

໭

การทดสอบความแม่นยำของชุดแสดงผลตำแหน่งรถไฟในการเข้าออกสถานี

เนื้อหาในที่นี้จะกล่าวถึง การทดสอบความถูกต้องของสูตรที่ใช้ในการคำนวณ เพื่อจะแสดงให้เห็นว่าโครงงานนี้สามารถนำไปใช้งานจริงได้ จึงต้องมีการทดสอบเพื่อยืนยันผล

6.1 การทดสอบการรับสัญญาณของ GPS

gps - Hyper Terminal

File Edit View Cell Transfer Help

\$GPGLL,1453.7791,N,10200.6409,E,1,02,0.0,201.0,M,,,0000*03,10200.660
\$GPRMC,074824.157,A,1453.7791,N,10200.6409,E,1.29,260.9,140804,,*30T,M,0.0,N,0.
\$GPGLL,1453.7791,N,10200.6409,E,1,02,0.0,201.0,M,,,0000*08
\$GPRMC,074826.157,A,1453.7790,N,10200.6401,E,1.29,260.9,140804,,*3B60804,,*01
\$G
\$GPVTG,260.9,T,M,1.29,N,2.4,K*515.25,40.006,43.01,20.,K*60
\$GPGLL,074827.157,1453.7790,N,10200.6396,E,1,02,0.0,201.0,M,,,0000*0016,73,219,
\$GPVTG,118.7,T,M,0.0,N,0
\$GPGSA,A,1,25.22,.,.,.,.,0.0,0.0,0.0*37PRMC,0741

\$GPRMC,074827.157,A,1453.7790,N,10200.6396,E,1.29,260.9,140804,,*33
\$GPVTG,260.9,T,M,1.29,N,2.4,K*51
\$GPGLL,074828.156,1453.7789,N,10200.6392,E,1,02,0.0,201.0,M,,,0000*02
\$GPRMC,074828.156,A,1453.7789,N,10200.6392,E,1.29,260.9,140804,,*31
\$GPVTG,260.9,T,M,1.29,N,2.4,K*51
\$GPGLL,074829.156,1453.7789,N,10200.6388,E,1,02,0.0,201.0,M,,,0000*08
\$GPRMC,074829.156,A,1453.7789,N,10200.6388,E,1.29,260.9,140804,,*3B
\$GPVTG,260.9,T,M,1.29,N,2.4,K*51
\$GPGLL,074830.156,1453.7796,N,10200.6423,E,1,03,5.7,201.0,M,,,0000*08
\$GPRMC,074830.156,A,1453.7796,N,10200.6423,E,0.0,260.9,140804,,*01
\$GPVTG,260.9,T,M,0.0,N,0.0,K*6D
\$GPGLL,074831.156,1453.7801,N,10200.6444,E,1,03,5.7,200.9,M,,,0000*02
\$GPRMC,074831.156,A,1453.7801,N,10200.6444,E,0.0,260.9,140804,,*00
\$GPVTG,260.9,T,M,0.0,N,0.0,K*6D
\$GPGLL,074832.156,1453.7804,N,10200.6458,E,1,03,5.7,200.9,M,,,0000*09
\$GPGSA,A,2,25,22,06,.,.,.,11.5,5.7,10.0*34
\$GPGSV,2,1,08,16,75,226,,14,39,092,,25,39,009,42,01,22,329,*7E
\$GPGSV,2,2,08,20,22,313,,03,17,183,,22,16,156,30,06,11,064,31*70
\$GPRMC,074832.156,A,1453.7804,N,10200.6458,E,0.0,260.9,140804,,*0B
\$GPVTG,260.9,T,M,0.0,N,0.0,K*6D
\$GPGLL,074833.156,1453.7807,N,10200.6474,E,1,03,5.7,200.8,M,,,0000*04
\$GPRMC,074833.156,A,1453.7807,N,10200.6474,E,0.0,260.9,140804,,*07
\$GPVTG,260.9,T,M,0.0,N,0.0,K*6D

รูปที่6.1 ลักษณะข้อมูลเมื่อเครื่องรับสัญญาณGPSรับสัญญาณได้

ลักษณะข้อมูลของGPSที่ได้จากโปรแกรมHyper Terminal โดยการต่อผ่านพอร์ตอนุกรมDB9เมื่อเครื่องรับสัญญาณGPSสามารถรับสัญญาณได้จะมีลักษณะดังรูปที่6.1

รูปที่ 6.2 ลักษณะข้อมูลเมื่อเครื่องรับสัญญาณ GPS รับสัญญาณไม่ได้

ลักษณะข้อมูลของGPSที่ได้จากโปรแกรมHyper Terminal โดยการต่อผ่านพอร์ตอนุกรมDB9เมื่อเครื่องรับสัญญาณGPSสามารถรับสัญญาณไม่ได้จะมีลักษณะดังรูปที่ 6.2 ซึ่งจะมีข้อมูลสำคัญๆ เช่น อะติจุด ลองติจุด ระดับน้ำทะเลมาตราฐาน เป็นเลข 0

6.2 การจำลองการทำงาน (Simulation)

เนื่องจากข้อจำกัดการรับสัญญาณของเครื่องรับ GPS ที่ต้องทำงานในที่โล่ง จึงทำให้การทดสอบการทำงานของบอร์ดแสดงผลเป็นไปได้ยาก ดังนั้นจึงต้องทำการสมมติจำแนงขึ้นที่ตัววัดตำแหน่งแล้วทำการโปรแกรมเข้าไปที่ Microcontroller ซึ่งค่าที่สมมติขึ้นนี้มีลักษณะเช่นเดียวกับค่าที่ดึงมาจากเครื่องรับ GPS จากนั้นก็ทำการทดสอบตามปกติ

6.3 การเก็บข้อมูลหาค่าความแม่นยำ

- 1) กำหนดค่าจุดที่เป็นสถานีขึ้นมาบนชั้นงูด จากนั้นกำหนดค่าจุดที่เป็นระยะทาง 5 จุด โดยที่

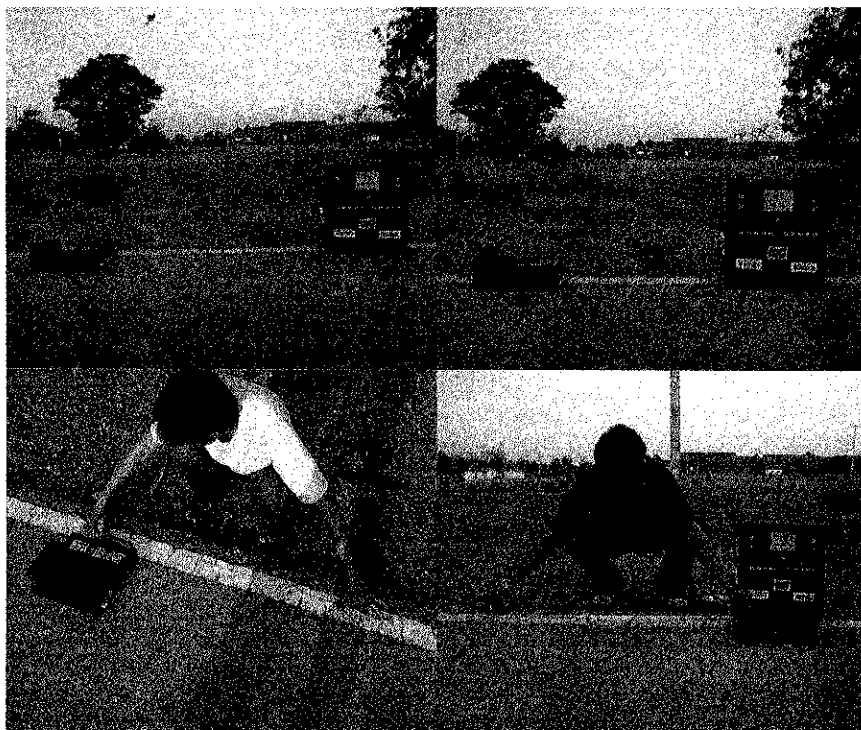
แต่ละจุดมีระยะห่างเท่ากัน ในการทดสอบนี้ กำหนดให้มีระยะทางห่างกันจุดละ 30 เมตร

- 2) บันทึกค่าจุด และลองคิจของจุดที่กำหนดให้เป็นสถานี
- 3) ทำการโปรแกรมค่าที่บันทึกได้ลงในไมโครคอนโทรลเลอร์
- 4) ทำการเดินในเส้นทางที่ได้กำหนดไว้
- 5) สังเกตจุดที่ทำให้หลอด LED เปลี่ยนแปลง แล้ววัดระยะที่เก็บไว้

ระยะเวลาในการเก็บข้อมูลรวมทั้งสิ้น 4 วัน คือตั้งแต่วันที่ 9 ธ.ค.ถึง 12 ธ.ค.2547 วันละ 2 ครั้ง อุปกรณ์วัดระยะทาง : ตลับเมตร STANLEY รุ่น DRAGON 34-233 ความยาว 30เมตร/100ฟุต
สถานที่เก็บข้อมูล : ถนนเทคโนโลยี 3 มหาวิทยาลัยเทคโนโลยีสุรนารี ต.สุรนารี อ.เมือง

จ.นครราชสีมา

6.4 วิธีการหาค่าความผิดพลาด



รูปที่ 6.3 วิธีการหาค่าความผิดพลาด

จากรูปที่ 6.3 เป็นตัวอย่างการหาค่าความผิดพลาดโดยในรูปจะเห็นว่าระยะที่หลอดไฟดวง 1 ติดนั้นเมื่อเรายับชุดตรวจวัดตำแหน่งไปจะทำให้หลอดไฟดวง 2 ดับແ tü แสดงให้เห็นว่าจุดนั้นเป็นจุดที่

เป็นจุดที่เปลี่ยนค่าแล้วเราเก็บทำการวัดว่าจุดนี้อยู่ห่างจากจุดที่เรากำหนดเป็นระยะห่างเท่าไหร่ซึ่งก็คือค่าความผิดพลาดนั้นของ

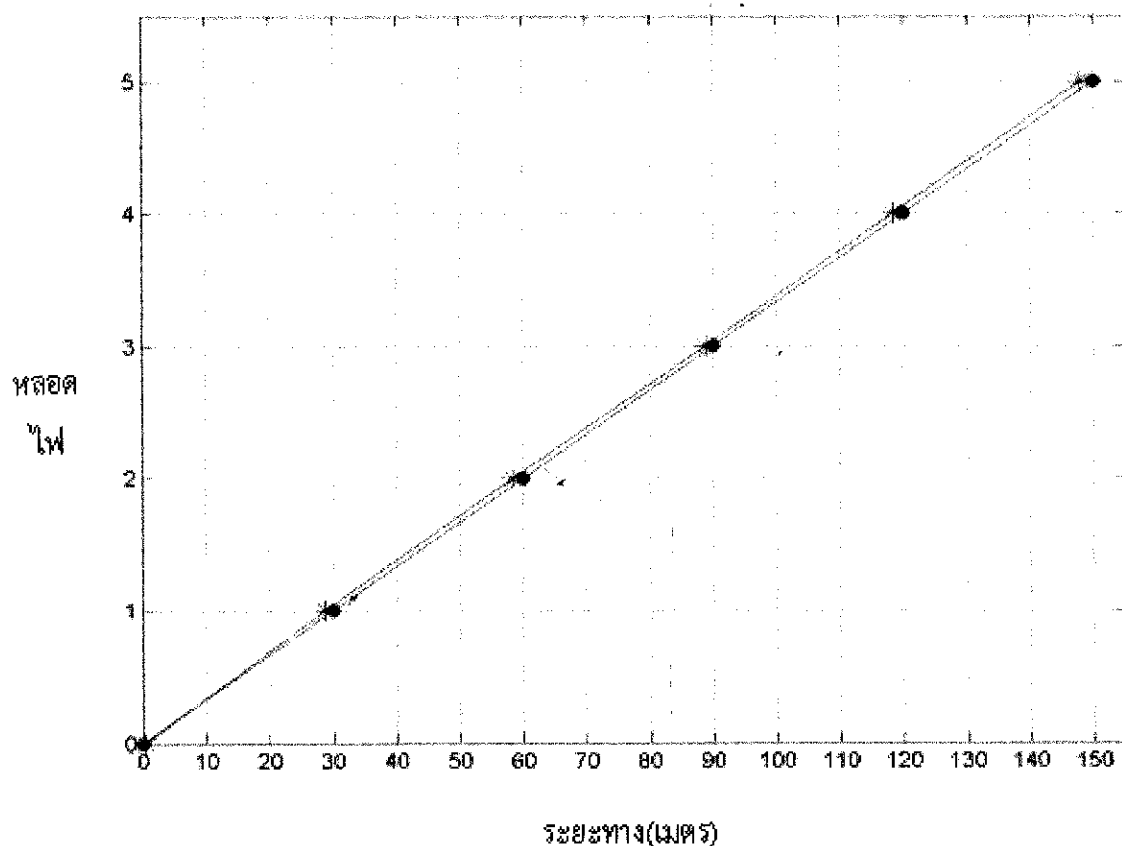
6.5 การประมวลผลหาค่าความแม่นยำ

- 1) นำผลที่ได้จากการเก็บข้อมูลมาหาค่าเฉลี่ย
- 2) พล็อตกราฟผลการทดลองที่比べกับระยะทางจริง
- 3) พล็อตกราฟค่าความผิดพลาดที่เกิดขึ้น
- 4) วิเคราะห์ผลการทดลอง

* หมายเหตุ เมื่อongจากข้อจำกัดของอุปกรณ์รับส่งสัญญาณที่สามารถส่งสัญญาณได้ไม่ถึง 5 กิโลเมตร โดยมีค่าการรับส่งสัญญาณได้สูงที่สุดเพียง 200 เมตรเท่านั้น จึงได้ทำการจำลองค่าในอัตราส่วน 30 เมตร: 1 กิโลเมตร แทน

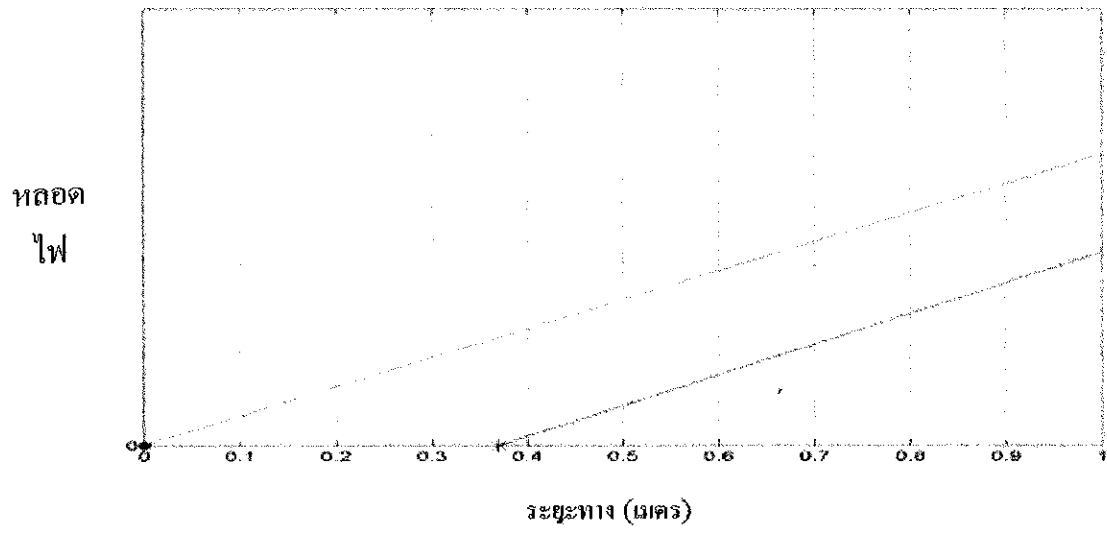
วันที่	ครั้งที่	LED ดวงที่ 5	LED ดวงที่ 4	LED ดวงที่ 3	LED ดวงที่ 2	LED ดวงที่ 1	LED สถานี
9 ต.ค.47	1	150	118.6	87.6	56.6	26.5	0.33
	2	146.6	119.2	88.2	58.6	26.5	0.32
10 ต.ค.47	1	149.1	119.1	89.6	58.45	29	0.36
	2	147.9	118.3	89.6	57.7	30.5	0.42
11 ต.ค.47	1	146.8	118.3	90	59.3	29.1	0.41
	2	147.7	118.6	90	59.7	30	0.345
12 ต.ค.47	1	148.7	118.5	88.8	59.25	30	0.38
	2	147.3	117.3	87.3	57.4	29.05	0.395
รวมเฉลี่ย		148.0125	118.4875	88.8875	58.375	28.83125	0.37

ตารางที่ 6.1 ตารางผลการทดลองการทดสอบความแม่นยำของชุดแสดงผลตำแหน่งรถไฟในการเข้าออกสถานี



รูปที่ 6.4 กราฟเปรียบเทียบค่าจริงกับค่าที่วัดได้

จากวงกลมสีแดงแทนค่าจริง และจุดดอกรั้งที่สีน้ำเงินแทนจุดค่าที่วัด ได้จากอุปกรณ์ จะเห็นได้ว่าค่าจริงกับค่าที่เราวัดได้นั้นมีความใกล้เคียงกันมาก ดังนั้นจึงได้ขยายกราฟนี้ไว้ในรูปที่ 6.5-รูปที่ 6.10

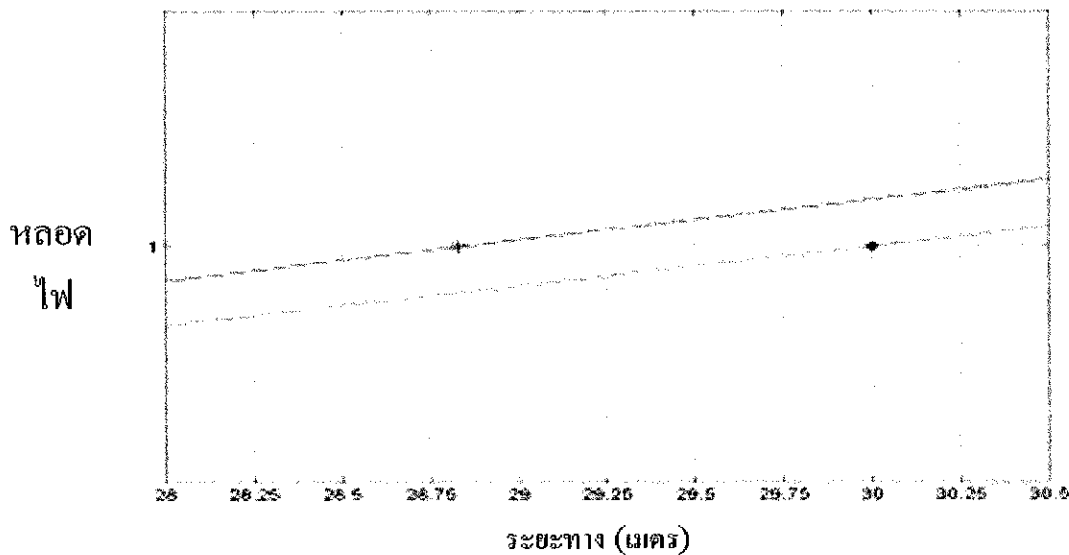


รูปที่ 6.4 กราฟเปรียบเทียบค่าจังริงกับค่าที่วัดได้ ณ. ตำแหน่งหลอดไฟสถานี

LED สถานี

ค่าจังริง : 0 เมตร ค่าที่วัดได้เฉลี่ย : 0.37 เมตร

ค่าความผิดพลาด : $0 - 0.37 = -0.37$ เมตร

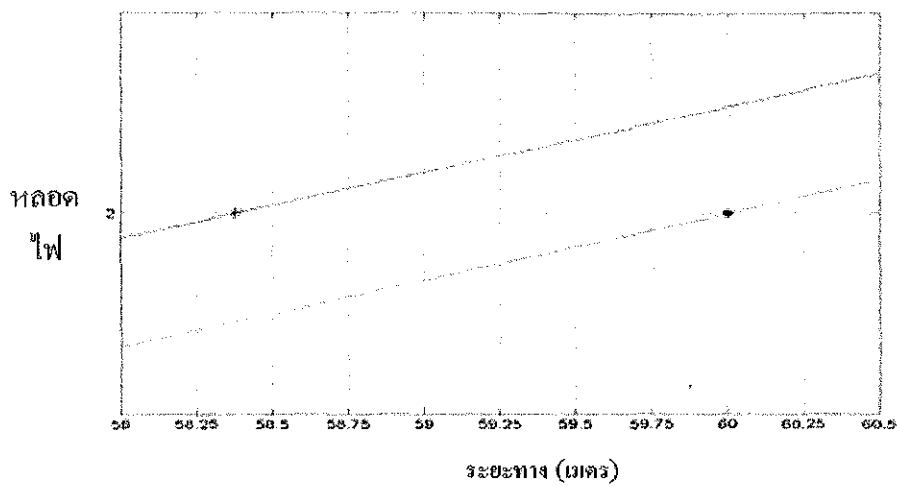


รูปที่ 6.5 กราฟเปรียบเทียบค่าจังริงกับค่าที่วัดได้ ณ. ตำแหน่งหลอดไฟดวงที่ 1

LED ดวงที่ 1 (30 เมตร)

ค่าจังริง : 30 เมตร ค่าที่วัดได้เฉลี่ย : 28.83125 เมตร

ค่าความผิดพลาด : $30 - 28.83125 = 1.16875$ เมตร

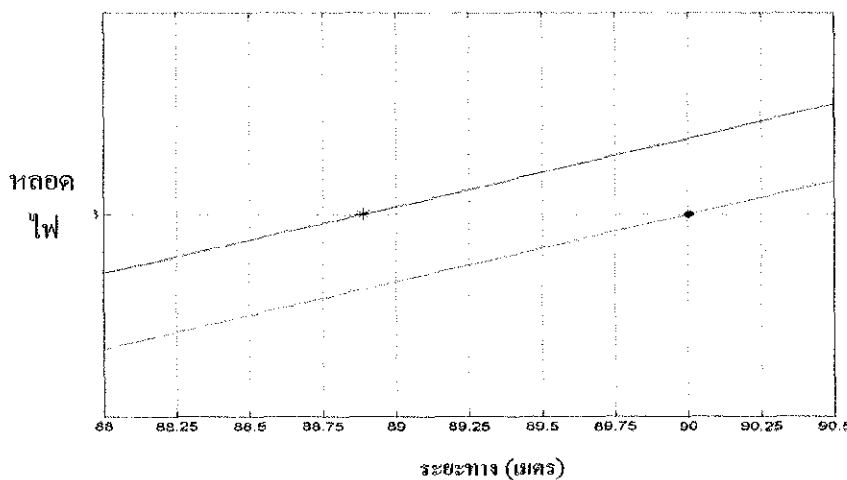


รูปที่ 6.6 กราฟเปรียบเทียบค่าจริงกับค่าที่วัดได้ ณ. ตำแหน่งหลอดไฟดวงที่ 2

LED ดวงที่ 2 (60 เมตร)

ค่าจริง : 60 เมตร ค่าที่วัดได้เฉลี่ย : 58.375 เมตร

ค่าความผิดพลาด : $60 - 58.375 = 1.625$ เมตร

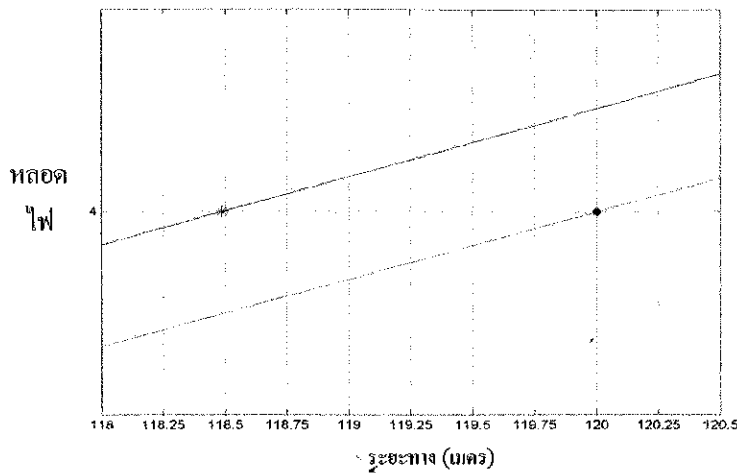


รูปที่ 6.7 กราฟเปรียบเทียบค่าจริงกับค่าที่วัดได้ ณ. ตำแหน่งหลอดไฟดวงที่ 3

LED ดวงที่ 3 (90 เมตร)

ค่าจริง : 90 เมตร ค่าที่วัดได้เฉลี่ย : 88.8875 เมตร

ค่าความผิดพลาด : $90 - 88.8875 = 1.1125$ เมตร

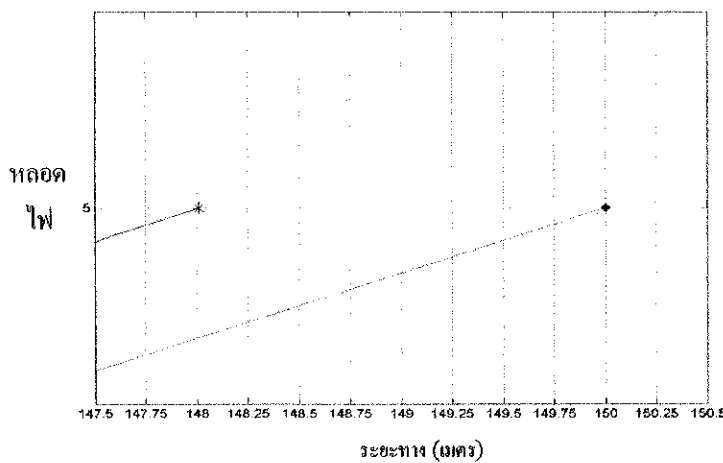


รูปที่ 6.8 กราฟเปรียบเทียบค่าจริงกับค่าที่วัดได้ ณ. ตำแหน่งหลอดไฟดวงที่ 4

LED ดวงที่ 4 (120 เมตร)

ค่าจริง : 120 เมตร ค่าที่วัดได้เฉลี่ย : 118.4875 เมตร

ค่าความผิดพลาด : $120 - 118.4875 = 1.5125$ เมตร



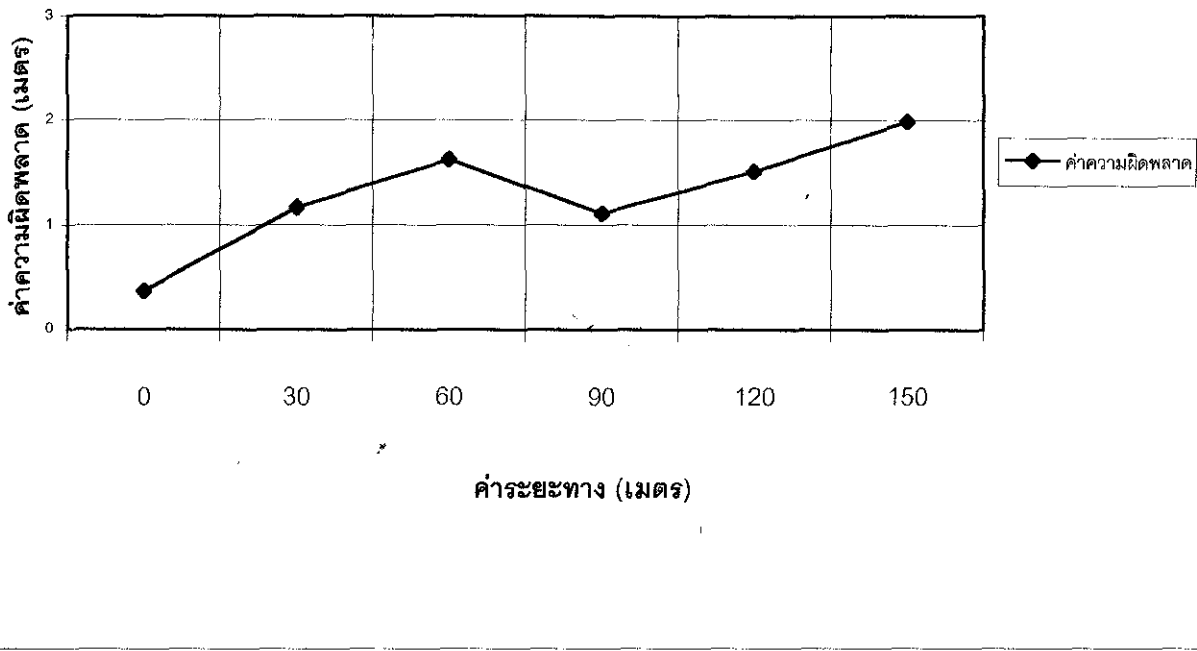
รูปที่ 6.9 กราฟเปรียบเทียบค่าจริงกับค่าที่วัดได้ ณ. ตำแหน่งหลอดไฟดวงที่ 5

LED ดวงที่ 5 (150 เมตร)

ค่าจริง : 150 เมตร ค่าที่วัดได้เฉลี่ย : 148.0125 เมตร

ค่าความผิดพลาด : $150 - 148.0125 = 1.9875$ เมตร

กราฟแสดงความสัมพันธ์ระหว่างค่าความผิดพลาดกับระยะทาง



รูปที่ 6.10 กราฟแสดงความสัมพันธ์ระหว่างค่าความผิดพลาดกับระยะทาง

ค่าความผิดพลาดที่เกิดขึ้นนี้มีแนวโน้มที่สูงขึ้นแต่จะมีค่าความผิดพลาดเพิ่มขึ้นอย่างช้าๆ ซึ่งเป็นไปตามทฤษฎีของ Gauss Mid Latitude for Short line แต่ข้อผิดพลาดที่เห็นนี้ยังเกิดขึ้นด้วยสาเหตุอื่นๆ อีกดังนั้นในบางครั้งก็อาจจะมีข้อผิดพลาดที่ถูกต้องได้ เช่น ในช่วง 90 เมตร จะเห็นได้ว่า มีค่าความผิดพลาดที่น้อยกว่าช่วง 60 เมตร

6.6 วิเคราะห์ผลการทดลอง

จากการทดลองจะเห็นได้ว่า ค่าที่วัดได้มีความใกล้เคียงกับค่าจริงมาก ซึ่งแสดงว่า สูตรของ Gauss Mid Latitude Formula for short line ที่นำมาใช้งานได้จริง คำนวณมีความถูกต้องและแม่นยำสูง ซึ่งมีค่าความแม่นยำอยู่ในช่วงที่น่าพอใจ แต่ก็จะเห็นว่ายังมีความผิดพลาดเกิดขึ้นทั้งนี้เนื่องจากปัญหาหลักๆ คือ โปรแกรมที่คำนวณค่าทศนิยม (floating point) มีการรองรับจุดทศนิยมได้อย่างจำกัดเนื่องจากข้อมูลชนิด floating point มีขนาดใหญ่มากจึงเป็นผลทำให้การคำนวณไม่ได้เท่ากับค่าจริง และอีกปัญหานึงก็คือข้อมูลที่รับได้จาก GPS มีค่าไม่คงที่ตลอดเวลา ถึงแม้ว่า GPS นั้นจะไม่เคลื่อนที่ ณ. จุดที่เป็นสถานีกีตาน้ำหนักที่ทำให้ข้อมูลของ GPS นี้ไม่คงที่ โดยมีค่าแก่วงที่ตัวแทนวิลลิตาทำให้ค่าที่ได้คลาดเคลื่อนจากค่า

จริงดังการทดลอง ก็คือค่าความคลาดเคลื่อนที่เกิดจากการเดินทางของคลื่นวิทยุนาฬิกาโลกซึ่งต้องเดินทางผ่านชั้นบรรยากาศที่มีประจุไฟฟ้าอยู่ชั้น Ionosphere อาจจะทำให้คลื่นจากดาวเทียมบางดวงเกิดการเปลี่ยนแปลงไปได้ การสะท้อนของคลื่นสัญญาณไปในหลายทิศทาง (Multipath) ซึ่งที่ผิวโลกคลื่นสัญญาณต้องกระบวนการกับวัตถุต่างๆ เช่น ตึกสูง เสาไฟฟ้า ก่อนถึงเครื่องรับ GPS จึงทำให้มีการหักเหหรือเกิดการล่าช้า(delay)ของสัญญาณ ได้ช่วงเวลาที่สัญญาณใช้ในการเดินทางมีผลเป็นอย่างมากในการระบุตำแหน่งที่ถูกต้อง เที่ยงตรงและแม่นยำของเครื่องรับสัญญาณGPS

บทที่ 7 บทสรุป

7.1 ข้อสรุปงานที่สามารถพัฒนาขึ้นจากโครงงาน

1. ทำการสร้างชุดแสดงผลพิกัดภูมิศาสตร์ด้วยจอแสดงผลLCD และซ่อนต่อกับไมโครคอนโทรลเลอร์เพื่อคงข้อมูลจากเครื่องรับสัญญาณGPSมาแสดงผลบนจอแสดงผลLCD
2. ทำการเชื่อมต่อGPSกับพอร์ต seriアル Port เพื่อให้ชุดตรวจสอบตำแหน่งสามารถแสดงข้อมูลของGPSที่รับได้บนคอมพิวเตอร์
3. ทำการออกแบบ สร้าง และทดสอบบอร์ดแสดงผลตำแหน่งรถไฟในการเข้าออกสถานีโดยทดสอบได้โดยเปลี่ยนเส้น(LED)ใช้แสดงผลตำแหน่งของรถไฟ และทดสอบได้โดยเปลี่ยนเส้น 7 ส่วน(7-segment) ใช้แสดงผลหมายเลขบ้านรถไฟ 3 หลัก
4. ทำการอนุญาตสัญญาณวิทยุด้วยเครื่องส่งส่างแบบFM โดยใช้ไมโครคอนโทรลเลอร์เป็นตัวควบคุมการติดต่อสื่อสารระหว่างชุดตรวจสอบตำแหน่งและบอร์ดแสดงผล
5. ชุดตรวจสอบตำแหน่ง สามารถควบคุมการทำงานโดยใช้การโปรแกรมภาษาแอ๊สเมบลีลงในไมโครคอนโทรลเลอร์เพื่อควบคุมการดึงข้อมูลตำแหน่งพิกัดภูมิศาสตร์จากGPSนำมาแสดงผลแล้ววิ่งอยู่แสดงสัญญาณข้อมูลของพิกัดตำแหน่งไปให้บังบอร์ดแสดงผล
6. บอร์ดแสดงผล สามารถควบคุมการทำงานโดยใช้การโปรแกรมภาษาซีลงในไมโครคอนโทรลเลอร์เพื่อควบคุมการรับข้อมูล ตรวจสอบความถูกต้องของข้อมูลด้วยการตรวจสอบรวม(Check sum) ประเมินผลข้อมูลของพิกัดตำแหน่งที่ได้รับมาให้เป็นระบบที่ห่างกันเพื่อตัดสินใจ และแสดงผลตำแหน่งที่อยู่ห่างกันบนบอร์ดแสดงผล
7. ทำการทดสอบ ทดสอบความแม่นยำและความผิดพลาดในการระบุตำแหน่งของอุปกรณ์ ซึ่งจากการที่ได้ทำการทดสอบ ทดสอบนานาหลายครั้งแล้วปรากฏว่าระบบทั้งหมดสามารถนำไปใช้งานได้ดี ถึงแม้ว่าจะมีความผิดพลาดอยู่บ้างแต่ก็อยู่ในระดับที่สามารถยอมรับได้

7.2 ปัญหา วิธีแก้ไข และข้อเสนอแนะ

ปัญหา 1. ข้อจำกัดของโปรแกรมภาษา C ที่นำมาใช้ สามารถรองรับการโปรแกรมได้เพียง 4 กิกะไบต์ เนื่องจากชาร์ฟแวร์ Rkit-51 เป็นเพียงรุ่นทดสอบใช้

วิธีแก้ไข ควรที่จะโปรแกรมให้มีความกระชับ ดังนั้นผู้เขียนโปรแกรมควรที่จะมีความชำนาญสูง โดยควรที่ใช้ตัวแปรที่จำเป็นเท่านั้น และควรนำตัวแปรที่ใช้แล้วกลับมาใช้ใหม่

ข้อเสนอแนะ ควรที่จะใช้ซอฟท์แวร์เวอร์ชันที่สมบูรณ์ ซึ่งไม่มีการจำกัดขนาดโปรแกรมที่เขียน

ปัญหา2. ปัญหานี้อ้างจากเครื่องรับ GPS ที่ไม่สามารถรับค่าได้ถูกที่ถึงแม้ว่าจะไม่เคลื่อนที่ก็ตาม
วิธีแก้ไข การหาเครื่องรับ GPS ที่มีความละเอียดในการรับข้อมูลตำแหน่งที่สูงขึ้น

ข้อเสนอแนะ ควรหาเครื่องรับ GPS ที่มีความละเอียดในการรับข้อมูลตำแหน่งที่สูงขึ้น

ปัญหา3. เครื่องรับส่งสัญญาณไม่สามารถรับส่งตามระยะเวลาจังหวะที่ต้องการได้
วิธีแก้ไข ควรคำนวณหาค่ากำลังงานที่เครื่องรับส่งสัญญาณสามารถทำงานได้ในระยะเวลาที่กำหนด
แล้วนำค่าที่ได้มาเลือกใช้อุปกรณ์ให้เหมาะสม

ข้อเสนอแนะ ควรที่จะใช้สายอากาศที่มีค่าสภาพเฉพาะจังทิศทางสูง ซึ่งจะทำให้การสูญเสียกำลัง

งานลดลง

ภาคพนวก ก.
มาตรฐานการวัด

1 ไมล์บก = 1.0693 กิโลเมตร

1 ไมล์ทะเล = 1.85 กิโลเมตร

1 ไมล์ทะเล = 1.15 ไมล์บก

1 ไมล์บก = 0.85 ไมล์ทะเล

1 กิโลเมตร = 0.62 ไมล์บก

1 กิโลเมตร = 0.5 ไมล์ทะเล

12 นิ้ว = 1 ฟุต

* 3 ฟุต = 1 หลา

1760 หลา = 1 ไมล์

1 นิ้ว = 0.025 เมตร

1 ฟุต = 0.305 เมตร

1 หลา = 0.914 เมตร

1 ไมล์ = 1.6093 กิโลเมตร

60 พิลิปดา = 1 ลิปดา

60 ลิปดา = 1 องศา

360 องศา = 1 วงรอบ

ตารางข้อมูลรหัสแอสกี (ascii)

ของตัวอักษร ตัวเลข และสัญลักษณ์พิเศษ

รหัสความคุณ

ฟังก์ชัน	รหัสอักงร	ความหมาย	รหัสแอสกี
Null	NUL	ไม่มีการท่างาน	0
Start of heading	SOH	เริ่มหัวจดหมาย	1
Start of text	STX	เริ่มต้นข้อความ	2
End of text	ETX	สิ้นสุดข้อความ	3
End of xmit	EOT	สิ้นสุดการส่ง	4
Enquiry	ENQ	สอบถาม	5
Acknowledgment	ACK	รับรู้/ตอบสนอง	6
Bell	BEL	กระดิ่ง	7
Backspace	BS	ลบและถอยหลัง	8
Horizontal tab	HT	แท็ปทางแนวนอน	9
Line feed	LF	เลื่อนบรรทัด	10
Vertical tab	VT	แท็ปแนวตั้ง	11
Form feed	FF	เลื่อนหน้า	12
Carriage return	CR	ขึ้นบรรทัดใหม่	13
Shift out	SO	เดือนออก	14
Shift in	SI	เดือนเข้า	15
Data line escape	DLE	ออกจากบรรทัดข้อมูล	16
Device control 1	DC1	รหัสความคุณอุปกรณ์ 1	17
Device control 2	DC2	รหัสความคุณอุปกรณ์ 2	18
Device control 3	DC3	รหัสความคุณอุปกรณ์ 3	19
Device control 4	DC4	รหัสความคุณอุปกรณ์ 4	20
Non Acknowledgement	NAK	ไม่รับรู้/ไม่ตอบสนอง	21
Synchronous idle	SYN	รหัสซิงไครนัล	22

End of xmit block	ETB	สิ้นสุดการบล็อกข้อมูล	23
Cancel	CAN	ยกเลิก	24
End of medium	EM	สิ้นสุดตัวแหน่งถึงกลาง	25
Substitute	SUB	รหัสแทน	26
Escape	ESC	ออกจากการทำงาน	27
File separator	FS	แยกแฟ้มข้อมูล	28
Group separator	GS	แยกกลุ่มข้อมูล	29
Record separator	RS	แยกการบันทึกข้อมูล	30
Unit separator	US	แยกหน่วยของข้อมูล	31

ตัวอักษรและสัญลักษณ์

อักษร	รหัสแออสกี
<space>	32
!	33
“	34
#	35
\$	36
%	37
&	38
‘	39
(40
)	41
*	42
+	43
,	44
-	45
.	46
/	47
0	48
1	49

อักษร	รหัสแออสกี
2	50
3	51
4	52
5	53
6	54
7	55
8	56
9	57
:	58
;	59
<	60
=	61
>	62
?	63
@	64
A	65
B	66
C	67

อักษร	รหัสแซลสกี
D	68
E	69
F	70
G	71
H	72
I	73
J	74
K	75
L	76
M	77
N	78
O	79
P	80
Q	81
R	82
S	83
T	84
U	85
V	86
W	87
X	88
Y	89
Z	90
[91
\	92
]	93
^	94
-	95
*	96
a	97

อักษร	รหัสแซลสกี
b	98
c	99
d	100
e	101
f	102
g	103
h	104
i	105
j	106
k	107
l	108
m	109
n	110
o	111
p	112
q	113
r	114
s	115
t	116
u	117
v	118
w	119
x	120
y	121
z	122
{	123
	124
}	125
~	126
<delete>	127

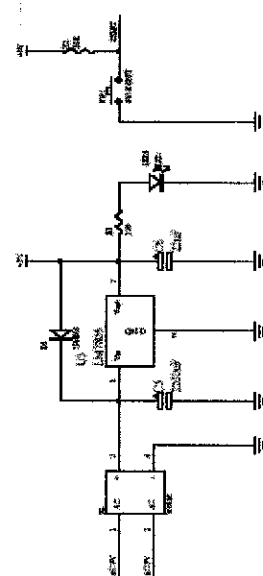
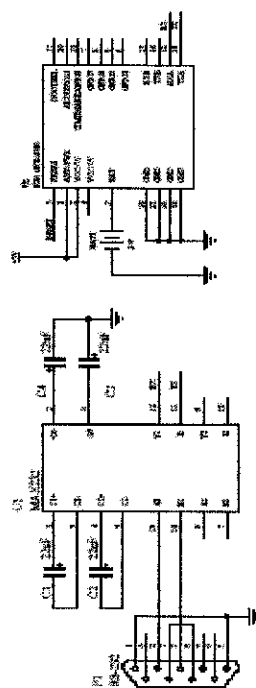
ภาครพนวณ ก.

แผนผังวงจร วงจรรวม และถ่ายทอดริบันท์

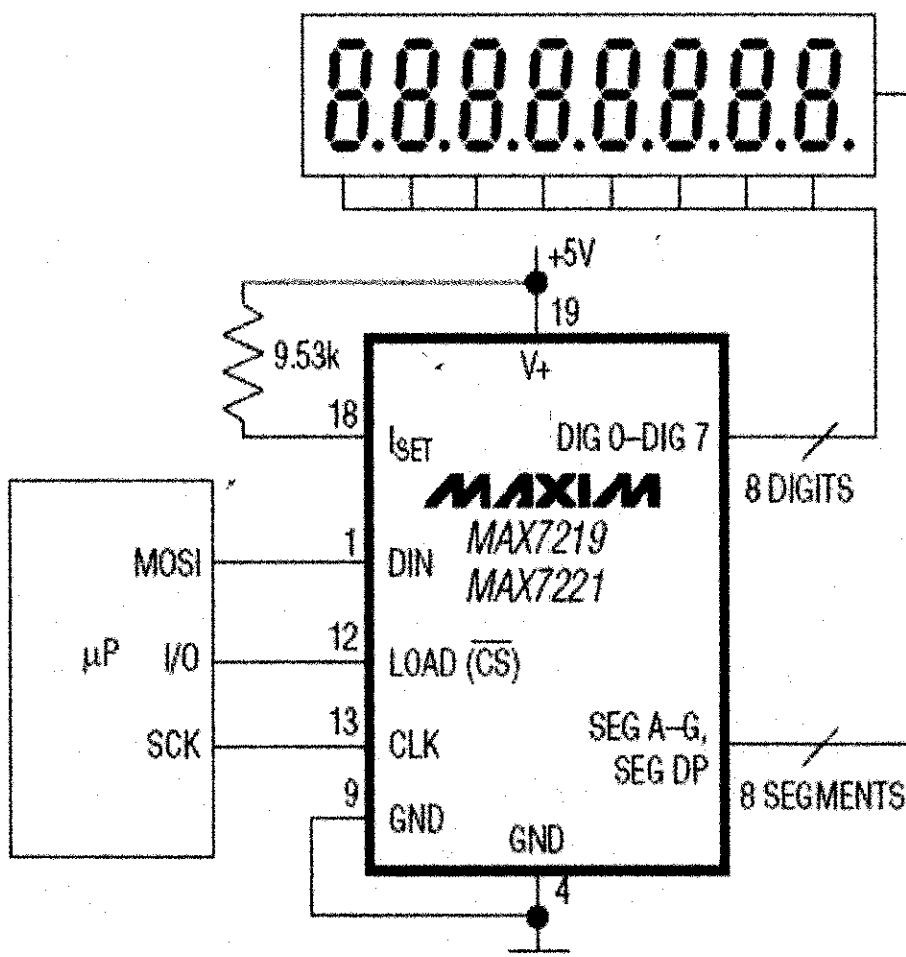
แผนผังวงจร

GPS-MAX232

Connection GPS module



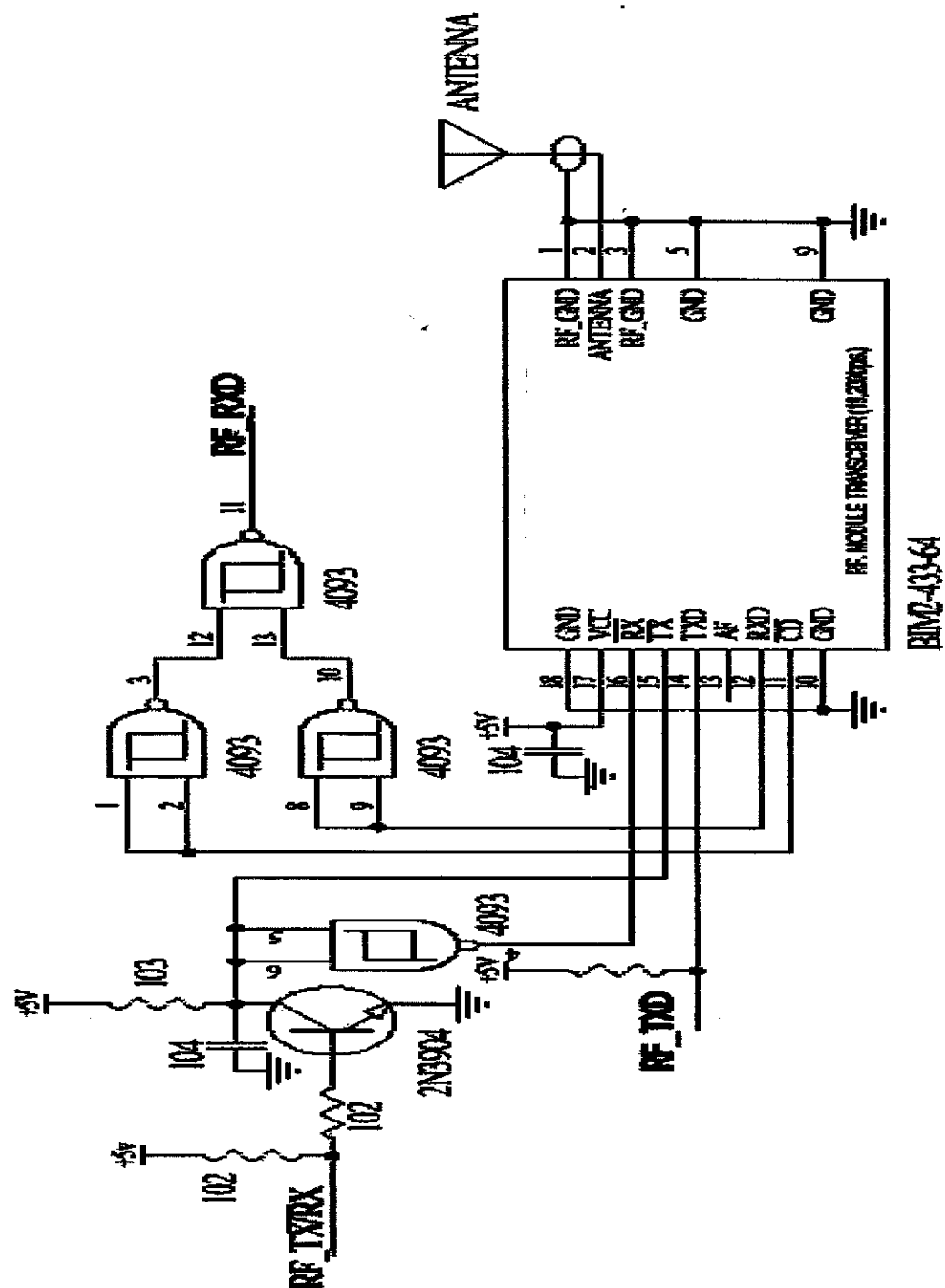
ແພນັ້ງວຽກ
ວຽກຂັ້ນໄດ້ໂອດເປົ່າງແສງ 7 ສ່ວນ



() MAX7221 ONLY

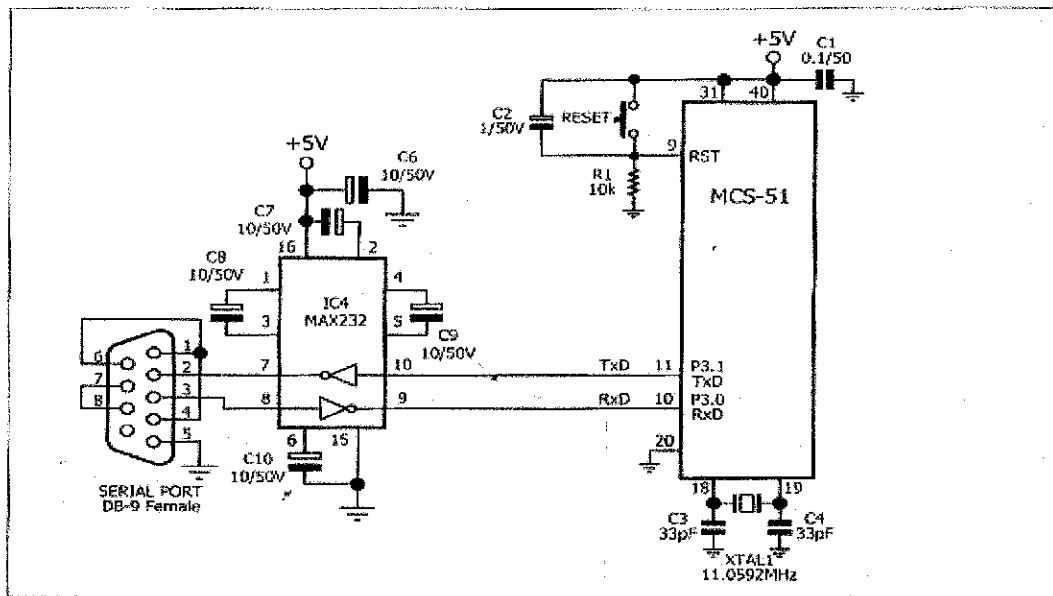
8-DIGIT μ P DISPLAY

แผนผังวงจร
วงจรเครื่องรับ-ส่ง สัญญาณความถี่ 433 MHz



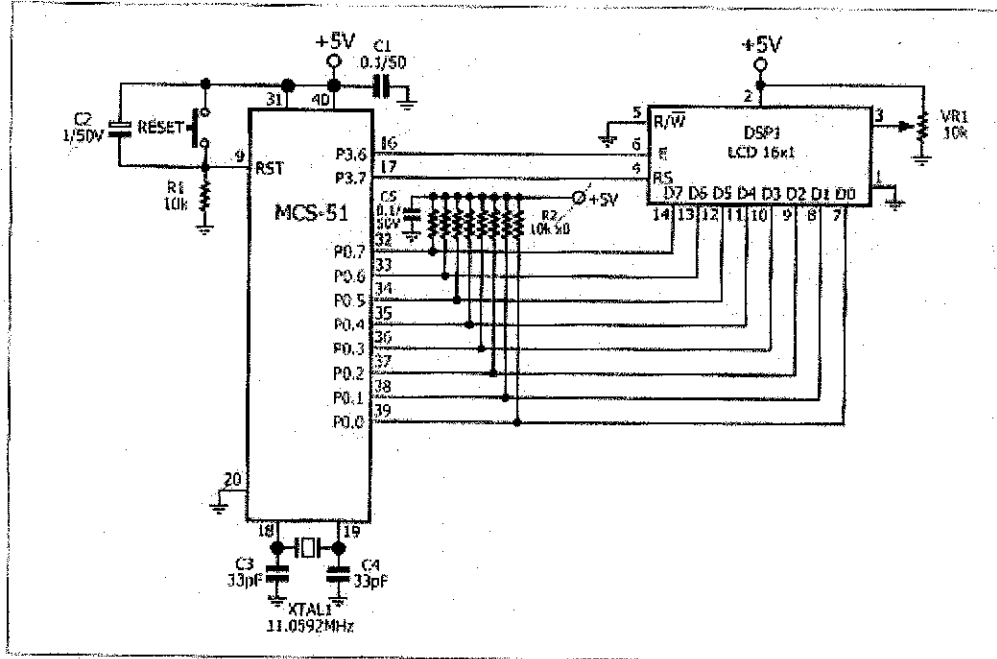
แผนผังวงจร

การเชื่อมต่อไมโครคอนโทรลเลอร์กับพอร์ตอนุกรมด้วย DB9



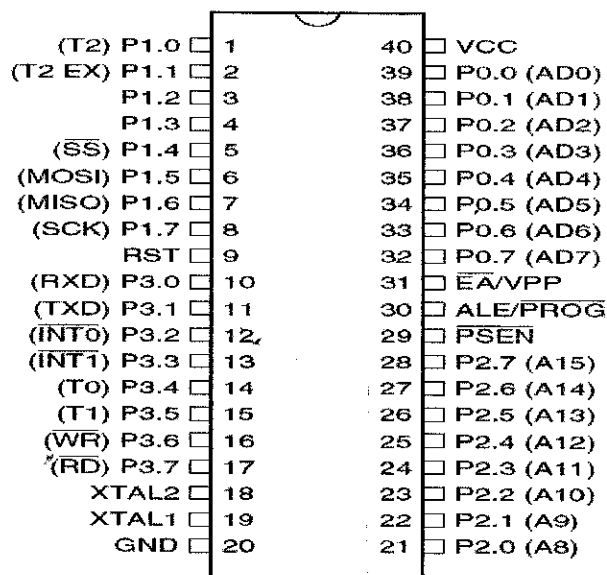
แผนผังวงจร

การเชื่อมต่อไมโครคอนโทรลเลอร์กับ LCD



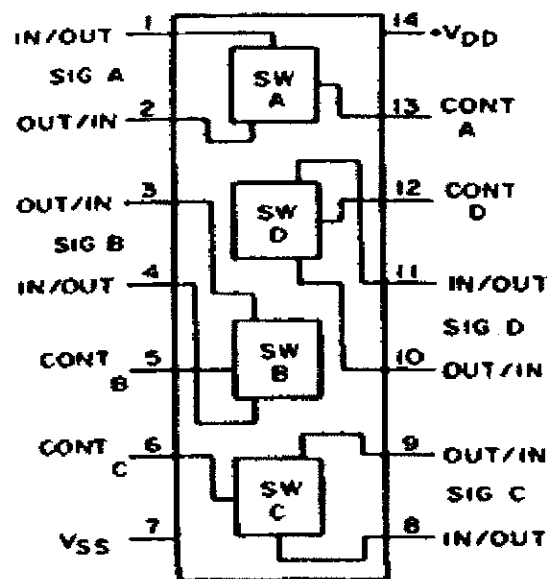
ແພນຝ່າງຈອງຮັມ

MCS-51



ແພນຝ່າງຈອງຮັມ

4066



CD4066B

+5V-Powered, Multichannel RS-232 Drivers/Receivers

MAX220-MAX249

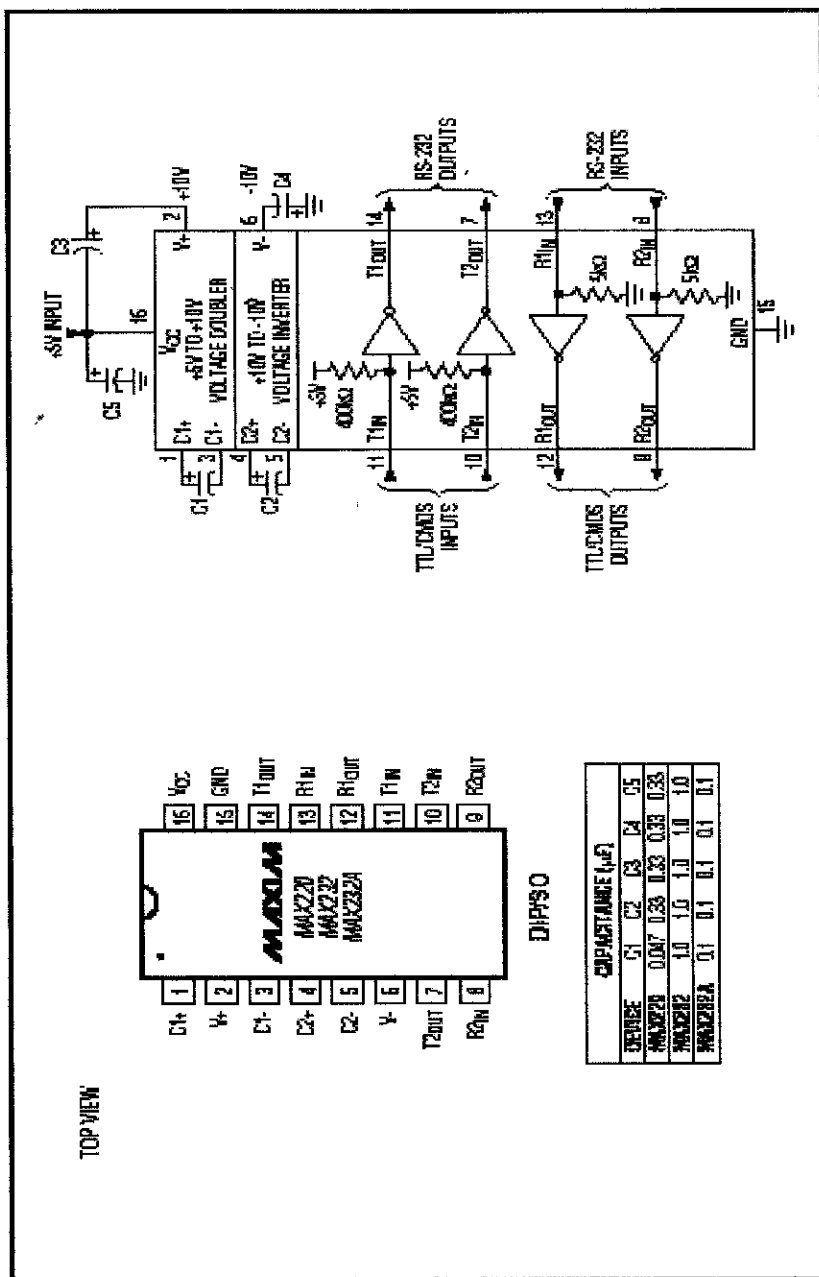
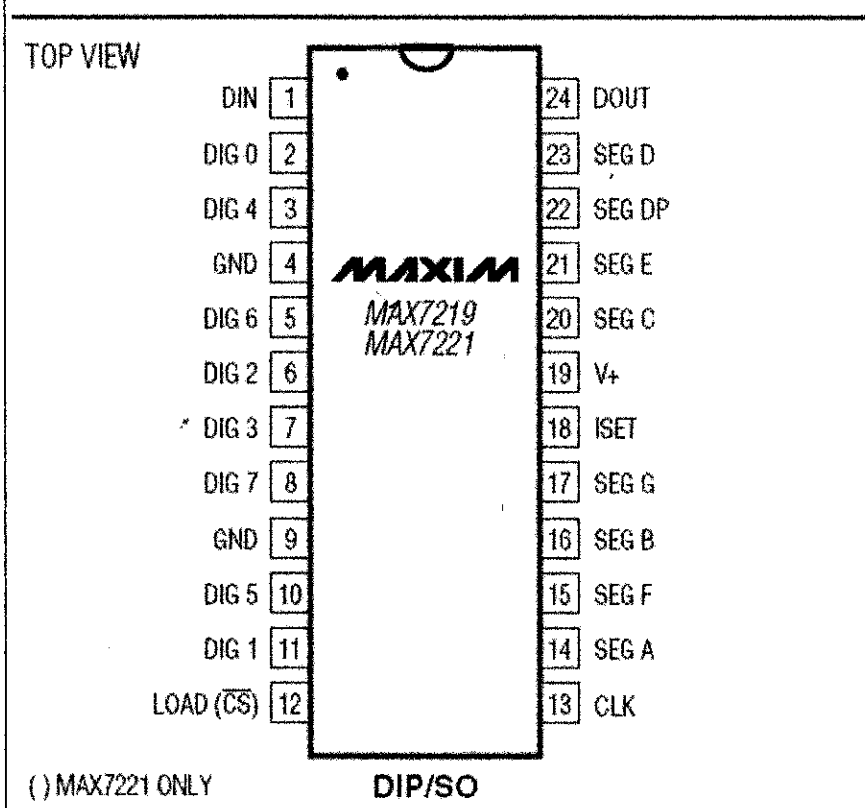


Figure 5. MAX220/MAX222/MAX232A Pin Configuration and Typical Operating Circuit

ແຜນຝ່າງຈຽວມ

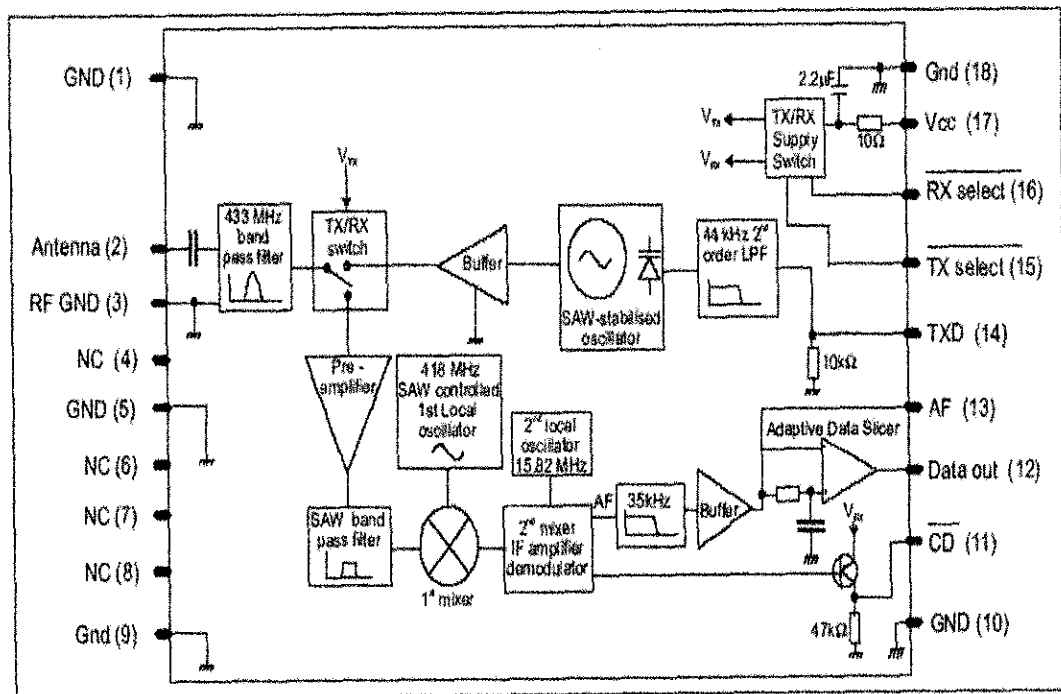
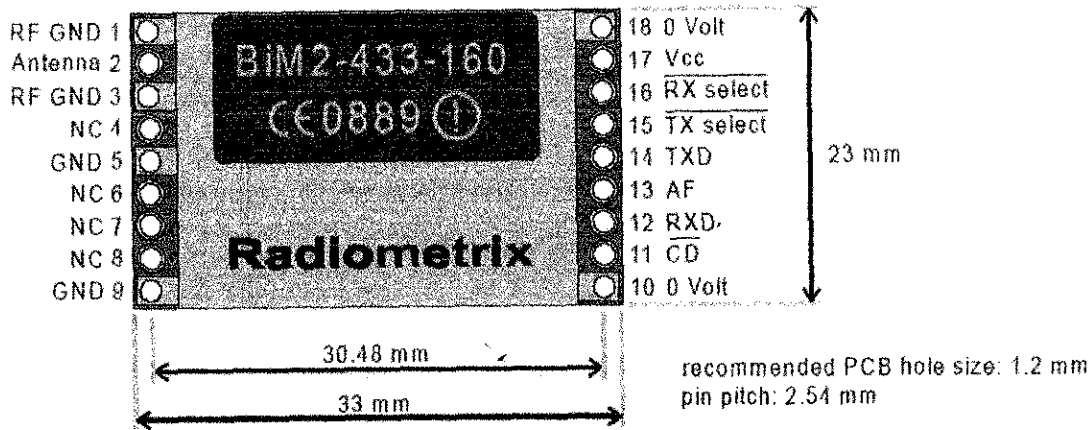
MAX7219

Pin Configuration

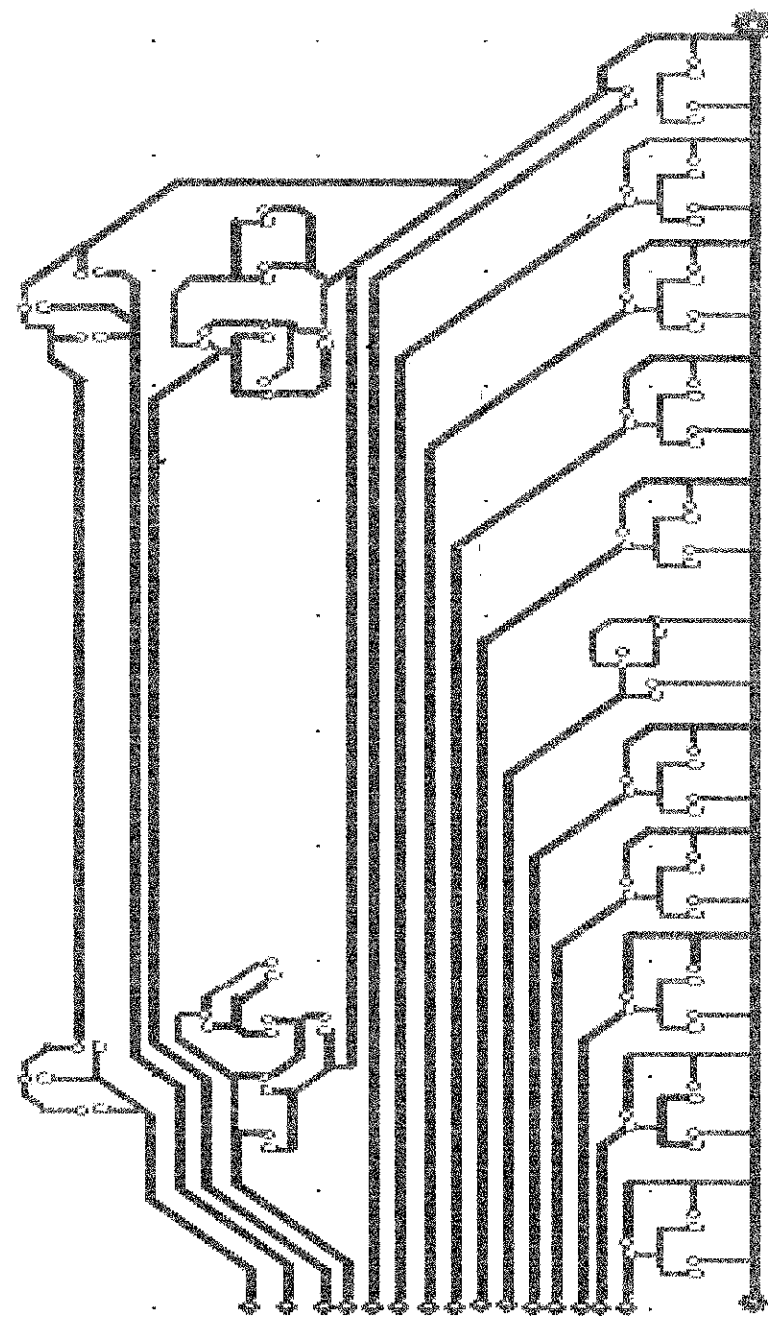


ແພນຟ້ວງຈອງຮວມ

BiM2 transceiver

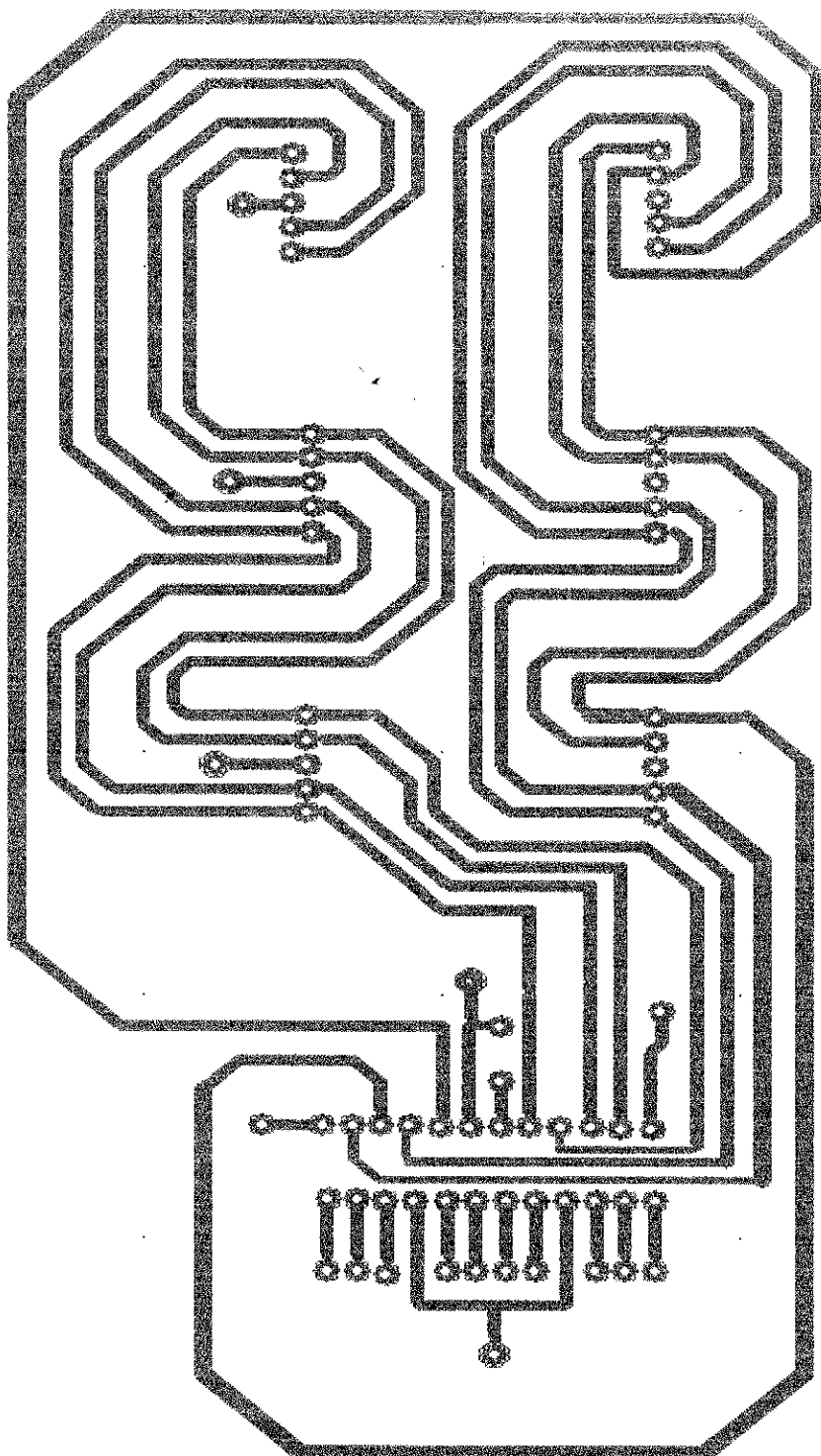


ถ่ายรูปพิมพ์
วงจรขับไดโอดเปล่งแสง



ถ่ายวงจรพิมพ์

วงจรขับไดโอดเปล่งแสง 7 ส่วน



DATASHEET

MAXIM**Serially Interfaced, 8-Digit LED Display Drivers****MAX7219/MAX7221****General Description**

MAX7219/MAX7221 are compact, serial input/output common-cathode display drivers that interface microprocessors (μ Ps) to 7-segment numeric LED displays of up to 8 digits, bar-graph displays, or 64 individual LEDs. Included on-chip are a BCD code-B encoder, multiplex scan circuitry, segment and digit drivers, and an 8x8 static RAM that stores each digit. Only one external resistor is required to set the segment current for all LEDs. The MAX7221 is compatible with SPI™, QSPI™, and MICROWIRE™, and has slew-rate-limited segment drivers to reduce EMI.

A convenient 4-wire serial interface connects to all common μ Ps. Individual digits may be addressed and updated without rewriting the entire display. The MAX7219/MAX7221 also allow the user to select code-decoding or no-decode for each digit.

The devices include a 150 μ A low-power shutdown mode, analog and digital brightness control, a scan-limit register that allows the user to display from 1 to 8 digits, and a test mode that forces all LEDs on.

For applications requiring 3V operation or segment blanking, refer to the MAX6951 data sheet.

Applications

Bar-Graph Displays

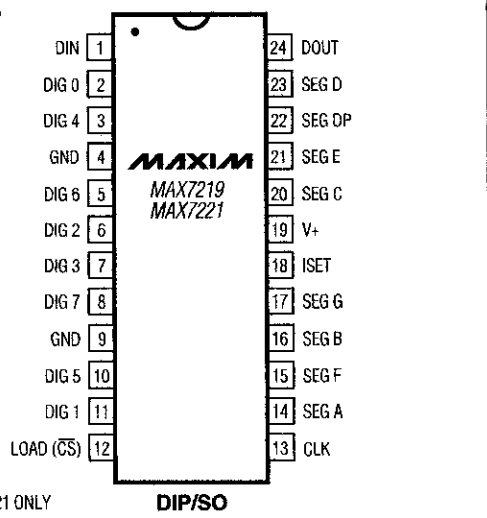
Panel Meters

Industrial Controllers

LED Matrix Displays

Pin Configuration

TOP VIEW



() MAX7221 ONLY

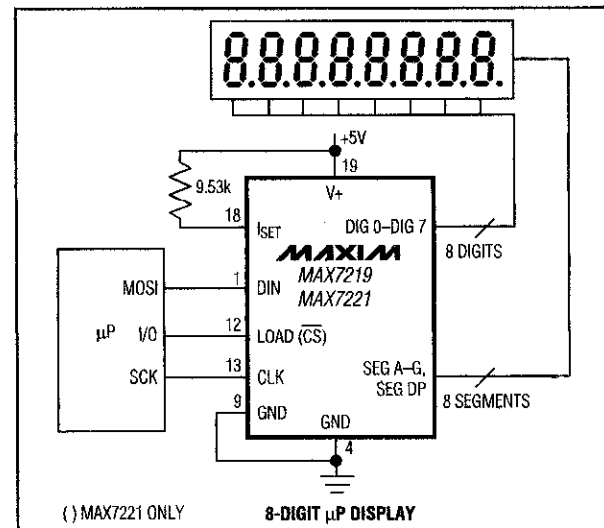
DIP/SO

Features

- ◆ 10MHz Serial Interface
- ◆ Individual LED Segment Control
- ◆ Decode/No-Decode Digit Selection
- ◆ 150 μ A Low-Power Shutdown (Data Retained)
- ◆ Digital and Analog Brightness Control
- ◆ Display Blanked on Power-Up
- ◆ Drive Common-Cathode LED Display
- ◆ Slew-Rate Limited Segment Drivers for Lower EMI (MAX7221)
- ◆ SPI, QSPI, MICROWIRE Serial Interface (MAX7221)
- ◆ 24-Pin DIP and SO Packages

Ordering Information

PART	TEMP RANGE	PIN-PACKAGE
MAX7219CNG	0°C to +70°C	24 Narrow Plastic DIP
MAX7219CWG	0°C to +70°C	24 Wide SO
MAX7219C/D	0°C to +70°C	Dice*
MAX7219ENG	-40°C to +85°C	24 Narrow Plastic DIP
MAX7219EWG	-40°C to +85°C	24 Wide SO
MAX7219ERG	-40°C to +85°C	24 Narrow CERDIP

*Ordering Information continued at end of data sheet.**Dice are specified at $T_A = +25^\circ\text{C}$.**Typical Application Circuit**

() MAX7221 ONLY

8-DIGIT μP DISPLAY

and QSPI are trademarks of Motorola Inc. MICROWIRE is a trademark of National Semiconductor Corp.

MAXIM**Maxim Integrated Products** 1

For pricing, delivery, and ordering information, please contact Maxim/Dallas Direct! at 888-629-4642, or visit Maxim's website at www.maxim-ic.com.

Seriously Interfaced, 8-Digit LED Display Drivers

Absolute Maximum Ratings

V ₊	-0.3V to 6V
I _{DIN} , CLK, LOAD, CS	-0.3V to 6V
All Other Pins	-0.3V to (V ₊ + 0.3V)
Current	
I _{DIGIT} 0-DIG7 Sink Current	500mA
I _{SEG-G} , DP Source Current	100mA
Continuous Power Dissipation (T _A = +85°C)	
Narrow Plastic DIP (derate 13.3mW/°C above +70°C)	1066mW
Wide SO (derate 11.8mW/°C above +70°C)	941mW
Narrow CERDIP (derate 12.5mW/°C above +70°C)	1000mW

Operating Temperature Ranges (T _{MIN} to T _{MAX})	
MAX7219C_G/MAX7221C_G	0°C to +70°C
MAX7219E_G/MAX7221E_G	-40°C to +85°C
Storage Temperature Range	-65°C to +160°C
Lead Temperature (soldering, 10s)	+300°C

Values beyond those listed under "Absolute Maximum Ratings" may cause permanent damage to the device. These are stress ratings only, and functional operation of the device at these or any other conditions beyond those indicated in the operational sections of the specifications is not implied. Exposure to absolute maximum rating conditions for extended periods may affect device reliability.

Electrical Characteristics

(V₊ = 5V ±10%, R_{SET} = 9.53kΩ ±1%, T_A = T_{MIN} to T_{MAX}, unless otherwise noted.)

PARAMETER	SYMBOL	CONDITIONS	MIN	TYP	MAX	UNITS
Operating Supply Voltage	V ₊		4.0	5.5	6	V
Shutdown Supply Current	I ₊	All digital inputs at V ₊ or GND, T _A = +25°C		150		µA
Operating Supply Current	I ₊	R _{SET} = open circuit		8		
		All segments and decimal point on, I _{SEG_0} = -40mA		330		mA
Display Scan Rate	fosc	8 digits scanned	500	800	1300	Hz
Digit Drive Sink Current	I _{DIGIT}	V ₊ = 5V, V _{OUT} = 0.65V	320			mA
Segment Drive Source Current	I _{SEG}	T _A = +25°C, V ₊ = 5V, V _{OUT} = (V ₊ - 1V)	-30	-40	-45	mA
Segment Current Slew Rate (MAX7221 only)	ΔI _{SEG} /Δt	T _A = +25°C, V ₊ = 5V, V _{OUT} = (V ₊ - 1V)	10	20	50	mA/µs
Segment Drive Current Matching	ΔI _{SEG}			3.0		%
Digit Drive Leakage (MAX7221 only)	I _{DIGIT}	Digit off, V _{DIGIT} = V ₊			-10	µA
Segment Drive Leakage (MAX7221 only)	I _{SEG}	Segment off, V _{SEG} = 0V			1	µA
Digit Drive Source Current (MAX7219 only)	I _{DIGIT}	Digit off, V _{DIGIT} = (V ₊ - 0.3V)	-2			mA
Segment Drive Sink Current (MAX7219 only)	I _{SEG}	Segment off, V _{SEG} = 0.3V	5			mA

MAXIM

Serially Interfaced, 8-Digit LED Display Drivers

ELECTRICAL CHARACTERISTICS (continued)

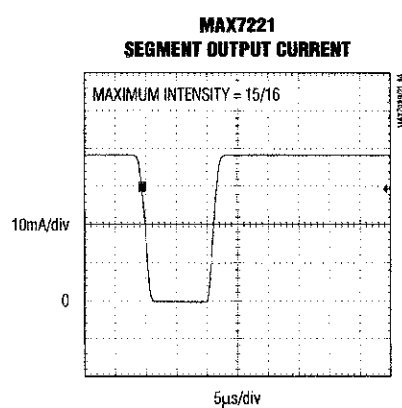
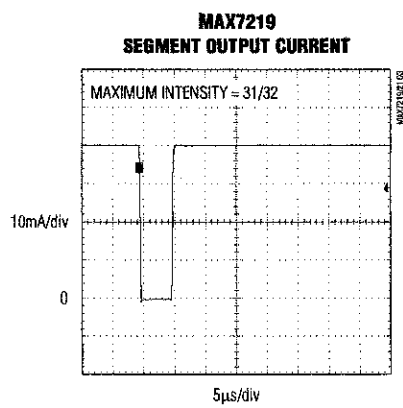
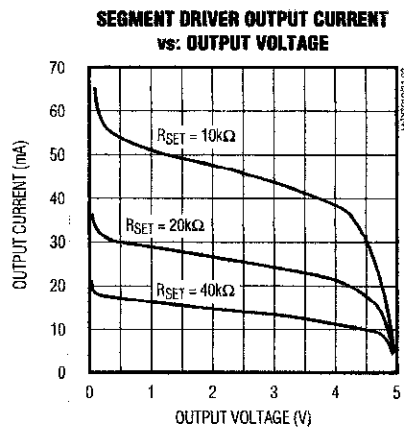
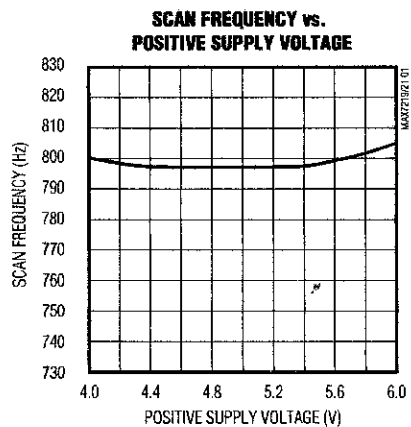
5V ±10%, R_{SET} = 9.53kΩ ±1%, TA = TMIN to TMAX, unless otherwise noted.)

PARAMETER	SYMBOL	CONDITIONS	MIN	TYP	MAX	UNITS
LOGIC INPUTS						
Input Current DIN, CLK, D, CS	I _{IH} , I _{IL}	V _{IN} = 0V or V+	-1	1	μA	
Logic High Input Voltage	V _{IH}		3.5			V
Logic Low Input Voltage	V _{IL}			0.8		V
Output High Voltage	V _{OH}	DOUT, I _{SOURCE} = -1mA	V+ - 1			V
Output Low Voltage	V _{OL}	DOUT, I _{SINK} = 1.6mA		0.4		V
Termination Voltage	ΔV _I	DIN, CLK, LOAD, CS		1		V
Timing Characteristics						
Clock Period	t _{CP}		100			ns
Pulse Width High	t _{CH}		50			ns
Pulse Width Low	t _{CL}		50			ns
Fall to SCLK Rise Setup Time (MAX7221 only)	t _{CSS}		25			ns
Rise to CS or LOAD Rise Time	t _{CSH}		0			ns
Setup Time	t _{DS}		25			ns
Hold Time	t _{DH}		0			ns
Output Data Propagation Delay	t _{DO}	C _{LOAD} = 50pF		25		ns
Low-Rising Edge to Next Clock Edge (MAX7219 only)	t _{LDCK}		50			ns
Minimum CS or LOAD Pulse Width	t _{CSW}		50			ns
Address-to-Segment Delay	t _{DSPD}			2.25		ms

Serially Interfaced, 8-Digit LED Display Drivers

Typical Operating Characteristics

($V_{DD} = +5V$, $T_A = +25^\circ C$, unless otherwise noted.)



MAXIM

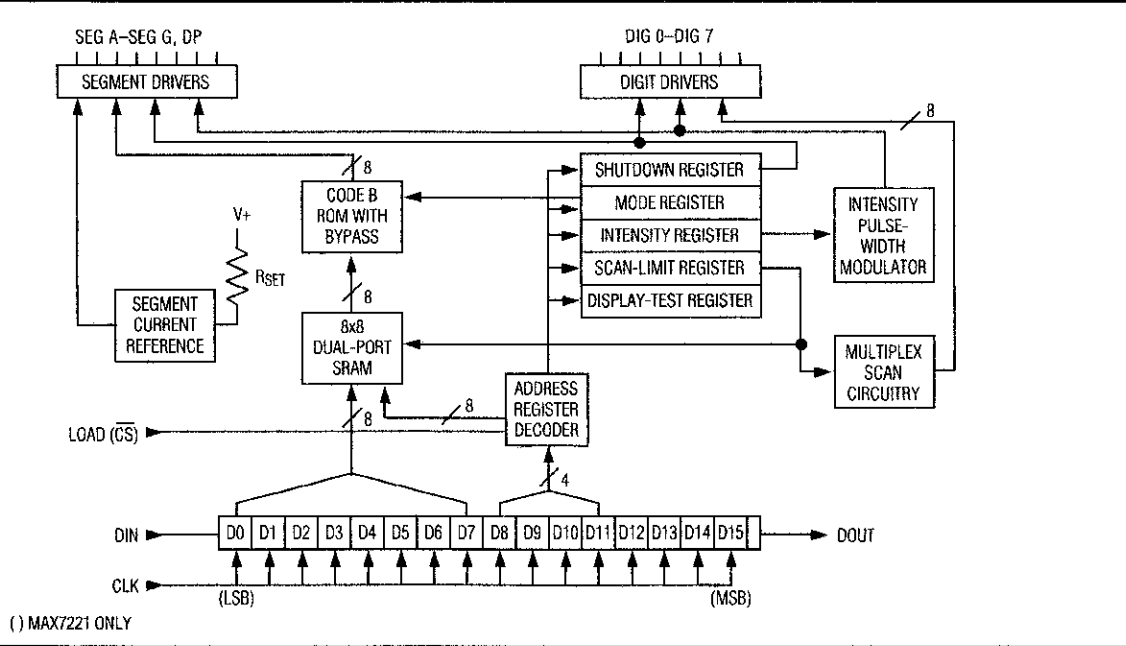
Serially Interfaced, 8-Digit LED Display Drivers

MAX7219/MAX7221

Pin Description

PIN	NAME	FUNCTION
1	DIN	Serial-Data Input. Data is loaded into the internal 16-bit shift register on CLK's rising edge.
3, 5–8, 10, 11	DIG 0–DIG 7	Eight-Digit Drive Lines that sink current from the display common cathode. The MAX7219 pulls the digit outputs to V+ when turned off. The MAX7221's digit drivers are high-impedance when turned off.
4, 9	GND	Ground (both GND pins must be connected)
12	LOAD (MAX7219) \overline{CS} (MAX7221)	Load-Data Input. The last 16 bits of serial data are latched on LOAD's rising edge. Chip-Select Input. Serial data is loaded into the shift register while \overline{CS} is low. The last 16 bits of serial data are latched on \overline{CS} 's rising edge.
13	CLK	Serial-Clock Input. 10MHz maximum rate. On CLK's rising edge, data is shifted into the internal shift register. On CLK's falling edge, data is clocked out of DOUT. On the MAX7221, the CLK input is active only while \overline{CS} is low.
14–17, 20–23	SEG A–SEG G, DP	Seven Segment Drives and Decimal Point Drive that source current to the display. On the MAX7219, when a segment driver is turned off it is pulled to GND. The MAX7221 segment drivers are high-impedance when turned off.
18	ISET	Connect to VDD through a resistor (RSET) to set the peak segment current (Refer to <i>Selecting RSET Resistor</i> section).
19	V+	Positive Supply Voltage. Connect to +5V.
24	DOUT	Serial-Data Output. The data into DIN is valid at DOUT 16.5 clock cycles later. This pin is used to daisy-chain several MAX7219/MAX7221's and is never high-impedance.

Functional Diagram



Serially Interfaced, 8-Digit LED Display Drivers

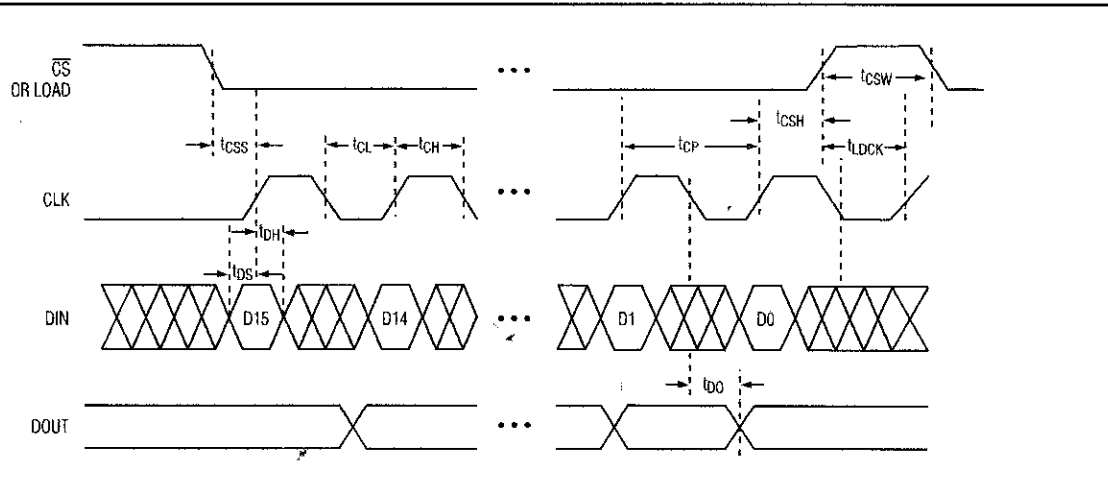


Figure 1. Timing Diagram

Table 1. Serial-Data Format (16 Bits)

D15	D14	D13	D12	D11	D10	D9	D8	D7	D6	D5	D4	D3	D2	D1	D0
X	X	X	X					ADDRESS	MSB			DATA			LSB

Detailed Description

MAX7219/MAX7221 Differences

The MAX7219 and MAX7221 are identical except for two parameters: the MAX7221 segment drivers are low-rate limited to reduce electromagnetic interference (EMI), and its serial interface is fully SPI compatible.

Serial-Addressing Modes

In the MAX7219, serial data at DIN, sent in 16-bit packets, is shifted into the internal 16-bit shift register on each rising edge of CLK regardless of the state of the AD/CS pin. For the MAX7221, CS must be low to clock data in or out. The data is then latched into either the digit or control registers on the rising edge of LOAD/CS. AD/CS must go high concurrently with or after the first rising clock edge, but before the next rising clock edge or data will be lost. Data at DIN is propagated through the shift register and appears at DOUT 16.5 clock cycles later. Data is clocked out on the falling edge of CLK. Data bits are labeled D0–D15 (Table 1). D1–D11 contain the register address. D0–D7 contain data, and D12–D15 are "don't care" bits. The first bit received is D15, the most significant bit (MSB).

Digit and Control Registers

Table 2 lists the 14 addressable digit and control registers. The digit registers are realized with an on-chip, 8x8 dual-port SRAM. They are addressed directly so that individual digits can be updated and retain data as long as V₊ typically exceeds 2V. The control registers consist of decode mode, display intensity, scan limit (number of scanned digits), shutdown, and display test (all LEDs on).

Shutdown Mode

When the MAX7219 is in shutdown mode, the scan oscillator is halted, all segment current sources are pulled to ground, and all digit drivers are pulled to V₊, thereby blanking the display. The MAX7221 is identical, except the drivers are high-impedance. Data in the digit and control registers remains unaltered. Shutdown can be used to save power or as an alarm to flash the display by successively entering and leaving shutdown mode. For minimum supply current in shutdown mode, logic inputs should be at ground or V₊ (CMOS-logic levels).

Typically, it takes less than 250µs for the MAX7219/MAX7221 to leave shutdown mode. The display driver can be programmed while in shutdown mode, and shutdown mode can be overridden by the display-test function.

MAXIM

Serially Interfaced, 8-Digit LED Display Drivers

Table 2. Register Address Map

REGISTER	ADDRESS					HEX CODE
	D15–D12	D11	D10	D9	D8	
Op	X	0	0	0	0	0xX0
git 0	X	0	0	0	1	0xX1
git 1	X	0	0	1	0	0xX2
git 2	X	0	0	1	1	0xX3
git 3	X	0	1	0	0	0xX4
git 4	X	0	1	0	1	0xX5
git 5	X	0	1	1	0	0xX6
git 6	X	0	1	1	1	0xX7
git 7	X	1	0	0	0	0xX8
decode mode	X	1	0	0	1	0xX9
ensity	X	1	0	1	0	0xA
ian Limit	X	1	0	1	1	0XB
utdown	X	1	1	0	0	0XC
isplay	X	1	1	1	1	0XF
st						

Initial Power-Up

On initial power-up, all control registers are reset, the display is blanked, and the MAX7219/MAX7221 enter shutdown mode. Program the display driver prior to display use. Otherwise, it will initially be set to scan one digit, it will not decode data in the data registers, and the intensity register will be set to its minimum value.

Decode-Mode Register

The decode-mode register sets BCD code B (0-9, E, H, L, P, and -) or no-decode operation for each digit. Each bit in the register corresponds to one digit. A logic high selects code B decoding while logic low bypasses the decoder. Examples of the decode mode control-register format are shown in Table 4.

When the code B decode mode is used, the decoder looks only at the lower nibble of the data in the digit registers (D3–D0), disregarding bits D4–D6. D7, which sets the decimal point (SEG DP), is independent of the decoder and is positive logic (D7 = 1 turns the decimal point on). Table 5 lists the code B font.

When no-decode is selected, data bits D7–D0 correspond to the segment lines of the MAX7219/MAX7221. Table 6 shows the one-to-one pairing of each data bit to the appropriate segment line.

MAX7219/MAX7221

Table 3. Shutdown Register Format (Address (Hex) = 0XC)

MODE	ADDRESS CODE (HEX)	REGISTER DATA							
		D7	D6	D5	D4	D3	D2	D1	D0
utdown mode	0XC	X	X	X	X	X	X	X	0
ormal operation	0XC	X	X	X	X	X	X	X	1

Table 4. Decode-Mode Register Examples (Address (Hex) = 0X9)

DECODE MODE	REGISTER DATA								HEX CODE
	D7	D6	D5	D4	D3	D2	D1	D0	
o decode for digits 7–0	0	0	0	0	0	0	0	0	0x00
ode B decode for digit 0	0	0	0	0	0	0	0	1	0x01
o decode for digits 7–1	0	0	0	0	0	0	0	1	0x01
ode B decode for digits 3–0	0	0	0	0	1	1	1	1	0x0F
o decode for digits 7–4	0	0	0	0	1	1	1	1	0x0F
ode B decode for digits 7–0	1	1	1	1	1	1	1	1	0xFF

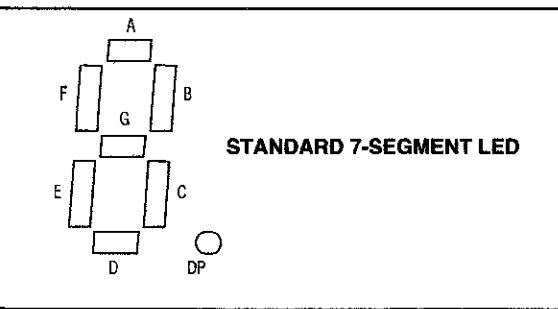
Serially Interfaced, 8-Digit LED Display Drivers

Table 5. Code B Font

SEGMENT CHARACTER	REGISTER DATA						ON SEGMENTS = 1							
	D7*	D6–D4	D3	D2	D1	D0	DP*	A	B	C	D	E	F	G
0		X	0	0	0	0		1	1	1	1	1	1	0
1		X	0	0	0	1		0	1	1	0	0	0	0
2		X	0	0	1	0		1	1	0	1	1	0	1
3		X	0	0	1	1		1	1	1	1	0	0	1
4		X	0	1	0	0		0	1	1	0	0	1	1
5		X	0	1	0	1		1	0	1	1	0	1	1
6		X	0	1	1	0		1	0	1	1	1	1	1
7		X	0	1	1	1		1	1	1	0	0	0	0
8		X	1	0	0	0		1	1	1	1	1	1	1
9		X	1	0	0	1		1	1	1	1	0	1	1
—		X	1	0	1	0		0	0	0	0	0	0	1
E		X	1	0	1	1		1	0	0	1	1	1	1
H		X	1	1	0	0		0	1	1	0	1	1	1
L		X	1	1	0	1		0	0	0	1	1	1	0
P		X	1	1	1	0		1	1	0	0	1	1	1
blank		X	1	1	1	1		0	0	0	0	0	0	0

The decimal point is set by bit D7 = 1

Table 6. No-Decode Mode Data Bits and Corresponding Segment Lines



Intensity Control and Interdigit Blanking

The MAX7219/MAX7221 allow display brightness to be controlled with an external resistor (RSET) connected between V+ and ISET. The peak current sourced from the segment drivers is nominally 100 times the current entering ISET. This resistor can either be fixed or variable to allow brightness adjustment from the front panel. Its minimum value should be 9.53kΩ, which typically sets the segment current at 40mA. Display brightness can also be controlled digitally by using the intensity register.

Digital control of display brightness is provided by an internal pulse-width modulator, which is controlled by the lower nibble of the intensity register. The modulator scales the average segment current in 16 steps from a maximum of 31/32 down to 1/32 of the peak current set by RSET (15/16 to 1/16 on MAX7221). Table 7 lists the intensity register format. The minimum interdigit blanking time is set to 1/32 of a cycle.

Corresponding Segment Line	REGISTER DATA							
	D7	D6	D5	D4	D3	D2	D1	D0
DP	DP	A	B	C	D	E	F	G

MAXIM

Serially Interfaced, 8-Digit LED Display Drivers

MAX7219/MAX7221

Table 7. Intensity Register Format (Address (Hex) = 0XA)

DUTY CYCLE		D7	D6	D5	D4	D3	D2	D1	D0	HEX CODE
MAX7219	MAX7221									
1/32 min on)	1/16 (min on)	X	X	X	X	0	0	0	0	0xA0
3/32	2/16	X	X	X	X	0	0	0	1	0xA1
5/32	3/16	X	X	X	X	0	0	1	0	0xA2
7/32	4/16	X	X	X	X	0	0	1	1	0xA3
9/32	5/16	X	X	X	X	0	1	0	0	0xA4
11/32	6/16	X	X	X	X	0	1	0	1	0xA5
13/32	7/16	X	X	X	X	0	1	1	0	0xA6
15/32	8/16	X	X	X	X	0	1	1	1	0xA7
17/32	9/16	X	X	X	X	1	0	0	0	0xA8
19/32	10/16	X	X	X	X	1	0	0	1	0xA9
21/32	11/16	X	X	X	X	1	0	1	0	0xA0
23/32	12/16	X	X	X	X	1	0	1	1	0xA1
25/32	13/16	X	X	X	X	1	1	0	0	0xA2
27/32	14/16	X	X	X	X	1	1	0	1	0xA3
29/32	15/16	X	X	X	X	1	1	1	0	0xA4
31/32	15/16 (max on)	X	X	X	X	1	1	1	1	0xAF

Table 8. Scan-Limit Register Format (Address (Hex) = 0XB)

SCAN LIMIT	REGISTER DATA								HEX CODE
	D7	D6	D5	D4	D3	D2	D1	D0	
Display digit 0 only*	X	X	X	X	X	0	0	0	0xA0
Display digits 0 & 1*	X	X	X	X	X	0	0	1	0xA1
Display digits 0 1 2*	X	X	X	X	X	0	1	0	0xA2
Display digits 0 1 2 3	X	X	X	X	X	0	1	1	0xA3
Display digits 0 1 2 3 4	X	X	X	X	X	1	0	0	0xA4
Display digits 0 1 2 3 4 5	X	X	X	X	X	1	0	1	0xA5
Display digits 0 1 2 3 4 5 6	X	X	X	X	X	1	1	0	0xA6
Display digits 0 1 2 3 4 5 6 7	X	X	X	X	X	1	1	1	0xA7

Scan-Limit Register section for application.

Scan-Limit Register

scan-limit register sets how many digits are displayed, from 1 to 8. They are displayed in a multiplexed manner with a typical display scan rate of 800Hz with 8 digits displayed. If fewer digits are displayed, the scan rate is $8fOSC/N$, where N is the number of digits

scanned. Since the number of scanned digits affects the display brightness, the scan-limit register should not be used to blank portions of the display (such as leading zero suppression). Table 8 lists the scan-limit register format.

Serially Interfaced, 8-Digit LED Display Drivers

scan-limit register is set for three digits or less, individual digit drivers will dissipate excessive amounts of power. Consequently, the value of the RSET resistor must be adjusted according to the number of digits displayed, to limit individual digit driver power dissipation. Table 9 lists the number of digits displayed and the corresponding maximum recommended segment current when the digit drivers are used.

Display-Test Register

The display-test register operates in two modes: normal display test. Display-test mode turns all LEDs on without overriding, but not altering, all controls and digit registers (including the shutdown register). In display-test mode, 8 digits are scanned and the duty cycle is 31/32 (for MAX7221). Table 10 lists the display-test register format.

Table 9. Maximum Segment Current for 1-, 2-, or 3-Digit Displays

NUMBER OF DIGITS DISPLAYED	MAXIMUM SEGMENT CURRENT (mA)
1	10
2	20
3	30

Table 10. Display-Test Register Format
Address (Hex) = 0XF

NODE	REGISTER DATA							
	D7	D6	D5	D4	D3	D2	D1	D0
Normal Operation	X	X	X	X	X	X	X	0
Display Test Mode	X	X	X	X	X	X	X	1

The MAX7219/MAX7221 remain in display-test mode (Ds on) until the display-test register is reconfigured for normal operation.

No-Op Register

A no-op register is used when cascading MAX7219s and MAX7221s. Connect all devices' LOAD/CS inputs together and connect DOUT to DIN on adjacent devices. DOUT is a CMOS logic-level output that easily drives DIN of successively cascaded parts. (Refer to the Serial Addressing Modes section for detailed information on serial input/output timing.) For example, if four MAX7219s are cascaded, then to write to the

fourth chip, sent the desired 16-bit word, followed by three no-op codes (hex 0XX0X, see Table 2). When LOAD/CS goes high, data is latched in all devices. The first three chips receive no-op commands, and the fourth receives the intended data.

Applications Information

Supply Bypassing and Wiring

To minimize power-supply ripple due to the peak digit driver currents, connect a 10µF electrolytic and a 0.1µF ceramic capacitor between V+ and GND as close to the device as possible. The MAX7219/MAX7221 should be placed in close proximity to the LED display, and connections should be kept as short as possible to minimize the effects of wiring inductance and electromagnetic interference. Also, both GND pins must be connected to ground.

Selecting RSET Resistor and Using External Drivers

The current per segment is approximately 100 times the current in ISET. To select RSET, see Table 11. The MAX7219/MAX7221's maximum recommended segment current is 40mA. For segment current levels above these levels, external digit drivers will be needed. In this application, the MAX7219/MAX7221 serve only as controllers for other high-current drivers or transistors. Therefore, to conserve power, use RSET = 47kΩ when using external current sources as segment drivers.

The example in Figure 2 uses the MAX7219/MAX7221's segment drivers, a MAX394 single-pole double-throw analog switch, and external transistors to drive 2.3" AND2307SLC common-cathode displays. The 5.6V zener diode has been added in series with the decimal point LED because the decimal point LED forward voltage is typically 4.2V. For all other segments the LED forward voltage is typically 8V. Since external transistors are used to sink current (DIG 0 and DIG 1 are used as logic switches), peak segment currents of 45mA are allowed even though only two digits are displayed. In applications where the MAX7219/MAX7221's digit drivers are used to sink current and fewer than four digits are displayed, Table 9 specifies the maximum allowable segment current. RSET must be selected accordingly (Table 11).

Refer to the Power Dissipation section of the Absolute Maximum Ratings to calculate acceptable limits for ambient temperature, segment current, and the LED forward-voltage drop.

MAXIM

Seri ally Interfaced, 8-Digit LED Display Drivers

Table 11. RSET vs. Segment Current and Forward Voltage

I _{SEG} (mA)	V _{LED} (V)				
	1.5	2.0	2.5	3.0	3.5
40	12.2	11.8	11.0	10.6	9.69
30	17.8	17.1	15.8	15.0	14.0
20	29.8	28.0	25.9	24.5	22.6
10	66.7	63.7	59.3	55.4	51.2

Table 12. Package Thermal Resistance Data

PACKAGE	THERMAL RESISTANCE (θ _{JA})
24 Narrow DIP	+75°C/W
24 Wide SO	+85°C/W
24 CERDIP	+80°C/W
Maximum Junction Temperature (T _J) = +150°C	
Maximum Ambient Temperature (T _A) = +85°C	

Computing Power Dissipation

upper limit for power dissipation (PD) for the 7219/MAX7221 is determined from the following equation:

$$D = (V_+ + 8\text{mA}) + (V_+ - V_{LED})(\text{DUTY} \times I_{SEG} \times N)$$

where:

+ = supply voltage

DUTY = duty cycle set by intensity register

= number of segments driven (worst case is 8)

LED = LED forward voltage

I_{SEG} = segment current set by RSET

Example:

I_{SEG} = 40mA, N = 8, DUTY = 31/32, V_{LED} = 1.8V at 0mA, V₊ = 5.25V

$$D = 5.25V(8\text{mA}) + (5.25V - 1.8V)(31/32 \times 0\text{mA} \times 8) = 1.11\text{W}$$

For a CERDIP package (θ_{JA} = +80°C/W from Table 12), the maximum allowed ambient temperature is given by:

$$T_J(\text{MAX}) = T_A + PD \times \theta_{JA} + 150^\circ\text{C} = T_A + 1.11\text{W} \times 80^\circ\text{C/W}$$

$$\text{so } T_A = +61.2^\circ\text{C.}$$

TA limits for PDIP and SO Packages in the dissipation example above are +66.7°C and +55.6°C, respectively.

Cascading Drivers

The example in Figure 3 drives 16 digits using a 3-wire μP interface. If the number of digits is not a multiple of 8, set both drivers' scan limits registers to the same number so one display will not appear brighter than the other. For example, if 12 digits are needed, use 6 digits per display with both scan-limit registers set for 6 digits so that both displays have a 1/6 duty cycle per digit. If 11 digits are needed, set both scan-limit registers for 6 digits and leave one digit driver unconnected. If one display has 6 digits and the other for 5 digits, the second display will appear brighter because its duty cycle per digit will be 1/5 while the first display's will be 1/6. Refer to the No-Op Register section for additional information.

Serially Interfaced, 8-Digit LED Display Drivers

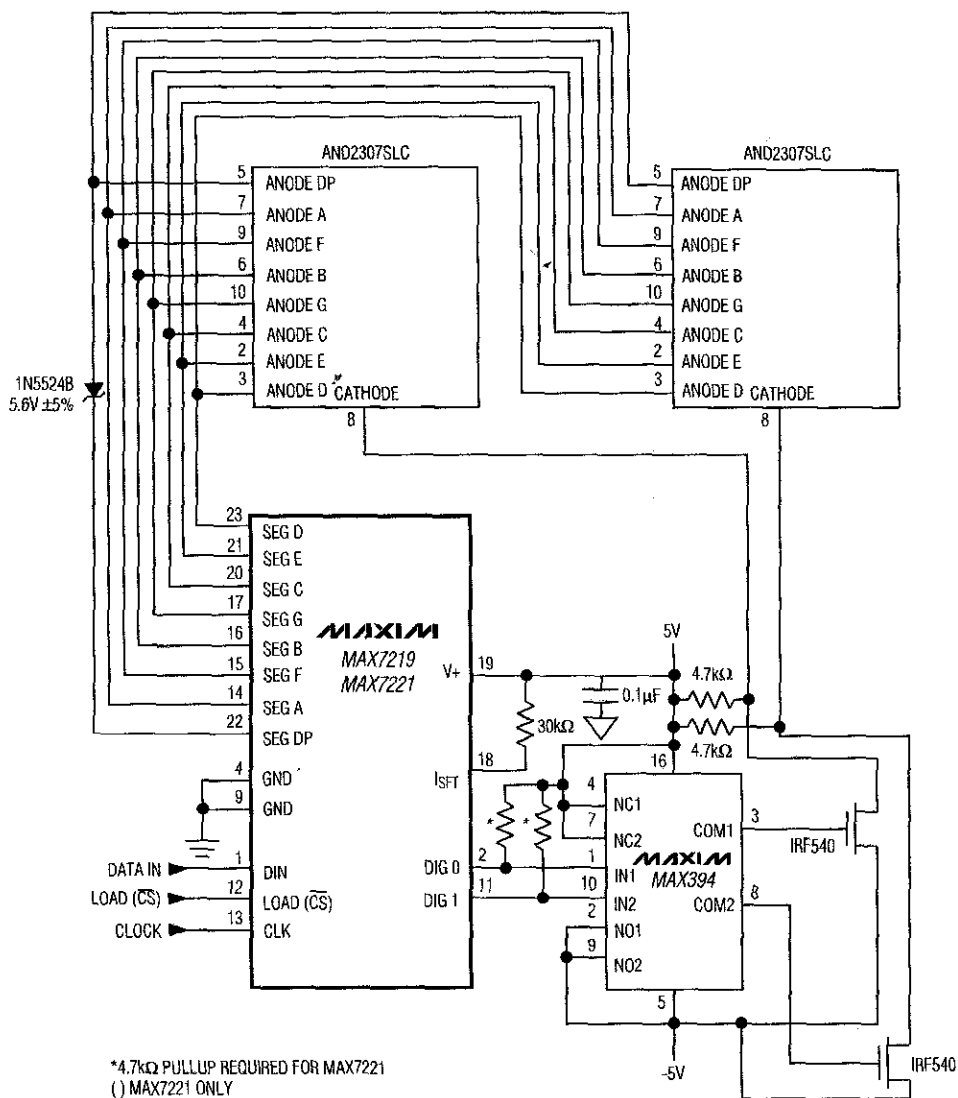


Figure 2. MAX7219/MAX7221 Driving 2.3in Displays

MAXIM

Seriously Interfaced, 8-Digit LED Display Drivers

MAX7219/MAX7221

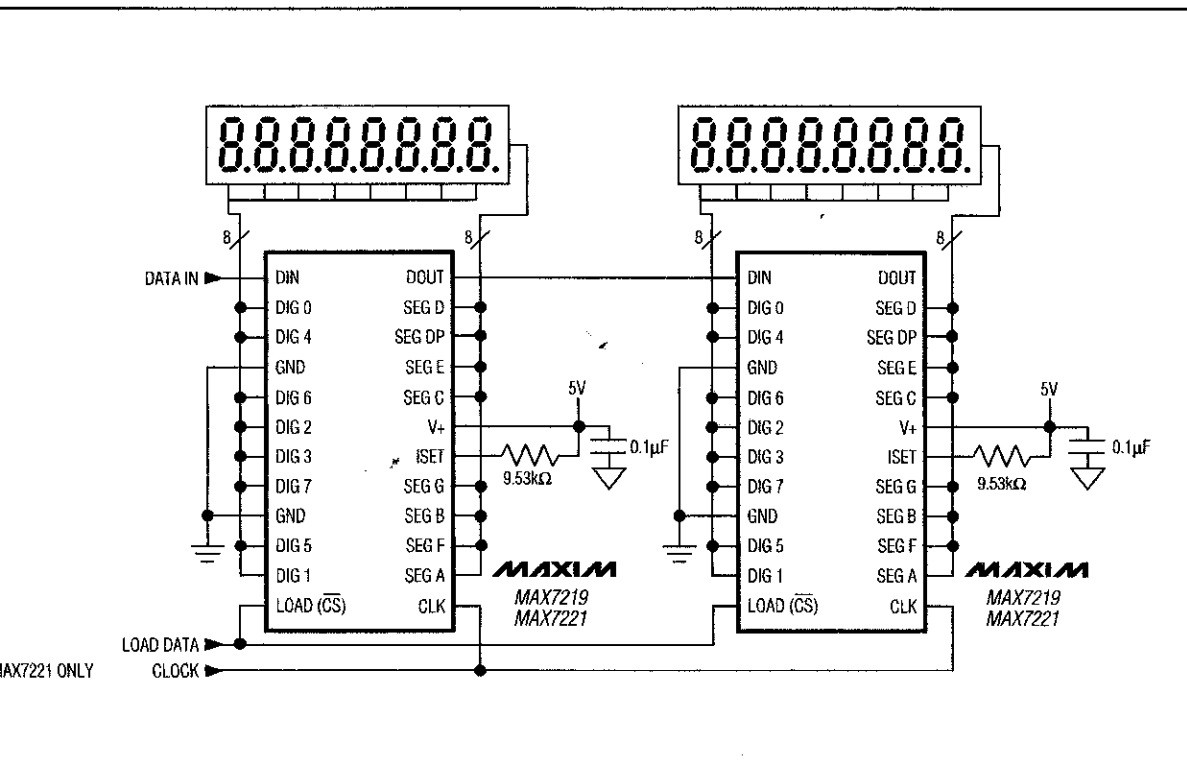


Figure 3. Cascading MAX7219/MAX7221s to Drive 16 Seven-Segment LED Digits

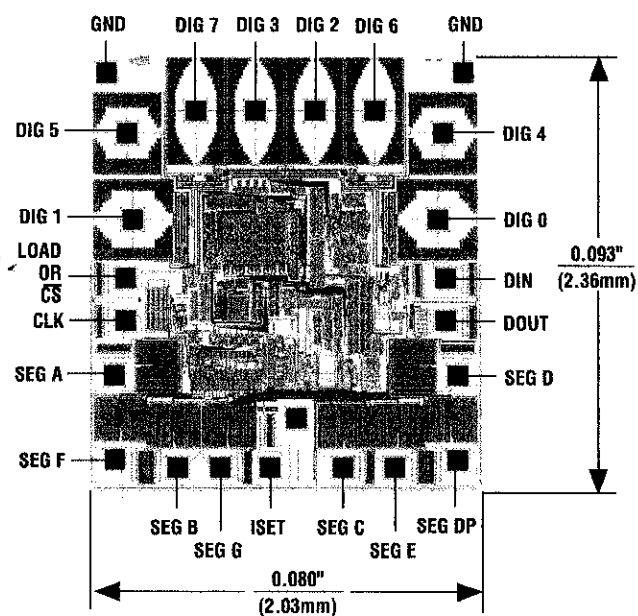
Serially Interfaced, 8-Digit LED Display Drivers

Ordering Information (continued)

PART	TEMP RANGE	PIN-PACKAGE
X7221CNG	0°C to +70°C	24 Narrow Plastic DIP
X7221CWG	0°C to +70°C	24 Wide SO
X7221C/D	0°C to +70°C	Dice*
X7221ENG	-40°C to +85°C	24 Narrow Plastic DIP
X7221EWG	-40°C to +85°C	24 Wide SO
X7221ERG	-40°C to +85°C	24 Narrow CERDIP

* are specified at $T_A = +25^\circ\text{C}$.

Chip Topography



TRANSISTOR COUNT: 5267

SUBSTRATE CONNECTED TO GND

MAXIM

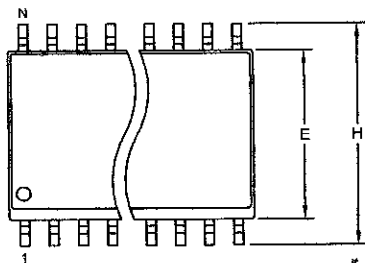
Serially Interfaced, 8-Digit LED Display Drivers

Package Information

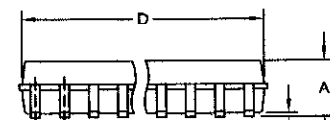
Package drawing(s) in this data sheet may not reflect the most current specifications. For the latest package outline information visit www.maxim-ic.com/packages.)

MAX7219/MAX7221

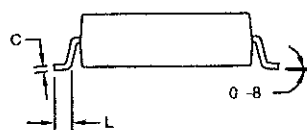
SC10W-EPS



TOP VIEW



FRONT VIEW



SIDE VIEW

DIM	INCHES		MILLIMETERS	
	MIN	MAX	MIN	MAX
A	0.093	0.104	2.35	2.66
A1	0.004	0.012	0.10	0.30
B	0.014	0.019	0.35	0.49
C	0.009	0.013	0.23	0.32
e	0.050		1.27	
E	0.291	0.299	7.40	7.60
H	0.394	0.419	10.00	10.65
L	0.016	0.050	0.40	1.27

VARIATIONS:

DIM	INCHES		MILLIMETERS		N	MS013
	MIN	MAX	MIN	MAX		
D	0.398	0.413	10.10	10.50	16	AA
D	0.447	0.463	11.35	11.75	18	AB
D	0.496	0.512	12.60	13.00	20	AC
D	0.598	0.614	15.20	15.60	24	AD
D	0.697	0.713	17.70	18.10	28	AE

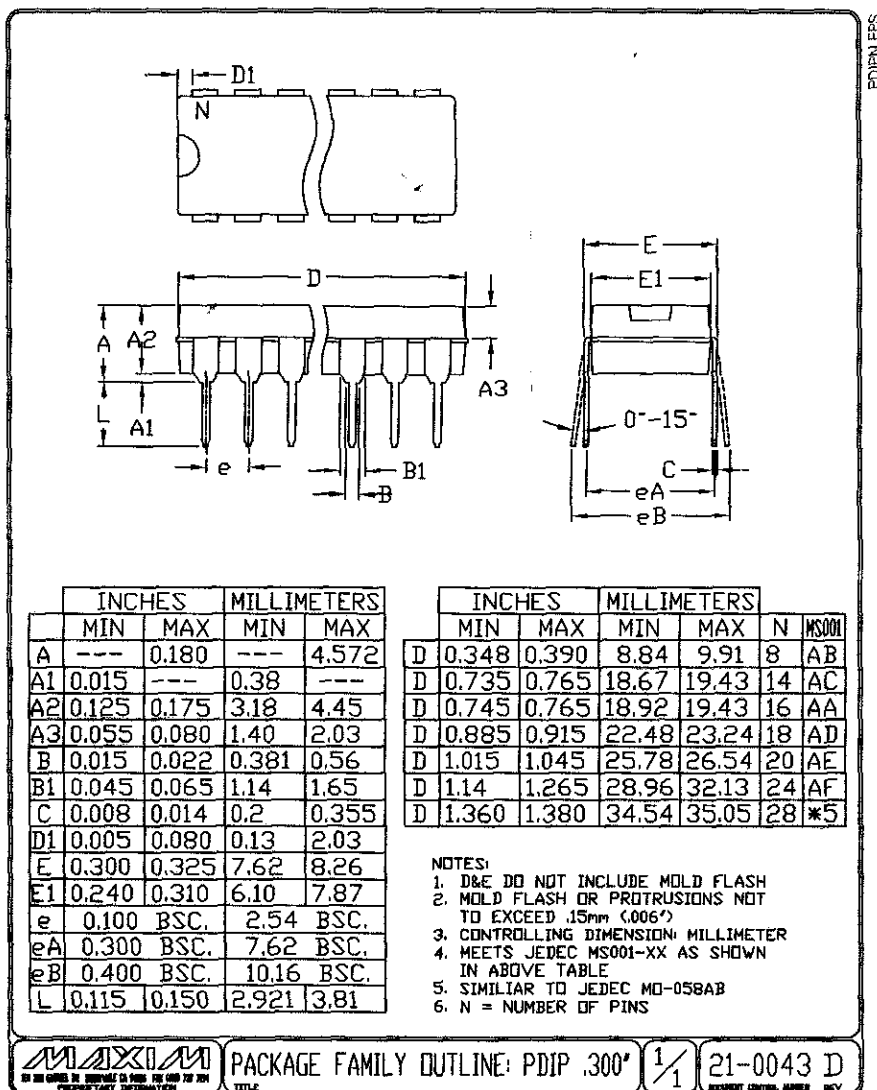
- NOTES:
1. D&E DO NOT INCLUDE MOLD FLASH.
 2. MOLD FLASH OR PROTRUSIONS NOT TO EXCEED 0.15mm (.006").
 3. LEADS TO BE COPLANAR WITHIN 0.10mm (.004").
 4. CONTROLLING DIMENSION: MILLIMETERS.
 5. MEETS JEDEC MS013.
 6. N = NUMBER OF PINS.

	DALLAS SEMICONDUCTOR	MAXIM
PROPRIETARY INFORMATION		
TITLE: PACKAGE OUTLINE, .300" SOIC		
APPROVAL	DOCUMENT CONTROL NO. 21-0042	REV. B 1/1

Serially Interfaced, 8-Digit LED Display Drivers

Package Information (continued)

(The package drawing(s) in this data sheet may not reflect the most current specifications. For the latest package outline information go to www.maxim-ic.com/packages.)



Maxim cannot assume responsibility for use of any circuitry other than circuitry entirely embodied in a Maxim product. No circuit patent licenses are implied. Maxim reserves the right to change the circuitry and specifications without notice at any time.

Maxim Integrated Products, 120 San Gabriel Drive, Sunnyvale, CA 94086 (408) 737-7600

เอกสารอ้างอิง

- [1] เฉลิมชนน์ ศติระพจน์, การสำรวจรังวัดด้วยดาวเทียมจีพีเอสเบื้องต้น. โรงพิมพ์แห่งจุฬาลงกรณ์มหาวิทยาลัย, 2546.
- [2] ฐานนันท์ นิลรัตน์, การกำหนดตำแหน่งบนพื้นผิวโลก [homepage].[15 June 2002]. Available from : URL: <http://www.rs.psu.ac.th/gps/gps.htm>
- [3] คำนิน คงพาลา, สำรวจ1(Surveying 1). สำนักพิมพ์ ส.ส.ท. สมาคมส่งเสริมเทคโนโลยี(ไทย-ญี่ปุ่น), 2543
- [4] นคร ภักดีชาติ, ชีรบูลย์ หล่อวิเชียรรุ่ง, และ ชัยวัฒน์ ลีมพรพิตรวีໄດ, ปฏิบัติการไมโครคอนโทรลเลอร์ MCS-51 ด้วยโปรแกรมภาษาซี, บริษัท อินโนเวติฟ เอ็กเพรสเซนเตอร์ จำกัด, 2547
- [5] ชนก ชัยฤทธิ์, โปรแกรมคอมพิวเตอร์ภาษา c และ c++, สำนักพิมพ์ศูนย์ส่งเสริมอาชีวะ, 2542
- [6] ชีรวัฒน์ ประกอบผล, การประยุกต์ใช้งานไมโครคอนโทรลเลอร์, สำนักพิมพ์ ส.ส.ท. สมาคมส่งเสริมเทคโนโลยี(ไทย-ญี่ปุ่น), 2545
- [7] ชีรวัฒน์ ประกอบผล, การพัฒนาไมโครคอนโทรลเลอร์ด้วยภาษาซี, สำนักพิมพ์ ส.ส.ท. สมาคมส่งเสริมเทคโนโลยี(ไทย-ญี่ปุ่น),
- [8] ชีรวัฒน์ ประกอบผล, ภาษาแอลกอริズึมลีสำหรับ MCS-51, สำนักพิมพ์ ส.ส.ท. สมาคมส่งเสริมเทคโนโลยี(ไทย-ญี่ปุ่น), 2546
- [9] ยรรยง ทรัพสุขอำนวย, วิชาการสำรวจขั้นสูง, สถาบันเทคโนโลยีราชมงคล วิทยาเขตเทคโนโลยีกรุงเทพ, 2534.

- [10] วรพจน์ กรแก้ววัฒนคุล, ชัยวัฒน์ ถิมพรจิตรวีโอล, เรียนรู้และปฏิบัติการม程式คอนโทรลเลอร์ MCS-51, บริษัท อินเติฟ เอ็กเพอริเมนต์ จำกัด
- [11] วรพล ลีลาเกียรติสุกุล, มาตรฐานตามค่าวี, และ พัฒนาผล สายคลื่น, **C51LAB C Language Laboratory**, บริษัท ศิดาร์วีเติร์ช จำกัด
- [12] ศูนย์วิชาการสารสนเทศภูมิศาสตร์,ระบบพาพิกัดตำแหน่งบนพื้นโลก [homepage].[15 June 2002]. Available from : URL : <http://gierc.en.kku.ac.th/>
- [13] พ.อ.สุกฤษช์ ชัยชนะ , **GPS** [homepage].[18 June 2002]. Available from : URL: <http://www.geocities.com/sup2822911/index.html>
- [14] พ.อ.สุกฤษช์ ชัยชนะ . การหาตำแหน่งโดยเครื่องมือ GPS[homepage].[18 June 2002].Available from : URL: <http://www.geocities.com/sup2822911/gps.html>
- [15] อนันต์ คำภีระ. ความรู้เกี่ยวกับแผนที่เบื้องต้น[homepage]. Available from : URL: <http://www.physics.sci.rit.ac.th/sciencefac/artic/map/map.htm>
- [16] Alfred Leick, **GPS satellite Surveying**, John wiley & Sons, 1990
- [17] Andrew S.Tanenbaum, **computer network**, Pearson Education Indochina Ltd., 2004
- [18] Glenn Baddeley, **GPS - NMEA sentence information**, [homepage].[20 June 2001] Available from : URL: <http://aprs.gids.nl/nmea/>
- [19] Glenn Baddeley, **NMEA data**, [homepage] Available from : URL: <http://www.gpsinformation.org/dale/nmea.htm>

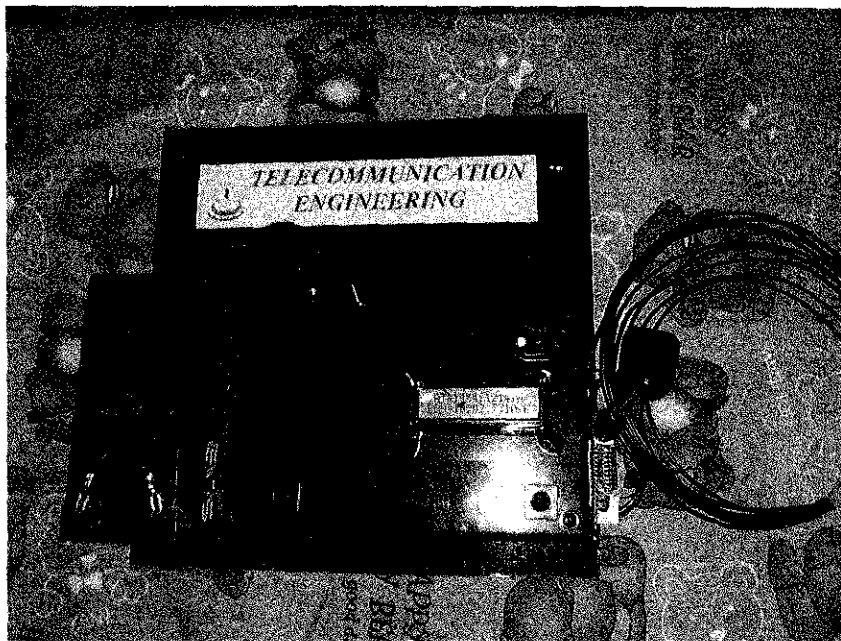
[20] Thaigps. **what's gps?** [homepage].[10 July 2002] Available from :

URL:http://www.thaigps.com/what_gps.html

[21] Trimble Navigaion Limited. **All About GPS**[homepage].[30 June 2002] Available from :

URL: <http://www.trimble.com/gps/>

ชุดแสดงผลตำแหน่งรถไฟในการเข้าออกสถานี

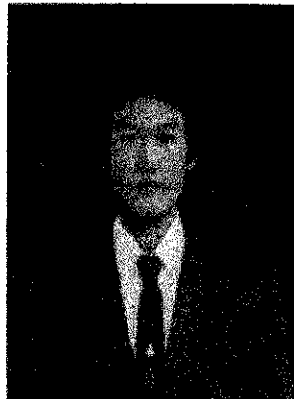


1.) ชุดตรวจวัดตำแหน่ง



2.) บอร์ดแสดงผล

ประวัติผู้เขียน



สาคร อุณรุกวรรณ์ เกิดเมื่อวันที่ 16 ตุลาคม พ.ศ.2526

ภูมิลำเนาเดิม แขวงบางแค เขตบางแค จ.กรุงเทพฯ

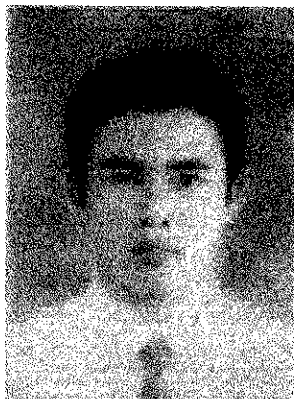
สำเร็จชั้นประถมศึกษาจาก โรงเรียนกรีฑาภัยศึกษา จ.กรุงเทพฯ

สำเร็จชั้นมัธยมศึกษาจาก โรงเรียนมัธยมวัดสิงห์ จ.กรุงเทพฯ

เข้าเรียนระดับอุดมศึกษาในปี พ.ศ.2544 มหาวิทยาลัยเทคโนโลยีสุรนารี

และเคยดำรงตำแหน่งประธานคณะกรรมการฝ่ายบำเพ็ญประโยชน์

องค์การบริหาร องค์การนักศึกษา มหาวิทยาลัยเทคโนโลยีสุรนารี



ธรรมรัตน์ กลั่นเขติกิจ เกิดเมื่อวันที่ 13 มีนาคม พ.ศ.2526

ภูมิลำเนาเดิม ต.สุขฤทธิ์ อ.หัวหมาก จ.อุทัยธานี

สำเร็จชั้นประถมศึกษาจาก โรงเรียนชุมชนวัดสุวรรณบรรพต จ.อุทัยธานี

สำเร็จชั้nmัธยมศึกษาจาก โรงเรียนหนองจอกวิทยา จ.อุทัยธานี

เข้าเรียนระดับอุดมศึกษาในปี พ.ศ.2544 มหาวิทยาลัยเทคโนโลยีสุรนารี

และเคยดำรงตำแหน่งหัวหน้าฝ่ายสิทธิประโยชน์

องค์การบริหาร องค์การนักศึกษา มหาวิทยาลัยเทคโนโลยีสุรนารี

